

การศึกษาคุณลักษณะพื้นผิวของหัวอ่านเขียนข้อมูลหลังจากการสกัดแบบ
ไอออน빔

THE STUDY OF RECORDING HEAD TOPOGRAPHY AFTER ION BEAM
ETCHING

อภิชาติ แก้วเจริญ
APICHART KAEWCHAROEN

วิทยานิพนธ์นี้เป็นส่วนหนึ่งของการศึกษาตามหลักสูตรปริญญาวิทยาศาสตรมหาบัณฑิต
สาขาวิชาวิศวกรรมไฟฟ้า ภาควิชาวิศวกรรมไฟฟ้า

บัณฑิตวิทยาลัย

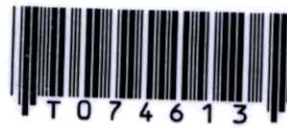
สถาบันเทคโนโลยีพระจอมเกล้าเจ้าคุณทหารลาดกระบัง

พ.ศ. 2550

สำนักหอสมุดกลาง พระจอมเกล้าลาดกระบัง

การศึกษาคุณลักษณะพื้นผิวของหัวอ่านเขียนข้อมูลหลังจากการสกัดแบบ
ไอออน빔

THE STUDY OF RECORDING HEAD TOPOGRAPHY AFTER ION BEAM
ETCHING



อภิชาติ แก้วเจริญ

APICHART KAEWCHAROEN

เลขหมู่.....
เลขทะเบียน..... 74613
วัน,เดือน,ปี...- 8 ต.ค. 2550

.b.....
.i.....

วิทยานิพนธ์นี้เป็นส่วนหนึ่งของการศึกษาตามหลักสูตรปริญญาวิศวกรรมศาสตรมหาบัณฑิต
สาขาวิชาวิศวกรรมไมโครอิเล็กทรอนิกส์

บัณฑิตวิทยาลัย

สถาบันเทคโนโลยีพระจอมเกล้าเจ้าคุณทหารลาดกระบัง

พ.ศ. 2550

**THE STUDY OF RECORDING HEAD TOPOGRAPHY AFTER ION BEAM
ETCHING**

APICHART KAEWCHAROEN

**A THESIS SUBMITTED IN PARTIAL FULFILLMENT
OF THE REQUIREMENT FOR THE DEGREE OF
MASTER OF ENGINEERING IN MICROELECTRONICS ENGINEERING
SCHOOL OF GRADUATE STUDIES
KING MONGKUT'S INSTITUTE OF TECHNOLOGY LADKRABANG**

2007

COPYRIGHT 2007

SCHOOL OF GRADUATE STUDIES

KING MONGKUT'S INSTITUTE OF TECHNOLOGY LADKRABANG

หัวข้อวิทยานิพนธ์	การศึกษาคุณลักษณะพื้นผิวของหัวอ่านเขียนข้อมูลหลังจากการสกัดแบบไอออนบีม
นักศึกษา	นาย อภิชาติ แก้วเจริญ
รหัสนักศึกษา	47061209
ปริญญา	วิศวกรรมศาสตรมหาบัณฑิต
สาขาวิชา	วิศวกรรมไมโครอิเล็กทรอนิกส์
พ.ศ.	2550
อาจารย์ที่ปรึกษาวิทยานิพนธ์	รศ.ดร.วิสุทธิ์ ฐิติรุ่งเรือง

บทคัดย่อ

ในกระบวนการผลิตฮาร์ดดิสก์ หัวอ่านเขียนข้อมูลจะมีลวดลายที่อยู่บนด้านที่เรียกว่า ABS ซึ่งทำให้หัวอ่านสามารถบินเหนือจานแม่เหล็กอยู่ได้ ปัจจุบันกระบวนการโฟโตลิโทกราฟีจึงเข้ามามีบทบาทสำคัญในการสร้างลวดลาย ซึ่งประกอบไปด้วยหลายขั้นตอน ซึ่งในที่นี้ได้ทำการศึกษาในส่วนของกระบวนการสกัดที่เป็นแบบไอออนบีม ซึ่งได้ทำการปรับเปลี่ยนเงื่อนไขต่างๆ เช่นมุมของการสกัด, เวลาที่ใช้ในการสกัด ซึ่งมีผลต่อคุณสมบัติของพื้นผิวที่ทำการสกัดอันได้แก่ อัตราการสกัด ความขรุขระของพื้นผิว และความลาดเอียง(Wall angle) ของพื้นผิว รวมทั้งศึกษาคุณภาพในการสกัดด้วย

ขอบเขตการศึกษาปัจจัยของกระบวนการสกัดจะรวมอยู่ในกระบวนการของโฟโตลิโทกราฟี ซึ่งจะวัดผลที่ได้หลังจากการสกัดด้วยไอออนบีมที่เงื่อนไขต่างๆ โดยใช้เครื่องมือในการตรวจสอบคุณลักษณะพื้นผิวของหัวอ่านเขียนได้แก่ Tencor Zygo และAFM แล้วนำข้อมูลที่ได้นั้นมาวิเคราะห์หาความสัมพันธ์ระหว่างมุมและเวลาของการสกัดที่มีผลต่อคุณสมบัติของพื้นผิวที่เกิดขึ้น ซึ่งข้อมูลที่ได้มาทั้งหมดนี้จะนำไปใช้ในการพัฒนากระบวนการสกัดต่อไป

Thesis Title	The Study of Recording Head Topography after Ion Beam Etching
Student	MR. Apichart Kaewcharoen
Student ID.	47061209
Degree	Master of Engineering
Program	Microelectronics Engineering
Year	2007
Thesis Advisor	Assoc.Prof.Dr.Wisut Titiroongruang

ABSTRACT

According to the harddisk fabrication process, the recording heads have small pattern on Air Bearing Surface(ABS) side. This pattern plays the role of wing of recording head for flying over the magnetic disk. In the present, the photolithography process is useful for making of small pattern. For this research, the ion beam etching have been experimentally studied. The etching condition such as angle and time have been adjusted for investigating some surface properties such as etching rate, roughness, wall angle and quality of etching.

The boundaries of this study that includes photolithography process. After ion beam etching process, The samples have been investigated some surface properties by using Tencor, Zygo, AFM and the others. The obtained data was analyzed for finding relationship and trend between conditions and some surface properties. Based on the obtained data, it could be quite useful for further process.

กิตติกรรมประกาศ

วิทยานิพนธ์ฉบับนี้สำเร็จลุล่วงไปได้ด้วยดีจากคำแนะนำและคำปรึกษาในการดำเนินงานวิจัยจาก รศ.ดร. วิสุทธิ์ ฐิติรุ่งเรือง ซึ่งเป็นอาจารย์ผู้ควบคุมวิทยานิพนธ์ของข้าพเจ้า ข้าพเจ้ารู้สึกซาบซึ้งในความอนุเคราะห์จากท่านและกราบขอบพระคุณเป็นอย่างสูง ขอขอบพระคุณ ดร.นรินทร์ กาบบัวทอง พี่ลัดดาวัลย์ สุภาดิ ที่คอยให้ความช่วยเหลือและให้คำปรึกษาที่มีคุณค่าด้วยดีตลอดมา ขอขอบคุณบริษัท WESTERN DIGITAL (BANGPA-IN) Co.,Ltd ที่สนับสนุนวัสดุ อุปกรณ์ รวมทั้งเครื่องมือ รวมทั้งให้โอกาสแก่ข้าพเจ้าได้เข้าไปทำการทดลอง ขอขอบคุณคณะกรรมการสอบทุกท่าน

ขอขอบพระคุณ คุณจริยา นามเสนาะ สำหรับความเป็นห่วงและดูแล ขอขอบคุณพี่วิสิษฐ์ วงศ์สุทธิธรรม พี่นพดล สิทธิพล พี่ทวิศักดิ์ มัญญาพันธ์ สำหรับความรู้และความสนุกสนานในงานวิจัย ขอขอบคุณเพื่อนๆและน้องๆ ในห้องวิจัย Superconductor และ ห้องวิจัยฟิล์มเพชร ที่ให้ความช่วยเหลือที่ดีตลอดมาและทำให้ข้าพเจ้ารู้สึกว่าการวิจัยไม่ได้น่าเบื่อหรือไม่สนุกอย่างที่ใครๆคิด

ท้ายที่สำคัญที่สุด ข้าพเจ้าขอขอบพระคุณในทุกๆสิ่งที่คุณพ่อสุชล คุณแม่สมจิตต์ และน้องอ้อ ที่คอยเป็นกำลังใจและคอยสนับสนุนทุกสิ่งทุกอย่าง รวมทั้งขออุทิศประโยชน์ที่ได้จากวิทยานิพนธ์เล่มนี้ช่วยส่งเสริมงานวิจัยของประเทศไทยให้พัฒนาและก้าวหน้ามากยิ่งขึ้นไป

สารบัญ

	หน้า
บทคัดย่อภาษาไทย.....	I
บทคัดย่อภาษาอังกฤษ.....	II
กิตติกรรมประกาศ.....	III
สารบัญ.....	IV
สารบัญตาราง.....	VII
สารบัญรูป.....	VIII
สัญลักษณ์และคำย่อ.....	XI
ศัพท์เทคนิค.....	XIII
บทที่ 1 บทนำ.....	1
1.1 ความเป็นมาและความสำคัญของปัญหา.....	1
1.2 ความมุ่งหมายและวัตถุประสงค์ของการศึกษา.....	2
1.3 สมมติฐานของการศึกษา.....	2
1.4 ทฤษฎีหรือแนวความคิดที่ใช้ในงานวิจัย.....	3
1.5 ขอบเขตการวิจัย.....	3
1.6 ประโยชน์ที่คาดว่าจะได้รับ.....	4
1.7 ความรู้พื้นฐานของคำว่า Bar และ Slider.....	4
บทที่ 2 ทฤษฎีและเทคโนโลยีที่เกี่ยวข้อง.....	6
2.1 ความรู้พื้นฐานโดยทั่วไปของอุปกรณ์บันทึกข้อมูล.....	6
2.2 โครงสร้างภายในของระบบกลไกการอ่านเขียนข้อมูล.....	7
2.3 โครงสร้างพื้นฐานโดยรวมของหัวอ่านเขียนข้อมูล.....	9
2.4 ความรู้พื้นฐานเกี่ยวกับ Air Bearing Surface(ABS).....	12
2.5 กระบวนการสร้างลวดลายโดยใช้กระบวนการ โฟโตลิโทกราฟี.....	14
2.5.1 กระบวนการเคลือบโฟโตรีซิส.....	14
2.5.2 กระบวนการ Prebaking.....	18
2.5.3 กระบวนการ Exposure.....	20
2.5.4 กระบวนการ Develop.....	23

สารบัญ(ต่อ)

	หน้า
2.5.5 กระบวนการสกัด(Etching).....	24
2.6 ระบบการสกัดแบบ Ion Beam Etching.....	27
บทที่ 3 การวิเคราะห์และเทคนิคที่ใช้ในการวัด.....	32
3.1 การกำหนดจุดและตำแหน่งในการวัด.....	32
3.1.1 ความหมายและขั้นตอนโดยสังเขปของ SPC.....	32
3.1.2 การสุ่มตัวอย่างมาวิเคราะห์ที่สามารถยอมรับได้ (Acceptance sampling).....	33
3.1.3 การสุ่มตัวอย่างบน Tip มาวิเคราะห์.....	33
3.2 เครื่องมือที่ใช้ในการวิเคราะห์และตรวจสอบคุณลักษณะของพื้นผิว.....	34
3.2.1 การวิเคราะห์ด้วยเครื่อง TENCOR Profiler.....	34
3.2.2 การวิเคราะห์ด้วยเทคนิค Scanning Electron Microscope (SEM)	37
3.2.3 การวิเคราะห์ด้วย Atomic Force Microscope (AFM)	40
3.2.4 การวิเคราะห์ด้วยเครื่อง Interferometer.....	43
3.2.5 การตรวจสอบด้วยเครื่อง EDS.....	47
บทที่ 4 การทดลอง.....	49
4.1 การเตรียมวัสดุที่จะนำมาใช้ในการสกัด.....	49
4.2 การศึกษาอัตราการสกัดของวัสดุ.....	50
4.2.1 ขั้นตอนการสกัด.....	51
4.2.2 ขั้นตอนการวัดความหนาก่อนและหลังการสกัด.....	53
4.3 การศึกษาถึงความขรุขระของพื้นผิว.....	54
4.4 การศึกษา Wall Profiles ที่เกิดขึ้นหลังจากการสกัด.....	55
4.5 การศึกษาคุณสมบัติของพื้นผิวหลังจากการสกัดด้วยเครื่องมือ SEM.....	56
บทที่ 5 ผลการทดลองและวิเคราะห์ผล.....	58
5.1 ผลการศึกษาความหนาของโฟโตรีซิสหลังทำการเคลือบ.....	58
5.2 ศึกษาอัตราการสกัดของวัสดุ.....	62
5.3 การศึกษาถึงความขรุขระที่เกิดขึ้นหลังจากการสกัด.....	66

สารบัญ(ต่อ)

	หน้า
5.4 การศึกษาถึง Wall angle ที่เกิดขึ้นหลังจากการสกัด.....	70
5.5 การศึกษาถึง Correlation ของเครื่องมือที่ใช้ในงานวัด.....	76
บทที่ 6 สรุปผลการทดลอง.....	78
บรรณานุกรม.....	80
ภาคผนวก.....	81
ภาคผนวก ก.....	82
ภาคผนวก ข.....	84
ประวัติผู้เขียน.....	90

สารบัญตาราง

ตารางที่	หน้า
2.1 แสดง Form factor ของหัวอ่านในแต่ละรุ่น.....	9
2.2 แสดง Recipe ลำดับขั้นตอนการ Spin coat.....	17
2.3 แสงย่านอื่นๆ ที่ใช้ในกระบวนการ Exposure.....	22
2.4 แสดงข้อเปรียบเทียบระหว่างการสั๊กแบบเปียกและการสั๊กแบบแห้ง.....	24
3.1 แสดงลักษณะเฉพาะของแหล่งกำเนิดอิเล็กตรอนแบบต่างๆ ที่ความต่างศักย์เร่ง 20 kV.....	39
3.2 สรุปพารามิเตอร์ของ SEM ที่ต้องควบคุมสำหรับการทำงานใน 3 ประเภทแรก.....	40
3.3 การเปรียบเทียบการใช้เทคนิคในการวิเคราะห์พื้นผิวชนิดต่างๆ.....	40
4.1 แสดงเงื่อนไขของมุมและเวลาที่ใช้ในการสั๊กบนหัวอ่านเขียนข้อมูล.....	50
4.2 เงื่อนไขอื่นๆของการสั๊กที่กำหนดให้เป็นตัวแปรคงที่.....	51
4.3 แสดงพารามิเตอร์ของการวัดโดยใช้เครื่อง TENCOR Profiler.....	53
4.4 แสดงพารามิเตอร์ที่ใช้ในการตรวจสอบของเครื่อง SEM.....	57
5.1 แสดงค่าเฉลี่ยและเบี่ยงเบนมาตรฐานของความหนาโฟโตรีซิสในแต่ละ Tip.....	61

สารบัญรูป

รูปที่	หน้า
1.1 ภาพจำลองของ Bar	4
1.2 ส่วนของ Slider ที่มีหัวอ่านและหัวเขียนข้อมูล.....	5
2.1 แสดงโครงสร้างภายนอกของฮาร์ดดิสก์ไครฟ์.....	6
2.2 แสดงโครงสร้างส่วนกลไกภายในฮาร์ดดิสก์ไครฟ์.....	7
2.3 ภาพจำลองโครงสร้างของ HGA.....	8
2.4 แสดงภาพจำลองของ Slider แบบ Pico.....	9
2.5 แบบจำลองโครงสร้างและการทำงานของหัวอ่านเขียนข้อมูล.....	10
2.6 โครงสร้างของหัวอ่าน-เขียนข้อมูลที่ถ่ายขยายด้วย SEM.....	10
2.7 รูปถ่าย SEM แสดงด้าน ABS ของ Slider.....	11
2.8 แสดงแบบจำลองการวัดระยะ Fly Height.....	12
2.9 แสดงแนวโน้มของระยะ Fly height.....	12
2.10 แสดงขอบเขตของ Positive pressure และ Negative pressure บนค้ำ ABS ของ Slider.....	13
2.11 แสดงกระบวนการโฟโตลิโทกราฟีที่ใช้โฟโตรีซิสทั้งสองชนิด.....	15
2.12 แสดงภาพจำลองเครื่อง Spin coat ที่ใช้ในการเคลือบโฟโตรีซิส.....	16
2.13 แสดงกราฟระหว่าง Spin speed กับความหนาของฟิล์มในโฟโตรีซิสเบอร์ต่างๆ.....	17
2.14 แสดงแบบจำลองของอุปกรณ์ที่ใช้ในกระบวนการ Prebaking.....	19
2.15 แสดงแบบจำลองระบบของกระบวนการ Exposure ในรูปแบบต่างๆ.....	20
2.16 แสดงระบบโดยรวมของเครื่อง Stepper.....	21
2.17 แสดงแบบของกระจก mask ขนาด 3 x 5 นิ้ว.....	21
2.18 แสดงตำแหน่งบนบาร์ที่ใช้ในการ Alignment.....	22
2.19 แสดงระบบของการ Develop ที่เป็นระบบอัตโนมัติ.....	23
2.20 แสดงทิศทางของการสกัดรูปแบบต่างๆ.....	25
2.21 แสดงระบบ Reactive ion etching.....	25
2.22 แสดงกลไกของการสกัดแบบ Reactive ion etching.....	26
2.23 ลักษณะการชนของไอออนบวกบนวัสดุที่มุมต่างๆกัน.....	27
2.24 แสดงส่วนประกอบของเครื่อง Ion beam etching รุ่น 350s.....	28

สารบัญรูป(ต่อ)

รูปที่	หน้า
2.25	แสดงโครงสร้าง PBN ในเครื่อง Ion beam etching.....29
2.26	แสดงระบบการสกัดของเครื่อง 350s.....30
3.1	แสดงมิติของ Tip ในเครื่อง Profiler.....34
3.2	แสดงหัว Tip ขณะลากผ่านพื้นผิวของวัสดุ.....35
3.3	แสดงการวิเคราะห์ข้อมูลโดยใช้เครื่อง Profiler.....37
3.4	แผนภาพหลักการทำงานของเครื่อง SEM.....38
3.5	แผนภาพการจำลองการวิเคราะห์ด้วย AFM.....41
3.6	การเปลี่ยนแปลง piezoelectric Ceramics.....41
3.7	วงจรป้อนกลับ (Feedback Circuit) ของ AFM..... 42
3.8	แผนภาพของ Scanning Probe Microscope (SPM).....42
3.9	แสดงโครงสร้างของ Interferometer.....44
3.10	แสดงระบบประมวลผลของเครื่อง Interferometer.....45
3.11	แสดงการคำนวณหาค่า Arithmetic average roughness.....46
3.12	แสดงการคำนวณหาค่า Maximum height of profile.....46
3.13	แสดงการคำนวณหาค่า Average maximum height of profile.....47
3.14	แสดงหลักการทั่วไปของระบบ EDS.....48
3.15	แสดงขั้นตอนการทำงานของระบบ EDS.....48
4.1	ขั้นตอนการเตรียมวัสดุก่อนนำมาทำการสกัด.....49
4.2	แสดงลักษณะมุมที่ใช้ในการสกัดของเครื่อง 350s.....52
4.3	แสดงการวัดความหนาโดยใช้เครื่อง TENCOR ณ ช่วงต่างๆของ Process.....53
4.4	แสดงตำแหน่งของการวัดความหนาบนหัวอ่านเขียน.....54
4.5	แสดงตัวอย่างหน้าจอกการวัดโดยใช้เครื่อง Zygo.....55
4.6	แสดงตำแหน่งของการวัด Wall profiles บนหัวอ่านเขียนข้อมูล.....56
4.7	แสดงรูปแบบของการหา Wall angle.....56
5.1	ผลของการวัดความหนาของโพโตรีซิส ณ ตำแหน่งต่างๆบน Bar.....58
5.2	แสดงอัตราการสกัดของ AITiC ณ มุมต่างๆและที่เวลา 10 และ 30 นาที.....62
5.3	แสดงอัตราการสกัดของโพโตรีซิส ณ มุมต่างๆและที่เวลา 10 และ 30 นาที.....63

สารบัญรูป(ต่อ)

รูปที่	หน้า
5.4	แสดงค่าความเบี่ยงเบนเฉลี่ยของความหนา AITiC ที่สูญเสียไปหลังจากการสกัด.....63
5.5	แสดงค่า Selectivity ของการสกัดในแต่ละมุม.....65
5.6	แสดงบริเวณที่ทำการวัดความขรุขระบน Slider.....66
5.7	แสดงค่าความขรุขระเฉลี่ยที่เกิดขึ้นในมุมการสกัดต่าง ๆ.....66
5.8	แสดงค่าความขรุขระเฉลี่ยเมื่อเทียบในแต่ละ Bar ที่เวลาการสกัด 10 นาที.....67
5.9	แสดงค่าความขรุขระเฉลี่ยเมื่อเทียบในแต่ละ Bar ที่เวลาการสกัด 30 นาที.....67
5.10	แสดงค่าเบี่ยงเบนเฉลี่ยของค่าความขรุขระเมื่อเทียบในแต่ละ Bar ที่เวลาการสกัด 10 นาที...68
5.11	แสดงค่าเบี่ยงเบนเฉลี่ยของค่าความขรุขระเมื่อเทียบในแต่ละ Bar ที่เวลาการสกัด 30 นาที...68
5.12	แสดงบริเวณพื้นผิว ABS หลังจากการสกัด โดยใช้ SEM.....69
5.13	รูป AFM แสดงค่า Wall angle ที่มุมการสกัดและเวลาการสกัดต่างๆ.....70
5.14	แสดงค่าเฉลี่ยของ Wall angle เมื่อเทียบในแต่ละ Bar ที่เวลาการสกัด 10 นาที.....73
5.15	แสดงค่าเฉลี่ยของ Wall angle เมื่อเทียบในแต่ละ Bar ที่เวลาการสกัด 30 นาที.....73
5.16	แสดงค่าเบี่ยงเบนเฉลี่ยของ Wall angle เมื่อเทียบในแต่ละ Bar ที่เวลาการสกัด 10 นาที.....74
5.17	แสดงค่าเบี่ยงเบนเฉลี่ยของ Wall angle เมื่อเทียบในแต่ละ Bar ที่เวลาการสกัด 30 นาที.....74
5.18	แสดงกราฟความสัมพันธ์ระหว่างมุมการสกัดกับค่า Wall angle.....75
5.19	แสดง Correlation ระหว่างการวัดด้วยเครื่อง TENCOR และ AFM.....76
5.20	แสดง Correlation ระหว่างการวัดด้วยเครื่อง Zygo และ AFM.....77

สัญลักษณ์และคำย่อ

สัญลักษณ์	ความหมาย
ABS	พื้นผิวที่สัมผัสกับอากาศ
AFM	การวัดแบบใช้แรงระหว่างอะตอม
Al ₂ O ₃	อลูมิเนียมออกไซด์
AlTiC	อลูมิเนียมรวมกับไททาเนียมคาร์ไบด์
AR	ก๊าซอาร์กอน
CD	ขนาดวิกฤติ
DNQ	ไดอาโซเนปโทควิโนน
EDS	การตรวจสอบโดยการวัดการกระจายของพลังงาน
F	แรง
GB	กิกะไบต์
HDA	ส่วนกลไกในฮาร์ดดิสก์
HGA	ส่วนหัวอ่านฮาร์ดดิสก์
HSA	ชั้นติดตั้งหัวอ่านฮาร์ดดิสก์
IBE	การสักรูปแบบใช้ลำไอออน
K	ค่าคงที่
KOH	โพแทสเซียมไฮดรอกไซด์
PBN	สะพานจุลประจุ
PCBA	แผงวงจรฮาร์ดดิสก์
Ra	ความขรุขระเฉลี่ยเลขคณิต
Rq	ความขรุขระเฉลี่ยแบบรูทมีนสแควร์
Rt	Maximum height of profile
Rz	Average maximum height of profile
RF	ความถี่วิทยุ
RIE	การสักรูปแบบโดยใช้ปฏิกิริยาของไอออน
SEM	การวัดโดยใช้กล้องจุลทรรศน์อิเล็กตรอนแบบส่องกวาด
t	เวลา
T _g	อุณหภูมิแก้ว
TiC	ไททาเนียมคาร์ไบด์

สัญลักษณ์และคำย่อ(ต่อ)

สัญลักษณ์

UV

x

α

ϕ

π

ความหมาย

อัลตราไวโอเลต

การกระจัด

ความแตกต่างของเฟส

เฟส

ค่าคงที่เท่ากับ 3.1416

ศัพท์เทคนิค

หัวอ่านเขียนข้อมูล	Slider
กลุ่มของ Slider เรียงกัน	Bar
กลุ่มของ Bar เรียงกัน	Tip
การสร้างลวดลายลงบนวัสดุโดยใช้แสง	Photolithography
น้ำยาไวแสง	Photoresist
การสกัด	Etching
การเคลือบ	Coating
แรงหนีศูนย์กลาง	Centrifugal force
แรงเฉือน	Shear force
การอบฟิล์มก่อนการฉายแสง	Prebake
การฉายแสง	Exposure
การล้างฟิล์มหลังการฉายแสง	Develop
น้ำยาที่ใช้ล้างฟิล์ม	Developer
การลอกฟิล์มออกทั้งหมด	Stripe
ฐานรอง	Substrate
แชมเบอร์	Chamber
ความดันก๊าซ	Pressure
แอมพลิจูด	Amplitude
เซรามิก	Ceramic
ระยะที่หัวอ่านบินเหนือจานแม่เหล็ก	Fly height
จานแม่เหล็ก	Platter
ฮาร์ดดิสก์	Harddisk
แมกเนโตรีซิสแตนซ์	Magneto resistance
พลาสมา	Plasma
ตะแกรงขั้วไฟฟ้า	Grid
ทิศทางเฉพาะ	Anisotropic
ทุกทิศทางเท่ากัน	Isotropic
การเลือกสกัด	Etch selectivity
มุมลาดเอียง	Wall angle

ศัพท์เทคนิค(ต่อ)

ความขรุขระของพื้นผิว

Surface Roughness

อัตราการกัด

Etch rate

ลำดับการทำงาน

Recipe

ตู้อบ

Oven

หัวอ่านข้อมูล

Reader

หัวเขียนข้อมูล

Writer Coil

บทที่ 1

บทนำ

คอมพิวเตอร์เป็นที่นิยมใช้กันอย่างแพร่หลายในปัจจุบันเพราะส่วนใหญ่การเรียนและการทำงานในปัจจุบันจะต้องมีคอมพิวเตอร์เข้ามาเกี่ยวข้องอย่างมาก และประเทศไทยเป็นประเทศที่ส่งออกหัวอ่าน-เขียน ข้อมูล ที่ใช้ประกอบภายในฮาร์ดดิสต์ไคร์ฟ รายใหญ่ประเทศหนึ่งของโลก และในปัจจุบันก็ได้มีการพัฒนาเพิ่มประสิทธิภาพให้มีความสามารถในการเก็บข้อมูลสูงมากขึ้นเป็นลำดับ จึงได้มีการนำเทคโนโลยีของแผ่นฟิล์มบางทางแม่เหล็กต่างๆมาใช้ ที่มีคุณสมบัติความต้านทานของแผ่นฟิล์มเปลี่ยนแปลงตามสนามแม่เหล็กหรือเรียกว่าเป็นแผ่นฟิล์มบางแบบแมกเนโตรริซิสแตนซ์ Magneto Resistance Film (MR) ในปัจจุบันนี้ได้มีการพัฒนาให้หัวอ่าน-เขียน ข้อมูล มีขนาดที่เล็กลงไปอีกคือ Giant Magneto Resistance (GMR) เป็นส่วนประกอบที่สำคัญภายในคอมพิวเตอร์ให้มีขนาดที่เล็กลงแต่สามารถในการทำงานที่ดียิ่งขึ้น

1.1 ความเป็นมาและความสำคัญของปัญหา

ในปัจจุบันเทคโนโลยีที่เกี่ยวข้องกับการบันทึกข้อมูลที่เป็นอิเล็กทรอนิกส์เป็นที่นิยมกันอย่างแพร่หลาย ซึ่งเทคโนโลยีในปัจจุบันก็สามารถทำให้อุปกรณ์เก็บข้อมูลมีขนาดเล็กลง และสามารถบรรจุข้อมูลได้มากขึ้น ดังนั้นเราจึงเล็งเห็นความสำคัญไปถึงการผลิตหัวอ่าน-เขียน ข้อมูล (Read-Write Head) ซึ่งในปัจจุบันต้องใช้เทคโนโลยีที่เป็นกระบวนการทางไมโครอิเล็กทรอนิกส์เข้ามาช่วยออกแบบลวดลายที่มีขนาดเล็กบนหัวอ่านเขียน โดยลวดลายที่เปรียบเสมือนปีกเครื่องบินซึ่งใช้หลักการของพลศาสตร์ทำให้หัวอ่านบินอยู่เหนือจานแม่เหล็ก และทำการอ่านและเขียนข้อมูลโดยอาศัยหลักการเหนี่ยวนำแม่เหล็ก ดังนั้นการทำให้ลวดลายเกิดขึ้นให้มีลักษณะใกล้เคียงกับลวดลายที่ออกแบบมาจึงเป็นสิ่งที่สำคัญมาก และในกระบวนการสร้างลวดลายบนหัวอ่าน-เขียน ข้อมูล (Read-Write Head) ซึ่งอยู่บนพื้นฐานของกระบวนการโฟโตลิโทกราฟีซึ่งจะมีกระบวนการย่อยหลายขั้นตอนและขั้นตอนที่เกี่ยวข้องกับงานวิจัยนี้ได้แก่กระบวนการสกัด (Etching) ซึ่งเป็นการกำจัดส่วนที่ไม่ต้องการออกอันจะทำให้เกิดลวดลาย 3 มิติ บนส่วนที่เป็น ABS (Air Bearing Surface) ในที่นี้เป็นการสกัดแบบแห้ง (Dry Etching) ซึ่งเป็นการใช้ไอออนของก๊าซที่แตกตัวพุ่งเข้าชนพื้นผิว อันซึ่งเป็นการชนทางกายภาพซึ่งมีข้อได้เปรียบกว่าการสกัดแบบอื่น ๆ คือมีสิ่งเจือปนน้อยและสามารถปรับมุมในการสกัดได้ สิ่งที่กำลังวิจัยในขณะนี้คือมุมของการสกัดและเวลาของการสกัดที่มีผลต่อคุณลักษณะของพื้นผิวบนหัวอ่านเขียนซึ่ง

ได้แก่อัตราการสกัด ,ความขรุขระ และมุม Wall angle โดยก่อนหน้านั้นหัวอ่านจะผ่านขั้นตอนของการเคลือบด้วยโฟโตลิซิส ผ่านการexposure ด้วยเครื่อง Stepper และทำการล้างฟิล์มออก จนได้งานตัวอย่างเข้าสู่เครื่องสกัดไอออนบีม ซึ่งการเปลี่ยนเงื่อนไขต่างๆได้กระทำ ณ ขั้นตอนนี้จนกระทั่งเมื่อเสร็จสิ้นกระบวนการแล้วได้นำชิ้นงานมาทำการวัดคุณสมบัติต่างๆที่เกิดขึ้น โดยใช้เครื่องมือต่างๆ เช่น TENCOR ,ZYGO และAFM ซึ่งจากการวิเคราะห์เบื้องต้นได้พบว่ามุมของการสกัดมีผลค่อนข้างชัดเจนกับอัตราการสกัดและความขรุขระ รวมทั้งยังสามารถหา selectivity ของการสกัดได้ ส่วน wall angle ซึ่งเป็นความลาดเอียงที่เกิดขึ้นหลังจากการสกัดจะได้ทำการศึกษาในต่อไปว่ามีผลอย่างไร

1.2 ความมุ่งหมายและวัตถุประสงค์ของการศึกษา

1. เพื่อศึกษาขั้นตอนกระบวนการโฟโตลิโทกราฟีในกระบวนการผลิตหัวอ่าน-เขียน ข้อมูล
2. เพื่อศึกษาการใช้เครื่องมือที่ใช้สำหรับวัดคุณสมบัติต่างๆในการผลิตหัวอ่าน-เขียน ข้อมูล
3. เพื่อศึกษาเงื่อนไขที่มีผลทำให้คุณสมบัติของพื้นผิวหลังจากการสกัดโดยใช้ไอออนบีมในหัวอ่าน-เขียน ข้อมูล
4. เพื่อศึกษาแนวโน้มของการควบคุมเงื่อนไขต่างที่มีผลต่อคุณสมบัติของพื้นผิวหลังจากการสกัดโดยใช้ไอออนบีมในหัวอ่าน-เขียน ข้อมูล

1.3 สมมติฐานของการศึกษา

การสกัดโดยใช้ไอออนเป็นการสกัดแบบแห้ง (Dry Etching) ซึ่งอาศัยการชนของไอออนกับพื้นผิวของวัสดุที่ต้องการสกัดในที่นี้วัสดุที่นำมาใช้ในงานสร้างหัวอ่านเขียนเป็นวัสดุชนิด AlTiC ซึ่งเป็นเซรามิก เนื่องจากหลักการทางฟิสิกส์เดิมที่เกี่ยวกับโมเมนตัม ถ้าทิศทางของการชนเปลี่ยนจะทำให้พลังงานที่จะสามารถทำลายพันธะระหว่างอะตอมเปลี่ยน ซึ่งจะทำให้จำนวนของอะตอมของวัสดุที่หลุดออกไปในแต่ละมุมสกัดไม่เท่ากัน ทำให้อัตราการสกัดมีการเปลี่ยนแปลงจากการทดลองเบื้องต้นพบว่ามุมของการสกัดมีผลต่ออัตราการสกัดและความขรุขระที่เกิดขึ้น ซึ่งผู้วิจัยจะได้ทำการทดลองอย่างละเอียดอีกครั้งเพื่อหาแนวโน้มที่แน่นอน ทั้งนี้จากการทดลองเบื้องต้นยังพบว่าวัสดุต่างชนิดกันยังให้อัตราการสกัดที่แตกต่างกันด้วยซึ่งจะเป็นอย่างไรนั้นผู้วิจัยจะได้ทำการตรวจสอบต่อไป และหลังจากนั้นจะนำไปวัด wall angle ซึ่งเป็นความลาดเอียงของพื้นผิวที่เกิดขึ้นหลังจากการสกัด ซึ่งเป็นสิ่งที่แตกต่างไปจากการสกัดแบบอื่น เพราะลักษณะการสกัดแบบใช้ไอออนบีมนี้มีทิศทางในการ

สัปดาห์ก่อนข้างจะแน่นอน ในที่นี้จึงทำการตรวจสอบว่าเงื่อนไขที่เรากำหนดจะมีผลหรือไม่และอย่างไร ซึ่งแนวโน้มหรือผลที่ได้จะได้เป็นพื้นฐานในการศึกษาถึงการสกัดในระดับสูงต่อไป

1.4 ทฤษฎีหรือแนวความคิดที่ใช้ในงานวิจัย

จากการสกัดแบบเดิมซึ่งลักษณะของการสกัดจะไปในแนวทางของการเกิดปฏิกิริยาเคมี ซึ่งไอออนของสารที่นำมาสกัดจะทำพันธะกับวัสดุที่เราต้องการสกัดและจะหลุดออกไปจากพื้นผิว ซึ่งทิศทางของการสกัดจะไม่มีคความแน่นอนซึ่งจะขึ้นอยู่กับไอออนของสารสกัดจะสามารถเข้าถึงผิวของวัสดุที่ถูกสกัด ได้หรือไม่ เพราะฉะนั้นผลที่ได้หลังจากสกัดแบบนี้จึงอาจพบจุดบกพร่องที่เกิดขึ้นในชิ้นงานได้ ซึ่งตรงกันข้ามกับการสกัดแบบใช้ไอออนนั้นจะไม่เลือกวัสดุที่ใช้ในการสกัด ทำให้การสกัดเป็นไปได้อย่างมีประสิทธิภาพมากกว่า และการสกัดแบบใช้ไอออนบีมนี้ยังมีทิศทางในการสกัดที่แน่นอนทำให้เมื่อเราปรับมุมในการสกัดได้จะสามารถสร้างลวดลายได้หลากหลายมากขึ้นซึ่งเป็นสิ่งที่น่าสนใจ และเนื่องจากกระบวนการการสกัดเดิมเป็นการทำปฏิกิริยาทางเคมี เพราะฉะนั้นสิ่งที่ตามมาก็คือการเกิดสารใหม่ขึ้นในสิ่งแวดล้อมที่ทำการสกัด ถ้าในอนาคตกระบวนการการผลิตต้องการความสะอาดของชิ้นงานมากขึ้น จะต้องมีกระบวนการควบคุมตรงจุดนี้ แต่ระบบการสกัดนี้จะใช้ไอออนของก๊าซที่เชื่อมต่อกับปฏิกิริยาจะนั้นภายในสิ่งแวดล้อมของการสกัดจะมีเพียงสารที่เป็นตัวสกัดและวัสดุที่ถูกสกัดออกเท่านั้น และในอนาคตลวดลายต่างๆจะถูกทำให้มีความซับซ้อนมากขึ้น การศึกษาในเรื่องนี้ยังจะเป็นการช่วยรองรับการปรับปรุงกระบวนการผลิตที่จะเกิดขึ้นได้เป็นอย่างดี

1.5 ขอบเขตการวิจัย

1. ศึกษากระบวนการโฟโตลิโทกราฟีในอุตสาหกรรมของการผลิตหัวอ่าน-เขียน ข้อมูล
2. ศึกษาปัจจัยต่างที่มีผลต่อคุณสมบัติต่างๆของพื้นผิวของหัวอ่าน-เขียน ข้อมูล
3. ปรับเปลี่ยนเงื่อนไขในการสกัดที่มีผลต่อคุณสมบัติต่างๆของพื้นผิวของหัวอ่าน-เขียน ข้อมูล
4. ศึกษาแนวโน้มของการควบคุมปัจจัยของการสกัดที่มีผลต่อคุณสมบัติต่างๆของพื้นผิวของหัวอ่าน-เขียน ข้อมูล

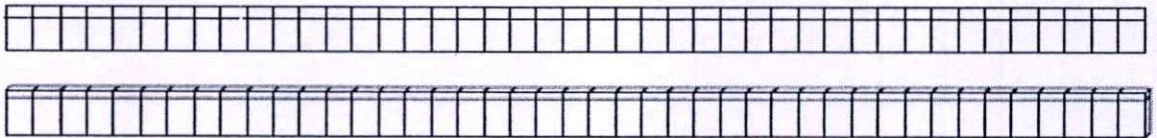
1.6 ประโยชน์ที่คาดว่าจะได้รับ

1. สามารถทำให้รู้ถึงกระบวนการ โฟโวลีโทกราฟีที่นำมาใช้ในอุตสาหกรรมสร้างหัวอ่าน-เขียน ข้อมูล และเข้าใจหลักการของการสกดโดยใช้ไอออนบีมโดยสังเขป
2. ทราบเงื่อนไขที่มีผลต่อคุณสมบัติต่างๆของพื้นผิวของหัวอ่าน-เขียน ข้อมูล
3. ทราบเทคนิคในการวัดคุณสมบัติต่างๆของพื้นผิวของหัวอ่าน-เขียน ข้อมูล
4. สามารถที่จะหาแนวโน้มของเงื่อนไขที่มีผลต่อคุณสมบัติต่างๆของพื้นผิวของหัวอ่าน-เขียน ข้อมูล

1.7 ความรู้พื้นฐานของคำว่า Bar และ Slider

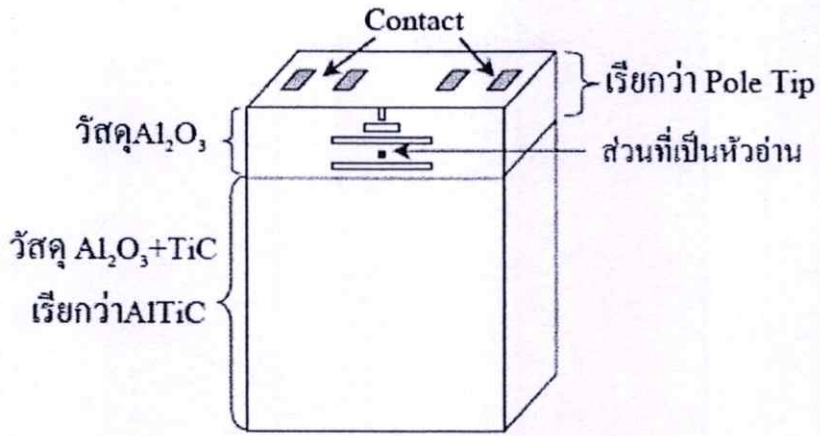
เนื่องจากว่าในวิทยานิพนธ์เล่มนี้นั้น ได้มีคำที่เกี่ยวข้องกับการผลิตทางด้านหัวอ่าน-เขียนข้อมูล อยู่บ้างและคำดังกล่าวนั้นก็เกี่ยวข้องกับการทำวิจัยซึ่งสืบเนื่องไปถึงวิทยานิพนธ์เล่มนี้ด้วย จึงมีความ จำเป็นที่จะอธิบายความหมายต่างๆของคำดังกล่าวนี้เพื่อที่จะให้มีความเข้าใจเบื้องต้นอยู่บ้าง เพราะว่า ภายในวิทยานิพนธ์เล่มนี้นั้นจะพูดถึงคำเหล่านี้้อยู่ตลอด ก็คือ Bar และ Slider ซึ่ง Bar นั้นแสดงดังรูปที่

1.1



รูปที่ 1.1 ภาพจำลองของ Bar

ซึ่งจากรูปที่ 1.1 นั้น Bar หมายความว่า มีหัวอ่าน-เขียนข้อมูล ที่อยู่ติดกันประมาณ 43 ตัวหรือก็คือภายใน 1 Bar นั้น มีจำนวน Slider อยู่ด้วยกัน 43 Slider นั้นเอง ภายใน 1 Slider จะมีหัวอ่าน-เขียน ข้อมูล รวมอยู่ข้างใน ซึ่ง Slider แสดงไว้ดังรูปที่ 1.2



รูปที่ 1.2 ส่วนของ Slider ที่มีหัวอ่านและหัวเขียนข้อมูล

จากรูปที่ 1.2 แสดงให้เห็นถึงตัว Slider ว่าภายใน 1 Slider จะมีหัวอ่าน-เขียนข้อมูล รวมอยู่ข้างใน ซึ่ง Slider มีส่วนที่สำคัญมากอยู่บริเวณที่เป็นฟิล์มตรงส่วนที่มีวัสดุเป็น Al_2O_3 และเนื่องจากว่าส่วนฟิล์มนี้มีหัวอ่าน-เขียนข้อมูลอยู่และส่วนนี้เรียกว่า Pole Tip

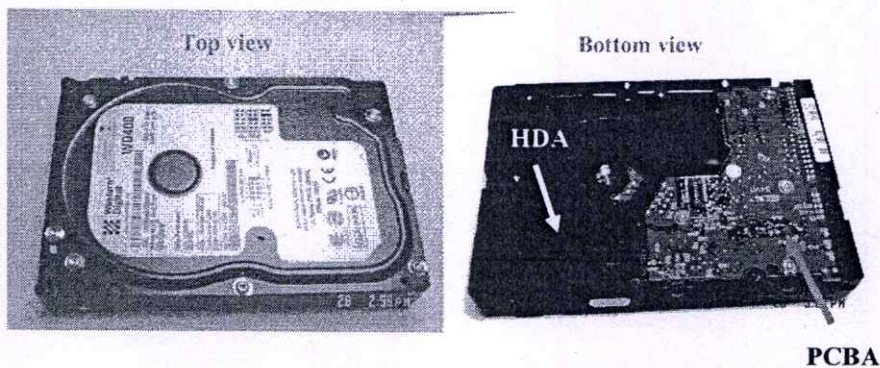
บทที่ 2

ทฤษฎีและเทคโนโลยีที่เกี่ยวข้อง

ในวิทยานิพนธ์ฉบับนี้เป็นการแนะนำถึงความรู้พื้นฐานเกี่ยวกับอุปกรณ์บันทึกข้อมูล เทคโนโลยีและความเป็นมาของหัวอ่านเขียนข้อมูล วัสดุที่ใช้ในการประกอบเป็นหัวอ่านเขียน กระบวนการผลิต และเครื่องมือที่ใช้ในการสกัดซึ่งในที่นี้เป็นเครื่องไอออนบีม รวมทั้งอธิบายถึงความสัมพันธ์ระหว่างพารามิเตอร์ที่ทำการศึกษาว่ามีผลต่อคุณสมบัติการทำงานของหัวอ่านเขียนอย่างไร เพราะในปัจจุบันเทคโนโลยีการผลิตหัวอ่านเขียนในประเทศไทยได้กลายเป็นอุตสาหกรรมเพื่อการส่งออกเป็นรายใหญ่ของโลก เพราะฉะนั้นการศึกษาเกี่ยวกับหัวอ่านเขียนจึงเป็นส่วนสนับสนุนและพัฒนากระบวนการผลิตในอนาคตต่อไป

2.1 ความรู้พื้นฐานโดยทั่วไปของอุปกรณ์บันทึกข้อมูล

ปัจจุบันคอมพิวเตอร์ได้มีบทบาทในชีวิตประจำวันอย่างมากมายและแพร่หลาย ส่วนที่สำคัญส่วนหนึ่งซึ่งคอมพิวเตอร์ทุกเครื่องขาดไม่ได้คือหน่วยความจำสำรอง ในที่นี้ก็ได้แก่ฮาร์ดดิสก์ไดรฟ์ ฮาร์ดดิสก์ไดรฟ์เป็นหน่วยความจำที่มีขนาดใหญ่ที่สุดภายในเครื่องคอมพิวเตอร์ และจัดเก็บข้อมูลแบบดิจิทัล ด้วยเทคโนโลยีที่ทันสมัย ขณะนี้ความจุของฮาร์ดดิสก์ไดรฟ์ได้เพิ่มขึ้นอย่างมหาศาล เมื่อเทียบกับ 10 หรือ 15 ปีที่แล้ว และความเร็วในการเขียนหรือบันทึกข้อมูลก็มีความเร็วมากขึ้นเรื่อยๆ และในอนาคตขนาดของฮาร์ดดิสก์จะมีขนาดเล็กมาเพื่อรองรับอุปกรณ์ที่ต้องใช้การเก็บข้อมูลแบบพกพาได้เช่นในกล้องวิดีโอ กล้องดิจิทัล ในที่นี้จะกล่าวถึงฮาร์ดดิสก์ที่ใช้กับคอมพิวเตอร์ทั่วไปโดยที่ฮาร์ดดิสก์ไดรฟ์ตัวหนึ่งๆ จะประกอบไปด้วยส่วนหลักๆ ก็คือ



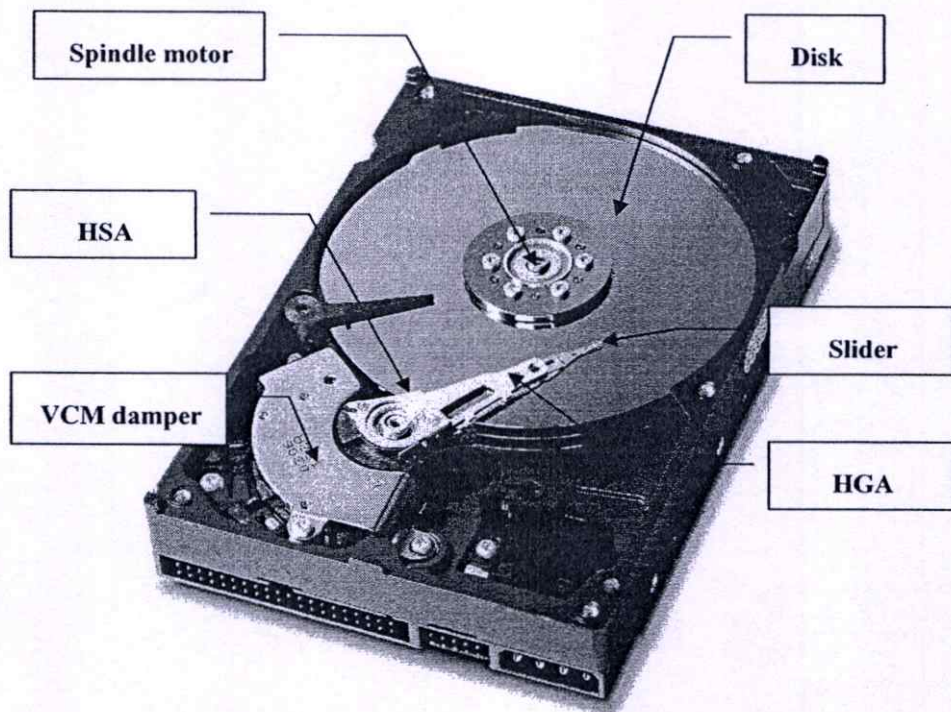
รูปที่ 2.1 แสดงโครงสร้างภายนอกของฮาร์ดดิสก์ไดรฟ์[1]

1. HDA (Hard Disk Assembly) เป็นส่วนที่เป็นกลไกในการอ่านเขียนข้อมูลอันได้แก่ งานแม่เหล็ก(magnetic media) HSA (Head Stack Assembly)ซึ่งในส่วนนี้จะประกอบไปด้วย HGA ที่ซ้อนเรียงกันเป็นชั้นๆ มอเตอร์ที่ใช้ในการขับจานแม่เหล็กหมุน(Spindle motor) ขดลวดเหนี่ยวนำ (VCM Coil) ตัวกรองฝุ่น(Filter) ตัวยึดหัวอ่าน(Latch) ส่วนเหล่านี้มีความไวต่อไฟฟ้าสถิตเป็นอย่างมาก ดังนั้นการประกอบอุปกรณ์ส่วนนี้จึงต้องทำในห้องปลอดฝุ่นเท่านั้น และการใช้งานปกติจะไม่สามารถสังเกตเห็นกลไกภายในได้เลย

2. PCBA (Printed Circuit Board Assembly) เป็นส่วนประกอบที่เป็นแผ่นวงจรใช้ในการควบคุมส่วนที่เป็นกลไกและเป็นตัวเชื่อมต่อข้อมูลเข้าสู่เครื่องคอมพิวเตอร์

2.2 โครงสร้างภายในของระบบกลไกการอ่านเขียนข้อมูล

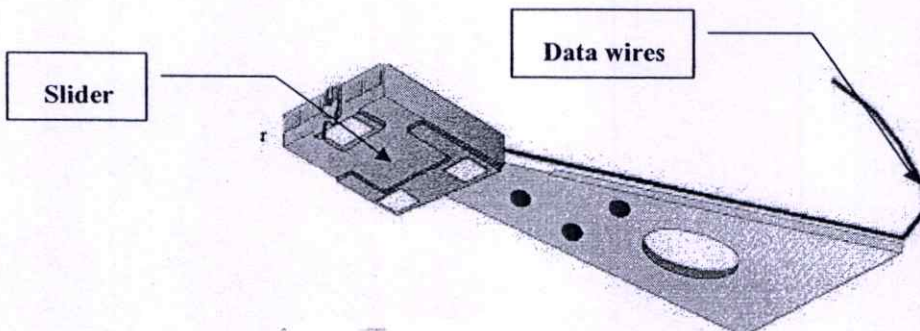
เมื่อกล่าวถึงภายในฮาร์ดดิสก์ไครฟ์ ระบบที่เป็นกลไกในการอ่านเขียนข้อมูลเป็นระบบที่มีส่วนสำคัญมากซึ่งเกี่ยวข้องกับขนาดในการจัดเก็บข้อมูล ความเร็วในการอ่านเขียนข้อมูล แสดงได้ดังรูปที่ 2.2



รูปที่ 2.2 แสดงโครงสร้างส่วนกลไกภายในฮาร์ดดิสก์ไครฟ์[1]

เมื่อดูส่วนประกอบภายใน จะเห็นส่วนประกอบดังรูปที่ 2.2 แผ่นวงกลมที่ซ้อนกันหลายชั้นคือจานแม่เหล็กที่ใช้ในการบันทึก โดยที่จานแม่เหล็กจะมีการเคลือบสารทั้งด้านบนและด้านล่าง ซึ่งเป็นการเคลือบของสารประกอบประเภทฟิล์มบางแม่เหล็กที่มีความหนา 12 ไมโครนิ้วเท่านั้น ด้วยความบางมาก ทำให้หัวอ่านเขียนข้อมูลสามารถทำให้ใกล้ชิดกับจานแม่เหล็กมากยิ่งขึ้น เป็นผลให้ความแม่นยำในการอ่านและเขียนลงบนจานแม่เหล็กมีมากยิ่งขึ้น ข้อดีอีกประการหนึ่งของฟิล์มบางแม่เหล็ก ได้แก่ ความสามารถในการทนแรงขีดข่วนของพื้นผิวที่เคลือบ และสามารถป้องกันข้อมูลได้ดีกว่า Iron Oxide ต่อมาจะเป็นส่วนของสปินเดิลมอเตอร์ (Spindle motor) เป็นมอเตอร์หลักที่หมุนตัวจานฮาร์ดดิสก์ เหตุที่เรียกว่าสปินเดิลมอเตอร์ก็เนื่องจากที่ตัวมอเตอร์เชื่อมต่อกับจานฮาร์ดดิสก์โดยตรง และหมุนเป็นวงกลม การทำงานของมอเตอร์ชนิดนี้เป็นแบบ Feed Back Loop เพื่อการปรับอัตราความเร็วในการหมุนได้โดยอัตโนมัติ และโดยทั่วไปอัตราความเร็วในการหมุนใช้ ตั้งแต่ 3600 รอบ ไปจนถึง 10,700 รอบ ซึ่งอัตราความเร็วในการหมุนของจานฮาร์ดดิสก์นี้มีผลต่อประสิทธิภาพการทำงานที่เร็วขึ้นฮาร์ดดิสก์ที่ยังมีความเร็วในการหมุนเท่าใดก็ยิ่งดีมากขึ้น [1]

ส่วนประกอบที่สำคัญอีกส่วนหนึ่งคือ HGA (Head Gimble Assembly) ซึ่งส่วนนี้จะถูกยึดติดกับ HSA มีลักษณะเป็นแขนที่ยื่นเข้าไปบนจานแม่เหล็ก ที่ส่วนปลายมีวัสดุรูปร่างสี่เหลี่ยมขนาดเล็กๆ เราเรียกส่วนนี้ว่า Slider ซึ่งเป็นส่วนที่ใช้ทั้งอ่านข้อมูลและเขียนข้อมูล ในฮาร์ดดิสก์ตัวหนึ่งๆ อาจจะมี Slider ได้มากถึง 6-8 ตัวขึ้นอยู่กับจำนวนของจานแม่เหล็ก ขณะทำการอ่านและเขียนข้อมูลหัวอ่าน Slider จะบินอยู่เหนือจานแม่เหล็กเพื่ออ่านและเขียนข้อมูล จากรูปจะเห็นว่ามีความคล้อยอยู่บนตัว Slider ซึ่งจะเป็นส่วนที่วิทยานิพนธ์นี้ได้ทำการศึกษา ซึ่งสัญญาณที่ตรวจจับได้จะถูกส่งผ่านตามสายสัญญาณเพื่อเข้าสู่วงจรต่อไป



รูปที่ 2.3 ภาพจำลองโครงสร้างของ HGA

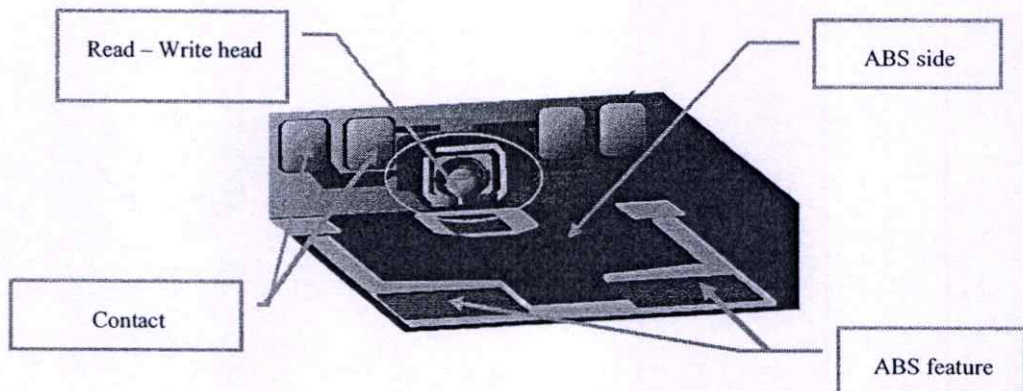
ในปัจจุบันประเทศไทยได้เป็นผู้ผลิต HGA เพื่อส่งออกเป็นอันดับต้นๆของโลก ขณะที่เทคโนโลยีสมัยใหม่ในกระบวนการผลิตได้มีส่วนผลักดันในการพัฒนาโครงสร้างของ HGA ให้มีประสิทธิภาพขึ้นเรื่อยๆ ซึ่งก็ต้องแลกกับความซับซ้อนของโครงสร้างที่มากขึ้นด้วย ตามลำดับ

2.3 โครงสร้างพื้นฐานโดยรวมของหัวอ่านเขียนข้อมูล

หัวอ่านเขียนข้อมูลในปัจจุบันได้ถูกพัฒนาไปอย่างต่อเนื่องโดยที่มีขนาดเล็กลง แต่สามารถที่จะอ่านหรือเขียนข้อมูลได้เป็นจำนวนมากอย่างรวดเร็ว ส่วนหนึ่งเป็นเพราะเทคโนโลยีฟิล์มบางแมกเนโตรซิสแตนซ์ (Magneto resistance Film) ทำให้การรับสัญญาณจากจานแม่เหล็กเป็นไปได้อย่างมีประสิทธิภาพมากขึ้น [1]

ตารางที่ 2.1 แสดง Form factor ของหัวอ่านในแต่ละรุ่น

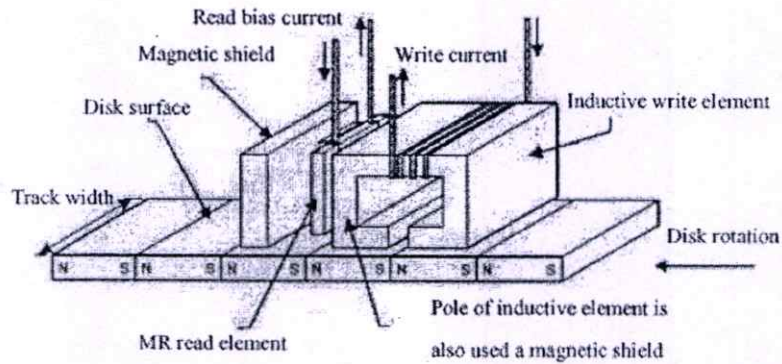
Form factor	Length(mm)	Width(mm)	Thickness(mm)
MINI	4.06	3.20	0.86
MICRO	2.84	3.23	0.61
NANO	2.05	1.60	0.43
PICO	1.25	1.00	0.30
FEMTO	0.85	0.70	0.21



รูปที่ 2.4 แสดงภาพจำลองของ Slider แบบ Pico

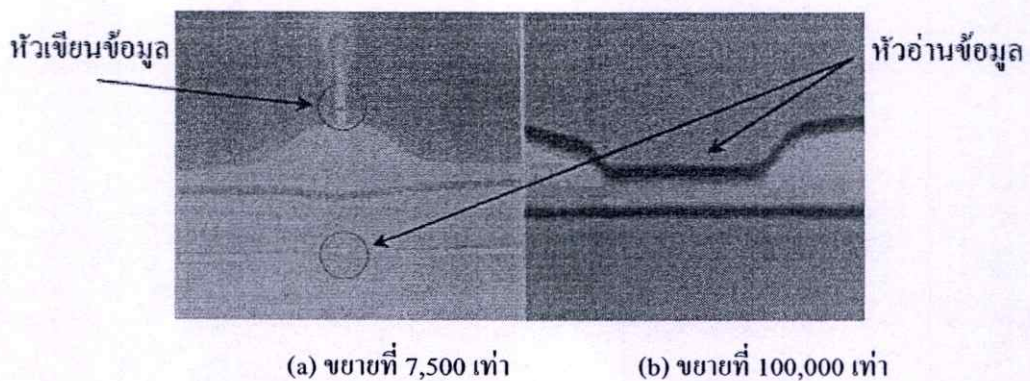
Slider จากอดีตจนถึงปัจจุบันจะสังเกตว่าจะมีขนาดลดลงเรื่อยซึ่งสังเกตได้จากตารางที่ โดยที่ Slider ที่ใช้ทำการทดลองในที่นี้เป็นรุ่น Pico ซึ่งอยู่ในกระบวนการผลิตฮาร์ดดิสก์ความจุ 80 GB ของบริษัทเวสเทิร์นดิจิตอลจำกัด ในรุ่น Pico นี้จะมีขนาดความกว้าง 1 มิลลิเมตร ยาว 1.25 มิลลิเมตร และหนา 0.30 มิลลิเมตร จากรูปที่ 2.4 โดยทั่วไปแล้ว Slider จะประกอบไปด้วยส่วนสำคัญๆ ดังนี้

1. หัวอ่านและหัวเขียนข้อมูล จะประกอบไปด้วย โครงสร้างหลักๆคือขดลวดที่ใช้สำหรับเขียนข้อมูล (Writer Coil) และส่วนที่ใช้สำหรับอ่านข้อมูล (Reader) ซึ่งเป็นส่วนของฟิล์มแม่เหล็กบาง โดยมีซีลด์กันสนามแม่เหล็กรอบกวนภายนอกจากด้านล่าง (Bottom Shield) และด้านบน (Top Shield) รูปที่ 2.5 แสดงแบบจำลองลักษณะการอ่านและเขียนข้อมูลบนจานแม่เหล็ก โดยที่หัวอ่านเขียน



รูปที่ 2.5 แบบจำลองโครงสร้างและการทำงานของหัวอ่านเขียนข้อมูล

จะลอยอยู่เหนือจานแม่เหล็ก โดยโครงสร้างพื้นฐานใน Slider ตัวหนึ่งๆนั้นจะมีหัวอ่านและหัวเขียนรวมอยู่ในตัวเดียวกัน โดยมีชั้นที่เป็นฉนวนที่เป็นอะลูมิเนียมออกไซด์ Al_2O_3 นั้นกันไว้ระหว่างหัวอ่านและหัวเขียน แต่หลักการการทำงานนั้นแตกต่างกันเพราะว่าหัวเขียนใช้หลักการของแอมแปร์ โดยการป้อนกระแสไปที่ขดลวดแล้วเกิดฟลักซ์แม่เหล็กเหนี่ยวนำให้เกิดทิสสนามแม่เหล็กขึ้นที่บนจานแม่เหล็ก ส่วนหัวอ่านข้อมูลนั้นจะคอยทำหน้าที่รับสัญญาณจากจานแม่เหล็กว่ารอยต่อระหว่างแทรกบนจานแม่เหล็กนั้นมีทิศทางสนามแม่เหล็กที่เสริมกันหรือว่ามี



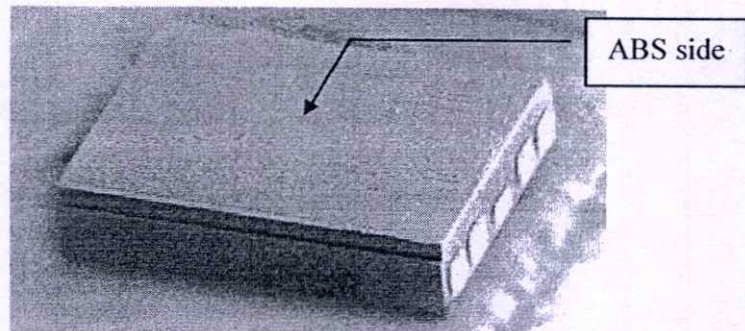
รูปที่ 2.6 โครงสร้างของหัวอ่าน-เขียนข้อมูลที่ถ่ายขยายด้วย SEM[2]

ทิศทางสนามแม่เหล็กที่แตกต่างกัน ถ้ามีขั้วที่เหมือนกันจะให้สัญญาณออกมาเป็นแอมพลิจูดที่สูงหรือต่ำลงในทางดิจิทัลแล้วนั้นก็ให้สัญญาณออกมาเป็น 1 หรือ 0 นั้นจะขึ้นอยู่กับว่าสัญญาณก่อนหน้านั้นจะมีการหักล้างหรือเสริมกันที่เกี่ยวข้องกับทิศทางของสนามแม่เหล็ก

โครงสร้างของหัวอ่าน-เขียนข้อมูลจริงแล้วมีขนาดเล็กมากเมื่อเทียบกับตัว Slider เองและไม่สามารถที่จะมองเห็นด้วยตาเปล่าได้ แต่ก็มีเทคนิคหนึ่งที่จะสามารถทำให้เห็นหัวอ่าน-เขียนข้อมูลได้โดยการนำหัวอ่าน-เขียนข้อมูลนั้นมาขยายด้วยเครื่อง Scanning Electron Microscope(SEM) จึงจะเห็นหัวอ่าน-เขียนข้อมูลได้ จากรูปที่ 2.6 เป็นการขยายด้วยขนาด 7,500 เท่าโดยขยายในส่วนที่เป็นทั้งหัวอ่านและหัวเขียนข้อมูลซึ่งในส่วนของหัวเขียนนั้นจะมีช่องว่างอยู่ ซึ่งก็คือช่องว่างของอากาศเพื่อให้เกิดฟลักซ์แม่เหล็กขณะที่ป้อนกระแสให้กับขดลวด ส่วนรูป(b) นั้นเป็นการขยายส่วนที่เป็นหัวอ่านเพียงอย่างเดียว โดยขยายถึง 100,000 เท่าเพื่อให้เห็นรูปร่างของหัวอ่านได้ชัดเจนยิ่งขึ้น

2. Metal Contact ขั้วโลหะจะทำจากทองคำหน้าที่เชื่อมต่อสัญญาณจากหัวอ่านและหัวเขียนเข้าสู่วงจรในอาร์คคิสก์

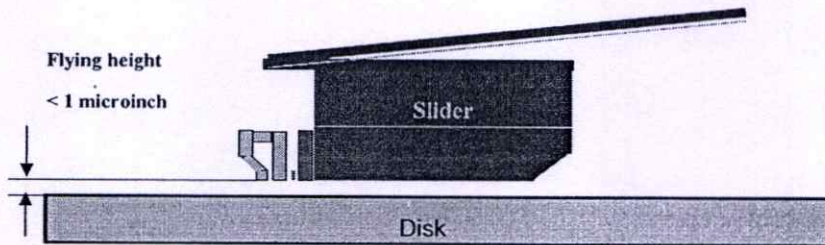
3. ABS(Air Bearing Surface) เป็นด้านหนึ่งของหัวอ่านเขียนข้อมูลที่มีลวดลายอยู่ ซึ่งลวดลายนี้ทำหน้าที่เปรียบเสมือนปีกเครื่องบิน ช่วยในการพยุงหัวอ่านให้ลอยได้คงที่ขณะทำการอ่านหรือเขียนข้อมูล ปัจจุบันการสร้างลวดลายของด้าน ABS ได้นำวิธีการทางไมโครอิเล็กทรอนิกส์ได้แก่กระบวนการโฟโตลิโทกราฟี (Photolithography)[3] ที่ทำลวดลายวงจรมาทำบนด้าน ABS เนื่องจากลวดลายที่สร้างมีขนาดเล็กมากระดับไมครอน



รูปที่ 2.7 รูปถ่าย SEM แสดงด้าน ABS ของ Slider

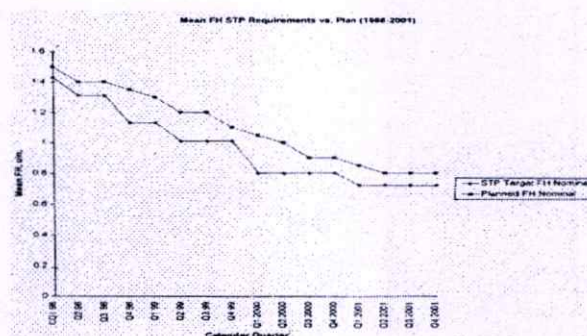
2.4 ความรู้พื้นฐานเกี่ยวกับ Air Bearing Surface(ABS)

อย่างที่ได้อธิบายมาแล้วในหัวข้อที่แล้วเกี่ยวกับประโยชน์ของลวดลายบน ABS ในการช่วยพยุงตัว Slider ให้ลอยเหนือจานแม่เหล็ก ซึ่งความสูงที่ลอยเหนือจานแม่เหล็กยิ่งน้อยเท่าไรยิ่งดี เนื่องจากจะสามารถรับสัญญาณได้แม่นยำขึ้นเท่านั้น ระยะเวลาที่หัวอ่านเขียนลอยอยู่เหนือจานแม่เหล็กเรียกว่า Fly Height โดยทั่วไปแล้วค่า Fly height จะกำหนดโดยทางโรงงาน น้อยกว่า 1 ไมครอนี้ว แนวโน้มของระยะ Fly height จะมีขนาดน้อยลงเรื่อยๆ ซึ่งจะสังเกตได้จากรูปที่ 2.9 ดังนั้นเมื่อหัวอ่านเขียนบินอยู่เหนือจานแม่เหล็กในระดับที่เกือบจะสัมผัสกับจานแม่เหล็กอยู่นั้น ความสม่ำเสมอของการบินของหัวอ่านเขียนจึงเป็นสิ่งสำคัญเป็นอย่างมาก ความรู้ทางด้านพลศาสตร์จึงถูกนำมาประยุกต์ใช้กับอุปกรณ์เหล่านี้ โดยที่จะมีการออกแบบโดยใช้โปรแกรมจำลองรูปร่างของลวดลายแล้วทำการจำลองการทำงาน ซึ่งเมื่อได้ลวดลายที่ต้องการแล้วก็นำเข้าสู่กระบวนการ



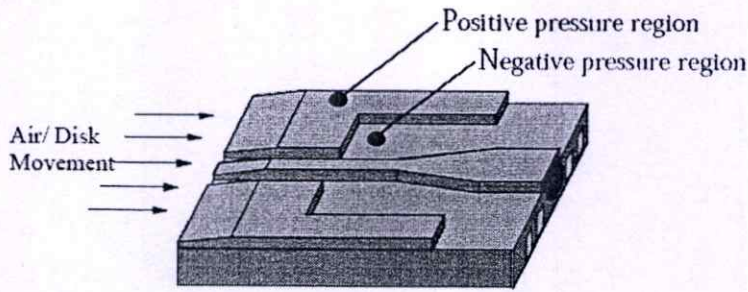
รูปที่ 2.8 แสดงแบบจำลองการวัดระยะ Fly Height

ผลิตลวดลายต่อไป ดังนั้นการที่หัวอ่านจะบินตรงตามสเปกที่กำหนดหรือไม่นั้น เทคนิคหรือวิธีการสร้างลวดลายให้ตรงกับต้นฉบับที่จำลองมา จึงเป็นสิ่งสำคัญเป็นอย่างยิ่ง เพื่อที่จะนำไปสู่ระยะ Fly height ที่ต้องการ



รูปที่ 2.9 แสดงแนวโน้มของระยะ Fly height

ลวดลายบนด้าน ABS จะมีเมื่อพิจารณาในขอบเขตของความดันจะแบ่งออกได้เป็น 2 ส่วน โดยแสดงได้ดังรูปที่ 2.10



รูปที่ 2.10 แสดงขอบเขตของ Positive pressure และ Negative pressure บนด้าน ABS ของ Slider

1. Positive pressure region เป็นระดับพื้นผิวของ Slider ส่วนที่ไม่ได้ถูกสกัดให้ลึกลงไป จากการจำลองความดันขณะกำลังอ่านหรือเขียนข้อมูลจะมีค่าเป็นบวกในช่วงระหว่าง 4-12 เท่าของความดันปกติ ส่วนนี้จะทำหน้าที่เป็นแรงยกหัวอ่านให้ลอยสูงขึ้น รูปที่ 2.10 แสดงขอบเขตของ Positive pressure region

2. Negative pressure region เป็นส่วนที่ลึกลงไปจากปกติส่วนนี้จะมีความดันเป็นลบซึ่งจะมีค่าต่ำกว่าระดับความดันปกติ 0.1 -0.8 เท่า ตรงส่วนนี้ต้องใช้เทคนิคในการสกัดเพื่อทำให้เกิดร่องหรือลวดลายขึ้น ในรูปที่ 2.10 แสดงขอบเขตของ Negative pressure region ซึ่งขอบเขตส่วนนี้จะมีประโยชน์หลายประการคือ

- เพิ่มความนิ่ง (Stiffness) ในการบินอยู่เหนือจานแม่เหล็กทำให้ความแปรปรวนของค่า Fly Height ลดลงทำให้การอ่านเขียนข้อมูลมีความเสถียรมากขึ้น

- ทำให้ค่า Fly Height มีค่าต่ำลง เนื่องจาก Negative pressure จะทำหน้าที่เป็นแรงที่ดึงให้ตัว Slider กดลงเพื่อให้มีระยะน้อยที่สุด โดยปกติแล้วจะมีแรงกดประมาณ 5 mg ดังนั้นการออกแบบลวดลายที่เป็นขอบเขตของ Negative pressure จึงสำคัญเป็นอย่างยิ่ง

- ช่วยลด speed sensivity เป็นการช่วยชะลอไม่ให้หัวอ่านเขียนมีการเคลื่อนไหวที่เร็วเกินไปซึ่งจะส่งผลต่อค่า Fly Height ที่จะตกลงอย่างรวดเร็วในขณะที่ทำการเขียนข้อมูล

ในส่วนของ Negative pressure region ในหัวอ่านเขียน ปัจจุบันไม่ได้มีเพียงขั้น (Step) เดียว แต่ประกอบไปด้วยขั้นที่มีความลึกต่างๆ กัน ด้วยเหตุนี้การสร้างลวดลายขึ้นมา จึงต้องมีการใช้กระบวนการโฟโตลิโทกราฟีทำในแต่ละขั้นๆ และตรวจสอบความถูกต้องกับแบบที่ได้ออกมาด้วยการวัดค่า CD (Critical Dimension)

2.5 กระบวนการสร้างลวดลายโดยใช้กระบวนการโฟโตลิโทกราฟี

เนื่องจากหัวอ่านเขียนข้อมูลในปัจจุบันนี้เป็นแบบ GMR(Giant Magneto Resistance) เป็นเทคโนโลยีที่ใหม่ล่าสุดของหัวอ่านฮาร์ดดิสก์ และเมื่อหัวอ่านมีขนาดเล็กลงกว่าเดิมก็ยังคงมีการพัฒนาลวดลายของ ABS ให้สอดคล้องกัน และเทคนิคในการสร้างก็ต้องมีการเปลี่ยนแปลงไปด้วย แต่โดยพื้นฐานการสร้างลวดลายก็ไม่ได้แตกต่างจากวิธีที่ใช้ในการสร้างลวดลายวงจรรวมมากนัก โดยมีขั้นตอนและจุดประสงค์ของการสร้างคล้ายๆกัน

กระบวนการก่อนหน้ากระบวนการโฟโตลิโทกราฟีนั้น จะนำหัวอ่านที่ตัดจากแผ่นเวเฟอร์ออกมาเป็นบาร์ แล้วนำมาเรียงใส่แผ่นโลหะที่เรียกว่า Tip ซึ่งเราเรียกกระบวนการนี้ว่า Encapsulation โดยหงายด้านที่เป็น ABS ขึ้น ซึ่งเป็นกระบวนการที่ทำให้บาร์มีความเรียบ(Flat) มากที่สุด แต่ละบาร์ที่เรียงเป็น 1 Tip นั้นก็จะถูกทำให้ราบเรียบให้มากที่สุดเช่นเดียวกัน เพราะตลอดเวลาที่ทำกระบวนการโฟโตลิโทกราฟีนั้นบาร์จะอยู่ติดกับแผ่น Tip ตลอด ซึ่งกระบวนการโฟโตลิโทกราฟีจะอยู่ถัดจากกระบวนการเคลือบ DLC ในที่นี้จะได้กล่าวถึงกระบวนการสร้างลวดลายของหัวอ่านในสายการผลิตหัวอ่านจริง และอธิบายความสำคัญในแต่ละกระบวนการ ซึ่งประกอบไปด้วยขั้นตอนย่อยดังนี้คือ

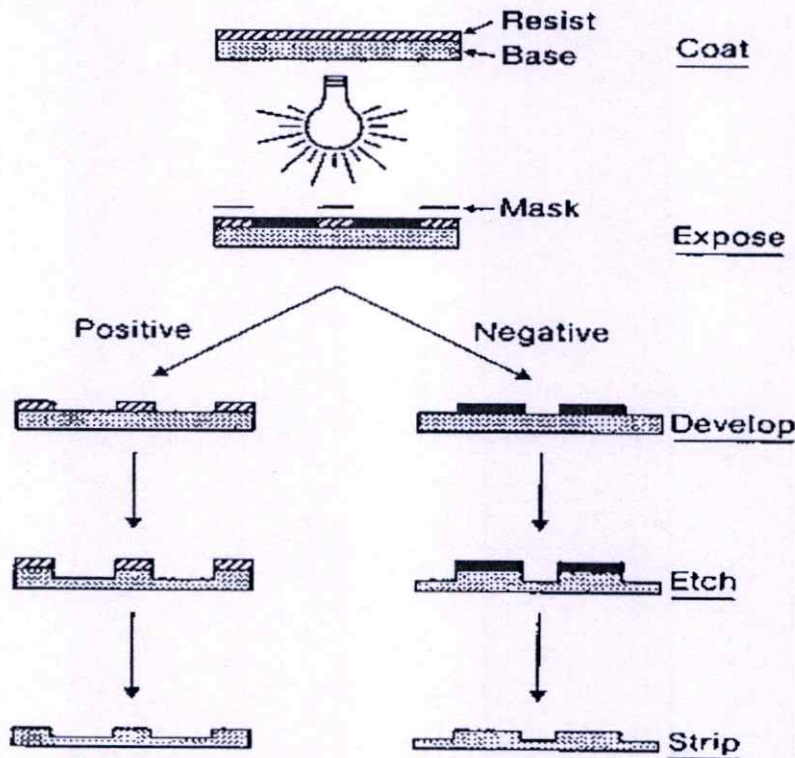
2.5.1 กระบวนการเคลือบโฟโตรีซิส

เป็นการเคลือบโฟโตรีซิส(โฟโตรีซิส) ให้มีลักษณะเป็นฟิล์มบางคลุมบนผิวหน้างาน[3] ปรกติแล้วโฟโตรีซิสจะแบ่งออกได้เป็นหลายประเภทดังนี้[3]

1. Positive Resist เป็นโฟโตรีซิสชนิดบวกซึ่งก็แบ่งออกเป็นชนิดฟิล์มแห้ง (Dry film) และฟิล์มเปียก (Wet film) ในที่นี้มักใช้ฟิล์มที่เป็นชนิดเปียกมากกว่า โดยที่คุณสมบัติของ Positive resist คือเมื่อบริเวณใดที่ถูก Exposure แสงยูวี บริเวณนั้นจะเป็นส่วนที่ถูกขจัดออกไป เพราะแสงยูวีจะไปเปลี่ยนโครงสร้างทางเคมีในส่วนที่ไม่ต้องการให้กลายเป็นโครงสร้างที่ละลายได้ง่ายด้วยสารDeveloper โดยที่ลวดลายที่ออกมาหลังจากการ Develop แล้วจะเหมือนกับหน้า mask ของเครื่อง Exposure

2. Negative Resist เป็นโฟโตรีซิสชนิดลบซึ่งจะมีทั้งชนิดฟิล์มแห้ง (Dry film) และฟิล์มเปียก (Wet film) เช่นเดียวกับชนิดบวก ในที่นี้มักใช้ฟิล์มชนิดแห้งมากกว่า โดยที่คุณสมบัติของ Negative resist จะตรงข้ามกับ Positive resist คือเมื่อส่วนใดที่ถูก Exposure ด้วยแสงยูวี บริเวณนั้นจะเป็นส่วนที่ยังคงอยู่ เพราะแสงยูวีจะไปเปลี่ยนโครงสร้างให้เป็นส่วนที่ยากต่อการละลายต่อตัว Developer โดยที่ลวดลายที่ได้หลังจากการ Develop แล้วจะตรงกันข้ามกับหน้า mask ของเครื่อง Exposure

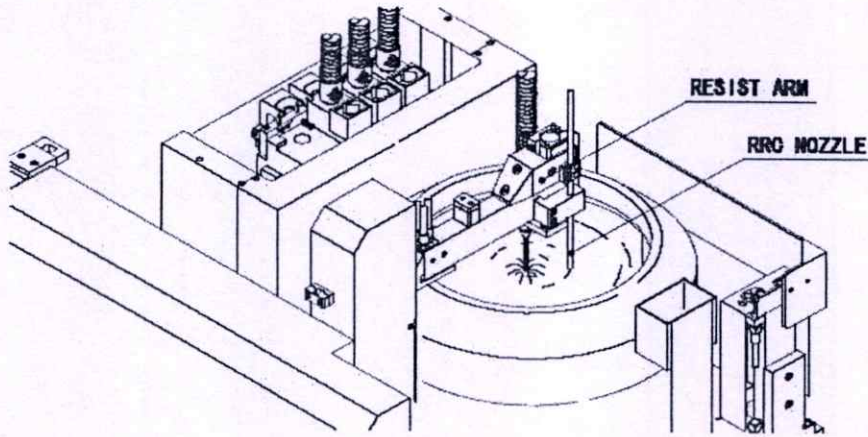
จากรูปที่ 2.11 ได้แสดงถึงความแตกต่างระหว่าง Positive และ Negative resist ซึ่งในกระบวนการผลิตต้องใช้ทั้งสองกระบวนการเพราะเนื่องจากการใช้ Dry film จะมีข้อดีคือกระบวนการจะมีความรวดเร็วกว่าใช้ Wet film เพราะไม่ต้องมีกระบวนการเคลือบที่ยุ่งยาก รวมทั้งมีความสม่ำเสมอของฟิล์มมากกว่าดังนั้นจึงสามารถนำมาใช้กับการออกแบบลวดลายที่ต้องการความลึกมากๆ โดยในการผลิตจะใช้ชนิด GA-30 ที่มีความหนาประมาณ 30 ไมครอน ส่วนการใช้ Wet film จะนำไปใช้กับส่วนที่ลวดลายความละเอียดสูงเพราะสามารถควบคุมความหนาของฟิล์มได้ และสามารถทำให้มีความบางมากๆ ได้ เพื่อหลีกเลี่ยงปัญหา Shadow effect โดยทั่วไปจะทำการเคลือบ Positive film ที่ความหนาประมาณ 7 ไมครอน ซึ่งในปัจจุบันจะนิยม Positive resist มากกว่าในแง่ของการสร้างลวดลายที่มีขนาดเล็กมากๆ เนื่องจากจะควบคุมลวดลายได้ง่ายกว่าการใช้ Negative resist



รูปที่ 2.11 แสดงกระบวนการโฟโตลิโทกราฟีที่ใช้โฟโตรีซิสต์ทั้งสองชนิด[3]

เมื่อก้าวถึงวิธีการเคลือบฟิล์มลงบนวัสดุที่ต้องการ ส่วนใหญ่จะใช้วิธี Spin coat เนื่องจากสามารถควบคุมความหนาได้ง่ายตามต้องการ ลักษณะของการ Spin coat จะแบ่งออกได้ดังนี้คือ

1. Static distance วัสดุจะยังไม่หมุนในขณะที่ทำการหยดน้ำยาโฟโตริซิสลง แต่จะเริ่มหมุนเมื่อทำการหยดเสร็จแล้ว ซึ่งวิธีนี้จะใช้น้ำยาก่อนข้างเปลือง ความสม่ำเสมอของฟิล์มก่อนข้างดี
2. Dinamic distance วัสดุจะหมุนขณะหยดน้ำยาโฟโตริซิส เทคนิคนี้จะไม่ใช้น้ำยาน้อยกว่าวิธีข้างต้น แต่ความสม่ำเสมอของฟิล์มจะลดลง



รูปที่ 2.12 แสดงภาพจำลองเครื่อง Spin coat ที่ใช้ในการเคลือบโฟโตริซิส

ลักษณะการทำงานจากรูปที่ 2.12 คือเมื่อนำ Tip วางบน Chuck เครื่อง Spin coat โฟโตริซิสจะถูกหยดลงบริเวณกึ่งกลางของ Tip ด้วยแขนกล หลังจากนั้นจะทำการหมุน Tip ด้วยความเร็วสูงทำให้น้ำยาแผ่กระจายออกไปจนเป็นฟิล์มบาง โดยใช้หลักการของ Centifugal force เมื่อใช้วิธีนี้ความหนาของฟิล์มสามารถคำนวณได้จาก[3]

$$T = kP^2 / \sqrt{W} \quad (2.1)$$

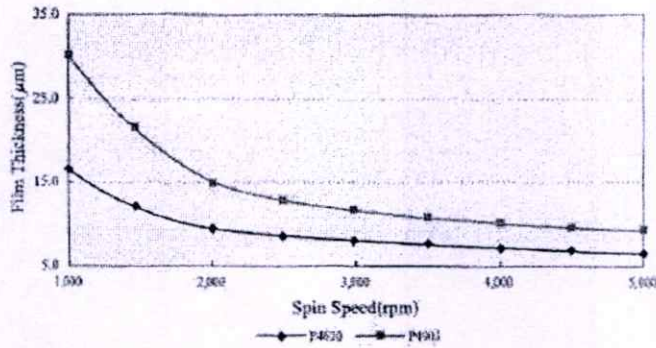
โดยที่ T คือ ความหนาของฟิล์ม

K คือ ค่าคงที่ของ Spinner โดยทั่วไปจะมีค่า 80 -100

P คือ ปริมาณของแข็งในน้ำยาโฟโตริซิส คิดเป็นเปอร์เซ็นต์

W ลือ ความเร็วในการหมุนของ Spinner มีหน่วยเป็น rpm/1000

ในที่นี้ความเร็วของการหมุนที่ใช้ ้น ความหนาที่ต้องการอาจสามารถพิจารณาได้จากกราฟที่ Spin curve ของโฟโตริซิส ในแต่ละชนิด ดังแสดงจากรูปที่ 2.13 ซึ่งน้ำยาโฟโตริซิส แต่ละชนิดจะมีคุณสมบัติที่ต่างๆ กันไปขึ้นกับลักษณะการใช้งานถ้าต้องการความหนามากๆ ก็เลือกใช้น้ำยาซึ่ง



รูปที่ 2.13 แสดงกราฟระหว่าง Spin speed กับความหนาของฟิล์มในโฟโตรีซิสเบอร์ต่างๆ

มีความหนืดสูงแต่ถ้าต้องการความหนาน้อยๆ ก็เลือกน้ำยาที่มีความหนืดต่ำ ซึ่งจริงๆแล้วในการความเร็วรอบที่ใช้ในการเคลือบนั้นจะต้องมีขั้นตอนในการเลือกใช้ความเร็วในการหมุนให้เหมาะสมในแต่ละขั้นเพื่อให้ได้ความสม่ำเสมอของฟิล์มให้มากที่สุด จากตารางที่แสดง Recipe จริงในการเคลือบฟิล์มโฟโตรีซิสจะเห็นว่าช่วงแรกจะมีการหมุนไม่เร็วมากนักเนื่องจากต้องการทำให้น้ำยาเคลือบทั่วทั้งแผ่นและเริ่มไล่เอาน้ำยาส่วนที่เกินออกไป หลังจากนั้นจะเริ่มมีการสร้างความสม่ำเสมอในการเคลือบแต่ก็ยังไมเร็วมากนัก ขั้นตอนต่อมาจะหมุนด้วยความเร็วถึง 3000 รอบต่อนาทีเพื่อให้ฟิล์มมีความบางตามต้องการ และมีแรงที่เกี่ยวข้อง 2 แรงได้แก่แรงที่เกิดจากหนี้ออกจากศูนย์กลาง (Centrifugal force) และ แรงเฉือน (Shear force) ระหว่างชั้นของ โฟโตรีซิส ซึ่งจะมีลักษณะเป็นวงแหวนทิศทางออกจากจุดศูนย์กลาง ในที่นี้ต้องการประมาณ 7 ไมครอนซึ่งช่วงนี้จะเป็นช่วงที่ค่อนข้างใช้เวลานานที่สุด หลังจากนั้นจะลดความเร็วลงเพื่อให้ฟิล์มแห้ง หลังจากนั้น Tip ที่ทำการเคลือบแล้วจะถูกนำไปไว้ในกล่องเพื่อกันฝุ่นกับสิ่งปนเปื้อนจากอากาศ

ตารางที่ 2.2 แสดง Recipe ลำดับขั้นตอนการ Spin coat

Operate	Time(s)	Speed(krpm)
SPIN	2	0.1
DSPI	-	0.1
SPIN	4	0.7
SPIN	-	1
SPIN	20	3.3
EBR	5	0.6
SPIN	5	1

สำหรับการ Spin coat นั้นจะเป็นวิธีที่ใช้ได้อย่างมีประสิทธิภาพกับกระบวนการสร้างที่ยังใช้โฟโตรีซิส ในระดับความหนาที่ได้ แต่จะประสบปัญหาเมื่อใช้กับลวดลายที่มีลักษณะเป็นขั้นบันไดซึ่งจะมีปัญหาการเคลือบบริเวณมุม และการวิธี Spin coat ต้องยอมรับความแปรปรวนที่เกิดขึ้นจากวิธีนี้คือธรรมชาติของการ Spin coat ยังคงมีความแตกต่างระหว่างความหนาบริเวณตรงกลางกับความหนาที่ขอบอยู่เพราะเกิดจากแรงหนีออกจากศูนย์กลาง ซึ่งถ้าหากต้องใช้กับกระบวนการที่ต้องใช้โฟโตรีซิส ที่มีความบางมากๆ จะควบคุมปัญหาความแปรปรวนของความหนาก่อนข้างยาก เทคนิคในการเคลือบฟิล์มจึงต้องได้รับการพัฒนาต่อไป

2.5.2 กระบวนการ Prebaking

ก่อนที่จะพิจารณาถึงกระบวนการ Prebaking จำเป็นต้องทำความเข้าใจเกี่ยวกับสถานะทางกายภาพและทางเคมีของฟิล์มโพลิเมอร์หลังจากการ Spin coat หลังจากผ่านกระบวนการ Spin coat และฟิล์มนั้นแห้งแล้ว ฟิล์มโพลิเมอร์จะประกอบไปด้วยตัวทำละลายที่ยังคงหลงเหลืออยู่ประมาณ 15% และยังมี ความเครียดที่ยังอยู่ในฟิล์มเนื่องมาจากแรงเฉือน (Shear force) ในขณะที่ Spin coat การที่จะทำให้สิ่งเหล่านี้หมดไปต้องมีกระบวนการ Baking ก่อนเข้ากระบวนการ Exposure เมื่อพิจารณาถึงโฟโตรีซิส ตัวทำละลายที่หลงเหลืออยู่จะมีผลกระทบต่อปฏิกิริยาในกระบวนการ Exposure ในช่วงของการแผ่กระจายรังสี ซึ่งจะส่งผลกระทบต่อบริเวณที่ถูกแสงคอนทำการ Exposure นำไปสู่ผลกระทบต่อลวดลายหลังกระบวนการ Develop แต่มีโฟโตรีซิสเพียงไม่กี่ชนิดที่ต้องการตัวทำละลายที่หลงเหลืออยู่ ซึ่งใช้ประโยชน์ของตัวทำละลายเพื่อเพิ่มความไวแสง ในกรณีนี้ตัวทำละลายทำหน้าที่เคลือบฟิล์มอีกชั้นหนึ่งที่ทำให้การแพร่ของน้ำทำได้สะดวก อันเป็นสิ่งจำเป็นต่อปฏิกิริยาทางเคมี ได้แก่ พวก DNQ (diazonaphthoquinone) ส่วนความเครียดที่เกิดขึ้นในฟิล์มนั้นจะเป็นผลทำให้เกิดการสูญเสียสภาพความยืดหยุ่น และอาจทำให้การ Develop ออกไม่สมบูรณ์[3]

หลักการของกระบวนการ Prebaking ก็คือเปิดเพื่อให้อุณหภูมิกับแล้วส่วนที่เป็นโพลิเมอร์ใน โฟโตรีซิส โดยเมื่อลดอุณหภูมิลงนั้นสายโซ่โพลิเมอร์ของโฟโตรีซิส จะเคลื่อนที่ได้ช้าลง[4] แต่เมื่อเพิ่มอุณหภูมิให้สูงกว่าค่า T_g สายโซ่โพลิเมอร์จะกลายเป็นส่วนที่เคลื่อนที่ได้ และจะเริ่มมีการไหลภายใต้ความเครียดไม่มากนัก ดังนั้นการให้ความร้อนกับ โฟโตรีซิส ให้สูงกว่าค่า T_g ของ โฟโตรีซิส เองในช่วงระยะเวลาที่เหมาะสมจะทำให้ฟิล์มเข้าสู่สถานะเสถียรมากยิ่งขึ้น ยิ่งไปกว่านั้น กระบวนการแพร่เป็น Activated process ดังนั้นการกำจัดตัวทำละลายจะทำได้สะดวกยิ่งขึ้น เมื่อเพิ่มอุณหภูมิ เวลาที่เหมาะสมจะทำให้โมเลกุลของตัวทำละลายแพร่ออกไปจากฟิล์มได้หมด

กระบวนการ Prebaking อาจถูกมองว่าเป็นขั้นตอนที่ไม่มีความสำคัญมากนัก แต่อย่างไรก็ตามกระบวนการนี้เป็นสิ่งที่ต้องทำให้ได้อย่างสมบูรณ์ที่สุด เพราะต้องแน่ใจว่ากระบวนการนี้ต้องทำอย่างทั่วถึงทั้งแผ่นเวเฟอร์และฐานรองและต้องทำให้มาตรฐานสำหรับการผลิตที่เป็นจำนวนมากๆ ปรกติแล้วกระบวนการนี้จะมีปัญหาก่อนข้างน้อย นอกจากการใช้เครื่องมือที่มีสิ่งปนเปื้อน

หรือไม่ได้ทำการปรับตั้งเครื่องมือให้เป็นมาตรฐาน ซึ่งปัญหาพวกนี้จะไปส่งผลกระทบต่อเมื่อเสร็จสิ้นกระบวนการ Develop โดยปกติทั่วไปกระบวนการ Prebaking มีหลายรูปแบบดังนี้

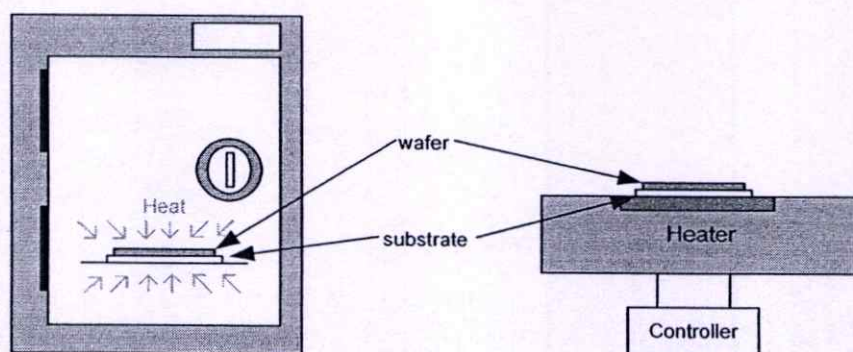
1. Baking oven เป็นการให้ความร้อนแก่ โฟโตรีซิส ที่เป็นระบบปิดเช่น ตู้อบ และยังสามารถแบ่งตามวิธีที่ให้ความร้อนได้อีกไม่ว่าจะเป็น

- Convection oven
- Air convection oven
- Infrared heated oven

ซึ่งวิธี Convection oven ได้นำมาใช้ในโรงงานในกระบวนการผลิตหัวอ่านเขียน ข้อดีของกระบวนการนี้คือมีสิ่งปนเปื้อนหลังจากผ่านกระบวนการน้อย แต่ข้อเสียคือต้องใช้เวลาาน (ประมาณ 45-60 นาที) ที่อุณหภูมิ 90 องศาเซลเซียส และต้องเพิ่มอุณหภูมิซ้ำๆ เพื่อป้องกันการไหม้ ด้วยลักษณะที่เป็นการให้ความร้อนแก่บริเวณผิวนอกถ้าเพิ่มอุณหภูมิไม่เหมาะสมอาจทำให้บริเวณผิวน้ำไหม้ได้

2. Hot plates เป็นการให้ความร้อนจากด้านล่างของฐานรอง ข้อดีของกระบวนการคือใช้เวลาค่อนข้างเร็ว (ประมาณ 1-5 นาที) ที่อุณหภูมิ 75-80 องศาเซลเซียส ข้อเสียคือฐานรองต้องมีผิวเรียบมาก เพื่อให้การกระจายความร้อนเป็นไปได้อย่างทั่วถึง แต่ด้วยการนำความร้อนทำให้ชิ้นงานได้รับความร้อนอย่างทั่วถึงกว่าวิธีใช้ตู้อบ

3. Track system เป็นการใช้ระบบอัตโนมัติเข้ามาช่วย วิธีนี้จะมีสิ่งปนเปื้อนน้อยเพราะจะเป็นระบบสายพาน และมีความแน่นอนในการให้ความร้อนสูงกว่า แต่ราคาค่อนข้างสูงเมื่อเทียบกับกระบวนการอื่นๆ



(a) Convection oven

(b) Hot plate

รูปที่ 2.14 แสดงแบบจำลองของอุปกรณ์ที่ใช้ในกระบวนการ Prebaking

2.5.3 กระบวนการ Exposure

หลังจากการ Prebaking แล้วต่อไปจะเป็นกระบวนการ Exposure ซึ่งเป็นการฉายแสงในรูปแบบของลวดลายที่ต้องการไปบนแผ่น wafer เพื่อทำการสร้างลวดลายลงบนฟิล์มโฟโตเรซิส ซึ่งไม่อาจเห็นรูปแบบของลวดลายหลังจาก Exposure โดยจะเป็นลักษณะของ Latent image จะสามารถสังเกตได้จากลวดลายหลังจากกระบวนการ Develop เท่านั้น ปัจจัยที่เป็นตัวกำหนดคุณภาพของกระบวนการนี้คือ

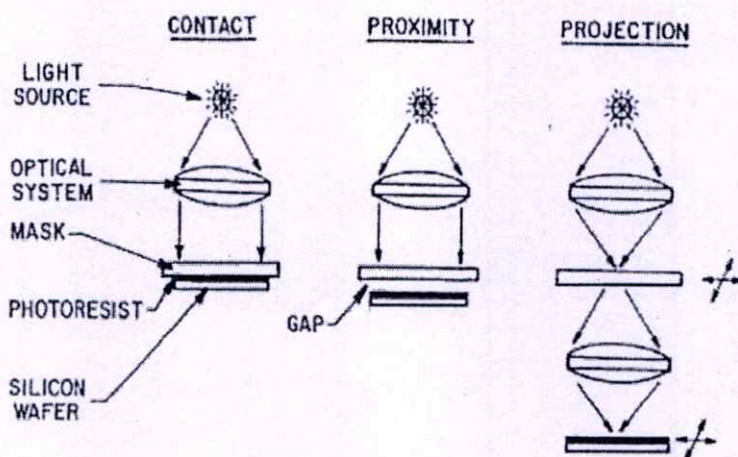
- ประสิทธิภาพของเครื่องมือที่ใช้งาน
- ปฏิกริยาทั้งทางกายภาพและทางเคมีระหว่างแสงที่ฉายกับ โครงสร้างของโฟโตเรซิส
- คุณภาพของ mask

เทคนิคที่ใช้ในกระบวนการ Exposure มีหลายวิธีด้วยกันดังนี้

1. Contact printing วิธี Exposure แบบนี้จะยึดหน้า mask ให้ติดกับแผ่นเวเฟอร์ ภาพที่ได้จะมีความคมชัดสูงมาก แต่จะมีปัญหาเกี่ยวกับหน้า mask จะเกิดรอยขีดข่วนหรือคราบของ โฟโตเรซิส ลักษณะของภาพที่ได้จะเป็นอัตราส่วน 1:1 เมื่อเทียบกับต้นแบบ

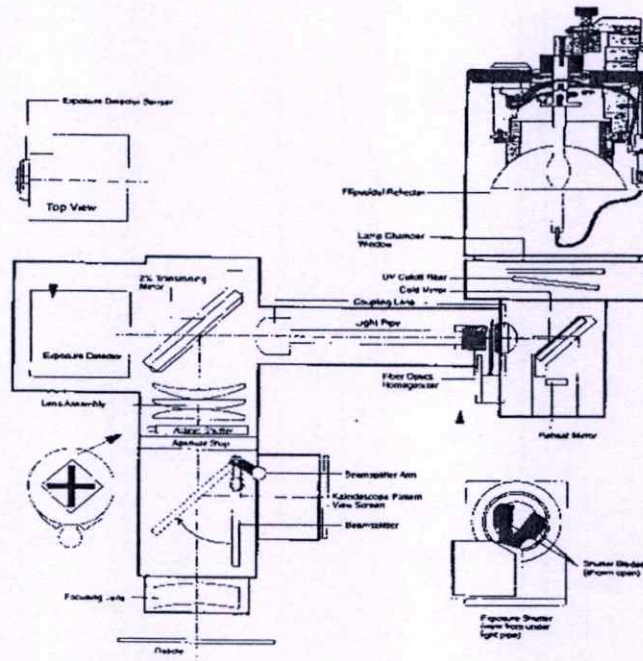
2. Proximity printing วิธีนี้จะยกหน้า mask ให้เหนือจากแผ่นเวเฟอร์ประมาณ 10 -25 ไมครอน วิธีนี้จะเป็นการช่วยรักษาหน้า mask ได้ดีกว่าแบบแรก แต่ความคมชัดของภาพจะน้อยกว่า เพราะเกิดการเลี้ยวเบนของแสง ทำให้บริเวณส่วนขอบของภาพบนเวเฟอร์เบลอ ลักษณะของภาพที่ได้จะเป็นอัตราส่วน 1:1 เมื่อเทียบกับต้นแบบ

3. Projection printing วิธีนี้จะใช้ระบบเลนส์ที่ซับซ้อนเข้ามาช่วย ซึ่งจะทำให้ภาพมีความคมชัดมาก ในขณะที่เดียวกันการสร้างหน้า mask เพื่อมาใช้กับวิธีนี้ไม่จำเป็นต้องเท่ากับขนาดของภาพที่ต้องการเพราะใช้ระบบเลนส์ในการปรับภาพ แต่ความคมชัดเท่าเดิม อัตราส่วนของหน้า mask กับภาพที่ได้อาจเป็นได้ถึง 10:1 วิธีนี้มีประโยชน์มากในแง่ของการผลิตเพราะไม่ต้องเสียเวลา



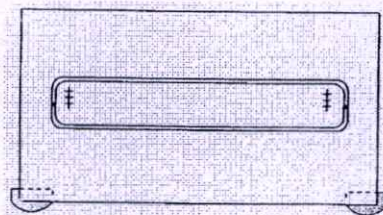
รูปที่ 2.15 แสดงแบบจำลองระบบของกระบวนการ Exposure ในรูปแบบต่างๆ

ในการสร้างลวดลายบน mask ให้มีขนาดเท่ากับภาพจริง และในเทคโนโลยีในปัจจุบันสามารถทำหน้า mask เพียงหน้าเดียวแล้วใช้วิธีการ step-and-repeat ทำให้ไม่ต้องยุ่งยากในการสร้างแบบให้มีจำนวนเท่ากับจำนวนภาพที่ต้องทำในเวเฟอร์ ทำให้ได้ทุกงานที่ออกมาได้มีลักษณะเหมือนกับต้นแบบ และใช้ระบบอัตโนมัติในการ scan ลวดลายทำให้มีความรวดเร็ว ในโรงงานผลิตหัวอ่านเขียนได้ใช้เครื่อง Exposure ที่เป็นเครื่อง Stepper สามารถผลิตงานออกมาได้เป็นจำนวนมาก



รูปที่ 2.16 แสดงระบบโดยรวมของเครื่อง Stepper

เนื่องจากวิธีนี้เป็นวิธีที่แหล่งกำเนิดแสงอยู่ห่างจากแผ่นเวเฟอร์ในปัจจุบัน เครื่อง Stepper จึงต้องมีระบบของการ Alignment ที่มีประสิทธิภาพด้วย การ Alignment จะทำให้ตำแหน่งของหน้า mask กับตำแหน่งบนเวเฟอร์ที่ต้องการสร้างลวดลายตรงกัน



รูปที่ 2.17 แสดงแบบของกระจก mask ขนาด 3 x 5 นิ้ว



รูป 2.18 แสดงตำแหน่งบนบาร์ที่ใช้ในการ Alignment

ในที่นี้จะได้อธิบายถึงขั้นตอนสั้นๆ ของระบบ Stepper ที่ใช้ในกระบวนการ Exposure จากรูปที่ 2.17 เป็นกระจก mask โดยที่ลวดลาย ABS จะมีอยู่จำนวน 20 Slider ด้วยกัน ขนาดของ mask จะเท่ากับงานที่ต้องการ Exposure (1:1) ขนาดของกระจก 3 นิ้ว x 5 นิ้ว เคลือบกระจกด้วยโครเมียม ในกระบวนการนี้จะไม่ทำการ Exposure ทั้ง Bar เนื่องจากป้องกันผลกระทบที่เกิดจากบาร์ที่โค้ง ทำให้ภาพที่ออกมาไม่สม่ำเสมอทั่วทั้งบาร์ จึงได้แก้ปัญหาโดยทำการ Exposure ทีละครั้งบาร์ ส่วนการ Alignment เพื่อจะทำการ Exposure บนบาร์จะใช้กล้องไมโครสโคป จับภาพ pole tip ที่ส่วน P2 ของ Slider ที่ 1 และ Slider ที่ 22 ดังรูปที่ 2.18 จากนั้นเครื่องปรับระดับให้เสมอกัน ก่อนที่จะทำการฉายแสงลงไป และจะทำซ้ำไปเรื่อยๆ จนถึงบาร์ที่ 38 จากนั้นจึง เริ่มต้น Alignment ที่ Slider ตำแหน่งที่ 23 และ 43 แล้วทำการ Exposure จนทั่วทั้ง Tip แสงที่ฉายเป็นแสงยูวี ในย่าน g-line ที่ 436 nm ส่วนแสงในย่านอื่นๆ แสดงได้ดังตารางที่ 2.3

ตารางที่ 2.3 แสงย่านอื่นๆ ที่ใช้ในกระบวนการ Exposure

Type	Source	Wavelength
Near UV	Mercury arc lamp	g-line at 436 nm i-line at 365 nm
Mid UV	Xenon arc lamp	290 – 350 nm
Deep UV	Excimer laser	200 – 290 nm

อย่างไรก็ตามยังมีปัจจัยสำคัญซึ่งต้องกำหนดเมื่อถึงกระบวนการคือ พลังงานในการ Exposure การที่จะทำให้เกิดปฏิกิริยาได้อย่างสมบูรณ์พอดีต้องกำหนดพลังงานให้เหมาะสม สำหรับการทดลองนี้อยู่ที่ 700 mJ/cm^2 ถ้าให้พลังงานมากเกินไปจะทำให้โฟโตริซิส บริเวณที่ไม่ต้องการให้สัมผัสกับแสงเกิดปฏิกิริยาทำให้ภาพที่ได้มีขนาดใหญ่ แต่ถ้าให้น้อยเกินไปจะเห็นผลกระทบในช่วงการ Develop เนื่องจากมีบางส่วนที่ยังไม่ทำปฏิกิริยาทำให้โฟโตริซิส หลงเหลืออยู่ในบริเวณที่ต้องการเอาฟิล์มออก ซึ่งถือว่าเป็นจุดบกพร่องของชิ้นงาน

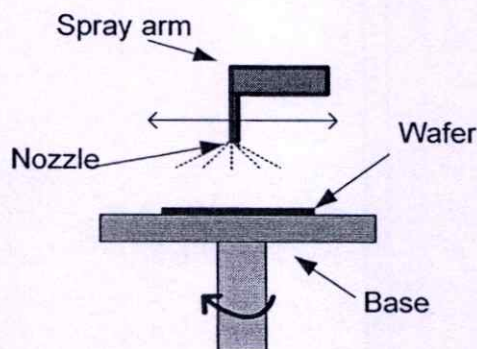
2.5.4 กระบวนการ Develop

กระบวนการนี้เป็นการกำจัดฟิล์มส่วนที่ไม่ต้องการออกหลังจากการ Exposure ซึ่งหลังจากนั้นลวดลายของหน้า mask จะปรากฏให้เห็นได้อย่างชัดเจน อย่างไรก็ตามกระบวนการนี้มีความซับซ้อนมากเพราะมีผลต่อคุณภาพของลวดลาย สิ่งที่สำคัญที่ควรคำนึงถึงสำหรับการพัฒนากระบวนการนี้คือ

- ต้องไม่ทำลายโครงสร้างของฟิล์มเดิมหมายความว่าตัว Developer ต้องไม่ทำปฏิกิริยากับ โฟโตรีซิส ส่วนที่ต้องคงอยู่ ซึ่งเป็นสิ่งที่สำคัญมากในการเลือก Developer
 - ต้องใช้เวลาการ Develop ให้สั้นที่สุดเนื่องจากสารละลาย Developer บางชนิดทำปฏิกิริยากับวัสดุจึงต้องทำในเวลาอันรวดเร็ว และป้องกันไม่ให้ออกซิเจนแทรกซึมเข้าไปในชั้นงานอีกด้วย
 - ต้องทำให้งานที่ออกมามีรูปแบบที่ผิดเพี้ยนไปให้น้อยที่สุด
 - ในกระบวนการควรมีความสม่ำเสมอทั่วทั้งเวเฟอร์ซึ่งสำคัญในเชิงของการผลิต
- กระบวนการ Develop สามารถแบ่งได้เป็น 2 ประเภทคือ

1. Dry Development เป็นการใช้พลาสมาในการกำจัดฟิล์มในส่วนที่ไม่ต้องการออก ส่วนใหญ่จะใช้ระบบ Oxygen reactive ion etching เป็นการใชความแตกต่างในอัตราการกัดของวัสดุ 2 ชนิดที่ไม่เท่ากัน

2. Liquid Development เป็นการใช้น้ำของเหลวมาเป็นตัวทำลายฟิล์มในส่วนที่ไม่ต้องการออก เป็นการใชความแตกต่างของการละลายในวัสดุ 2 ชนิดที่ไม่เท่ากัน ซึ่งทั้งโฟโตรีซิส ชนิดบวกและโฟโตรีซิส ชนิดลบ ต่างก็ใช้สารละลายชนิดต่างกัน โดยกลไกของโฟโตรีซิส ชนิดบวกเมื่อผ่านกระบวนการ Exposure บริเวณที่ถูกแสงจะมีการเปลี่ยนแปลงโครงสร้างทางเคมีให้เป็นส่วนที่สามารถละลายในเบสได้ ในที่นี้ใช้ตัว Developer ที่เป็นสารละลาย KOH



รูปที่ 2.19 แสดงระบบของการ Develop ที่เป็นระบบอัตโนมัติ

ในโรงงานอุตสาหกรรมผลิตหัวอ่านเขียนใช้เครื่อง SSEC ในการ Develop ซึ่งลักษณะจะมี แขนกลฉีด สารละลาย KOH ให้เป็นฝอยและที่ฐานรองจะหมุนอยู่ตลอดเพื่อให้เข้าทำปฏิกิริยาได้อย่างทั่วถึง แสดงได้ดังรูปที่ 2.19 สิ่งที่ต้องควบคุมก็คือการควบคุมเวลา อุณหภูมิของน้ำยา ความเข้มข้นของสารละลาย ความชื้น และความสะอาดของชิ้นงาน

2.5.5 กระบวนการสกัด(Etching)

หลังจากกระบวนการ Develop เพื่อทำการเปิดบริเวณที่ต้องการสกัด ต่อมาชิ้นงานจะถูกนำไปสกัดเพื่อเอาเนื้องานออก เป็นการสร้างลวดลาย 3 มิติขึ้นมาบนวัสดุจริงๆ[5] การสกัดแบ่งออกได้เป็น 2 ประเภทใหญ่ๆคือ

1. การสกัดแบบเปียก (Wet etching) เป็นการสกัดโดยอาศัยสารเคมีที่เป็นสารละลายทำปฏิกิริยากับผิวชิ้นงาน

2. การสกัดแบบแห้ง (Dry etching) หรือเรียกอีกชื่อว่า plasma etching เป็นการสกัดโดยใช้พลาสมาหรือไอออนเป็นตัวสกัดผิวหน้าชิ้นงาน ระบบการสกัดแบบนี้ค่อนข้างซับซ้อนเพราะต้องมีแหล่งกำเนิดไอออนและอุปกรณ์เร่งไอออน รวมทั้งระบบการสกัดแบบนี้ส่วนใหญ่จะเป็นระบบ Load lock เพื่อไม่ให้มีสิ่งปนเปื้อนเข้าไปในระบบแต่ผลที่ได้มีความแน่นอนกว่าการสกัดแบบเปียกมากเมื่อใช้ในงานที่มีขนาดเล็กมาก[7] และต้องการความสมบูรณ์ของลวดลายมากกว่า ตารางที่ 2.4 แสดงข้อเปรียบเทียบเพิ่มเติมระหว่างกระบวนการสกัดแบบแห้งและแบบเปียก

ตารางที่ 2.4 แสดงข้อเปรียบเทียบระหว่างการสกัดแบบเปียกและการสกัดแบบแห้ง

	การสกัดแบบแห้ง	การสกัดแบบเปียก
วิธีการ	- ใช้การชนของไอออน - ใช้ Chemical reactive	- ใช้สารละลายเคมี
สภาพแวดล้อมในการสกัด	- สูญญากาศ	- ที่ความดันบรรยากาศ
ข้อดี	- สามารถสกัดลวดลายที่มีขนาดเล็ก(ต่ำกว่า 1 ไมครอน) ได้ - มีความสม่ำเสมอในการสกัดสูง	- ราคาถูกและง่ายต่อการทำ - ให้อัตราการสกัดที่สูง - selectivity สูง
ข้อเสีย	- ราคาแพงและทำออกมาได้ครั้งละจำนวนน้อย - selectivity ต่ำ - ต้องระวังการแผ่รังสี	- ให้ผลในการสกัดไม่ดีสำหรับลวดลายขนาดต่ำกว่า 1 ไมครอน - มีความเสี่ยงต่อสารเคมีสูง - ต้องระวังความชื้นจากน้ำ
ทิศทางการสกัด	Anisotropic	Isotropic

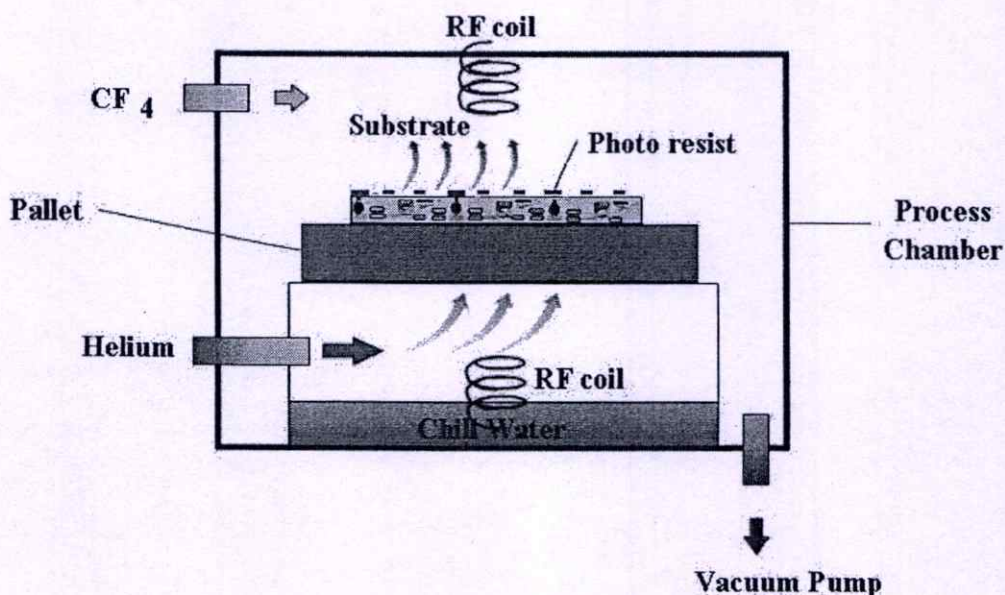


รูปที่ 2.20 แสดงทิศทางของการสกัดรูปแบบต่างๆ[7]

ในที่นี้จะกล่าวถึงระบบของการสกัดแบบแห้งที่นิยมใช้ทั้งในงานวิจัยและงานอุตสาหกรรม เนื่องจากปัจจุบันลวดลายมีขนาดเล็กลงมากจนการสกัดแบบเปียกไม่สามารถสนองความต้องการได้ ซึ่งระบบของการสกัดแบบแห้งสามารถแบ่งออกได้ดังต่อไปนี้

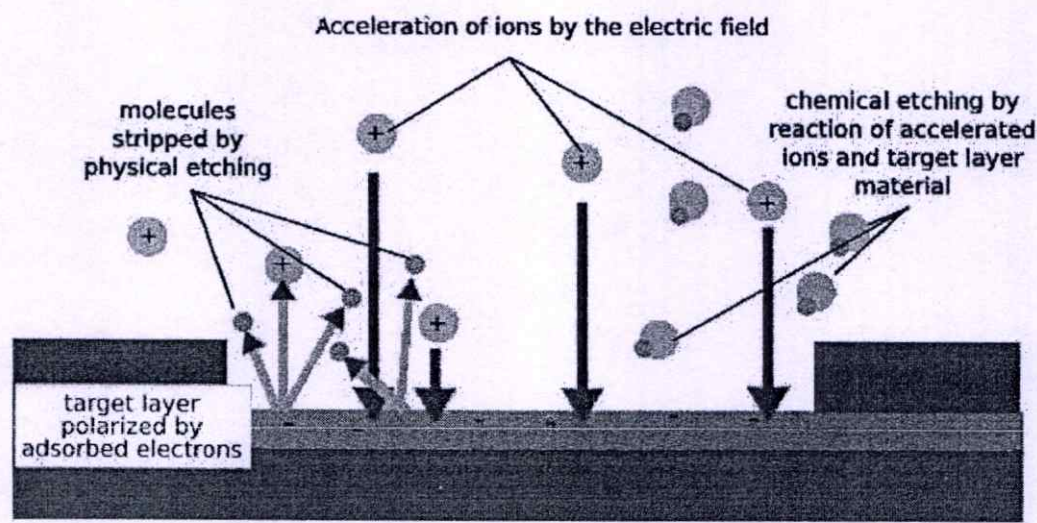
1. ระบบ Reactive ion etching เป็นการสกัดโดยใช้พลาสมาที่ไวต่อการเกิดปฏิกิริยา โดยที่พลาสมาจะถูกกระตุ้นด้วยคลื่นแม่เหล็กไฟฟ้า (RF power) ที่ความดันต่ำ ไอออนที่มีพลังงานสูงในพลาสมาจะทำปฏิกิริยากับพื้นผิวของวัสดุ เครื่องมือสำหรับระบบ RIE จะประกอบไปด้วยแชมเบอร์ โดยภายในแชมเบอร์จะมีฐานรองเวเฟอร์อยู่ด้านล่างและคอราน์ ก๊าซจะไหลเข้าแชมเบอร์โดยผ่านรูเล็กๆ ที่ด้านบนของแชมเบอร์และด้านล่างของแชมเบอร์จะมีท่อดูดอากาศออกซึ่งจะต่อกับปั๊มสุญญากาศ

การทำงานของระบบนี้จะเริ่มจากการทำให้โมเลกุลของก๊าซสั้นโดยป้อนความถี่ในย่าน RF (13.56 MHz) เมื่อโมเลกุลเกิดการสั่นก็จะเกิดการชนกันของโมเลกุลทำให้ โมเลกุลแตกตัวออกเป็นไอออน และจะถูกเหนี่ยวนำให้เกิดพลาสมาในที่สุด



รูปที่ 2.21 แสดงระบบ Reactive ion etching

ซึ่งในแต่ละรอบของการสั่น โดรนใช้สนามไฟฟ้าอิเล็กตรอนจะถูกเร่งขึ้นและลงภายในแชนเบอ์ อิเล็กตรอนบางส่วนจะไปกระทบกับผนังของแชนเบอ์และฐานรองเวเฟอร์ ในเวลาเดียวกัน ไอออนที่มีขนาดใหญ่ก็จะเคลื่อนที่สัมพันธ์กับสนามไฟฟ้าแต่ละเคลื่อนที่ได้้น้อยกว่าซึ่งจะรวมกลุ่มกันเป็นหมอก เมื่ออิเล็กตรอนถูกดูดซับไปโดยผนังของแชนเบอ์ซึ่งต่อลงกราวด์และจะถูกกำจัดออกไปจากระบบจะไม่มีผลกระทบใดๆ ต่อระบบ



รูปที่ 2.22 แสดงกลไกของการสกัดแบบ Reactive ion etching

อย่างไรก็ตามอิเล็กตรอนบางส่วนจะสะสมอยู่บนฐานรองซึ่งแยกส่วนกับผนังแชนเบอ์ทำให้เกิดสภาพเป็นลบบางไฟฟ้าต่อมาจะเพิ่มขึ้นเรื่อยๆจนมีศักย์ไฟฟ้าหลายร้อยโวลต์ และเนื่องจากความต่างศักย์ระหว่างไอออนบวกที่อยู่ในแชนเบอ์กับฐานรองมีมากดังนั้น ไอออนบวกจึงเคลื่อนที่ลงมาสกัดชิ้นงาน กลวิธีในการสกัดจะแบ่งเป็นสองส่วนคือ ไอออนจะไปสร้างพันธะเคมีกับผิวของวัสดุและจะหลุดออกจากผิวเนื่องจากเกิดการถ่ายเทพลังงานจลน์ ซึ่งทิศทางการสกัดจะมีความเป็น Anisotropic กว่าวิธีการสกัดแบบเปียกอยู่มาก

2. ระบบ Ion beam etching เป็นการสกัดโดยใช้ไอออนของก๊าซพุงชนอะตอมของวัสดุ ซึ่งไอออนที่ใช้จะผลิตมาจากส่วนที่เป็นแหล่งกำเนิดพลาสมาแล้วถูกสนามไฟฟ้าเร่งไปชนที่บริเวณผิวของวัสดุ เกิดการทำลายแรงยึดเหนี่ยวระหว่างอะตอมวัสดุ ทำให้อะตอมของวัสดุหลุดออกมา วิธีนี้ต้องกระทำในระบบที่มีความดันต่ำทิศทางการสกัดมีความเป็น Anisotropic สูงมาก รายละเอียดเทคนิคและวิธีการนี้จะได้กล่าวถึงในหัวข้อถัดไป

2.6 ระบบการสกัดแบบ Ion beam etching

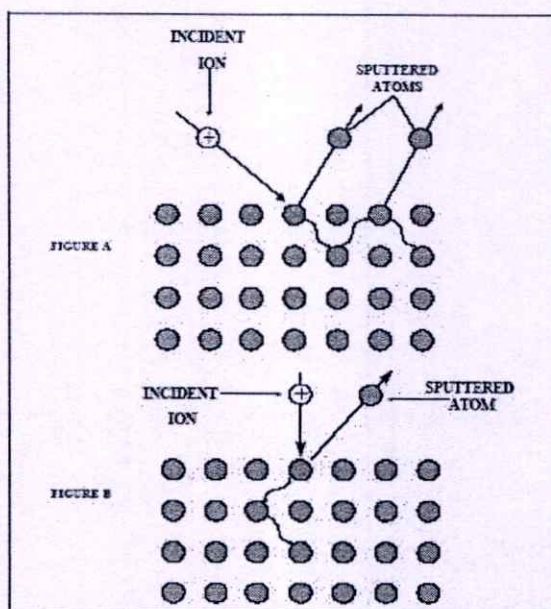
ในกระบวนการสกัดแบบแห้งจะเป็นการสกัดวัสดุในส่วนที่ไม่ต้องการออกโดยใช้ไอออนของก๊าซ ซึ่งไอออนที่ใช้จะผลิตมาจากส่วนที่เป็นแหล่งกำเนิดพลาสมาแล้วถูกสนามไฟฟ้าเร่งไปชนที่บริเวณผิวของวัสดุ เกิดการทำลายแรงยึดเหนี่ยวระหว่างอะตอมวัสดุ ทำให้อะตอมของวัสดุหลุดออกมา ระบบของ Ion beam นั้นต้องทำในสภาวะความดันต่ำมาก (น้อยกว่า 10 mTorr) เนื่องจากไม่ต้องการให้ไอออนสูญเสียพลังงานจลน์ขณะวิ่งไปชนที่พื้นผิว ในเมื่อวิธีนี้ต้องใช้พลังงานจลน์เพียงอย่างเดียวในการสกัดจึงต้องให้พลังงานกับไอออนสูงกว่าวิธีอื่นๆ ข้อดีของการสกัดระบบนี้คือ

- ทิศทางการสกัดจะมีความเป็น Anisotropic มากเนื่องจากการชนทางกายภาพ เพราะฉะนั้นทิศทางการชนจึงขึ้นกับทิศทางที่ไอออนพุ่งชนเพียงอย่างเดียว[8]

- วัสดุที่จะถูกสกัดแยกส่วนจากแหล่งกำเนิดพลาสมาทำให้สามารถปรับปรุงเงื่อนไขของการสกัดและเงื่อนไขของแหล่งกำเนิดพลาสมาได้อย่างอิสระซึ่งแตกต่างจากการสกัดแบบ RIE ซึ่งทั้งหมดจะอยู่ในระบบเดียวกัน [9]

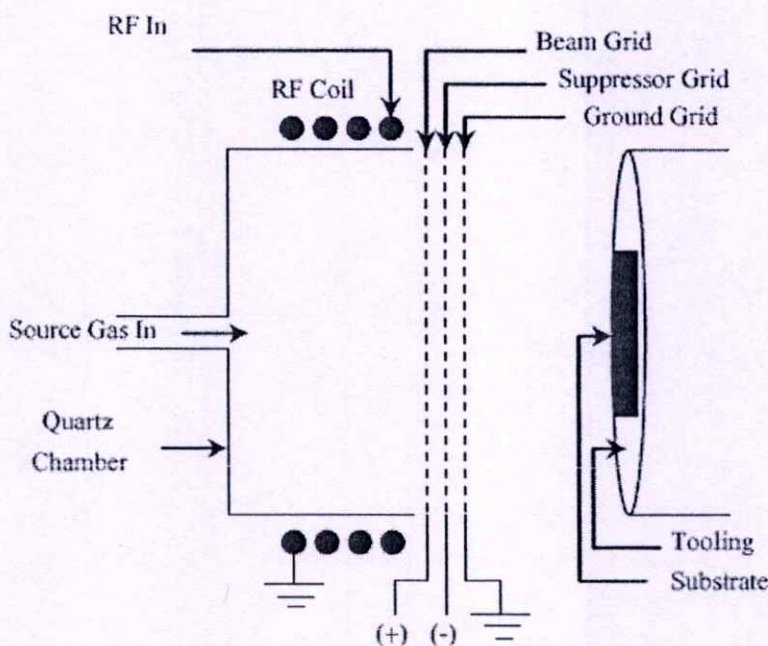
- กระบวนการนี้ใช้ก๊าซอาร์กอนเป็นแหล่งกำเนิดไอออนซึ่งอาจจะเรียกได้ว่าเป็นกระบวนการสกัดทางกายภาพที่บริสุทธิ์ก็ได้ [10]

- ด้วยวิธีการสกัดแบบกายภาพดังนั้นจึงสกัดแบบไม่เลือกวัสดุที่นำมาสกัด ซึ่งจะมีประโยชน์มากสำหรับการสกัดวัสดุที่ต่างชนิดกัน [11]



รูปที่ 2.23 ลักษณะการชนของไอออนบนกบหน้าวัสดุที่มุมต่างๆกัน[3]

- เนื่องจากเป็นระบบที่ไม่มีปฏิกิริยาเคมีเข้ามาเกี่ยวข้องดังนั้นจึงง่ายในการเตรียมชิ้นงานก่อนการสกัดและยังสามารถควบคุมอัตราการสกัดได้ง่ายกว่าวิธีอื่นๆ อย่างไรก็ตามอัตราการสกัดนั้นจะขึ้นอยู่กับเงื่อนไขหลายอย่างเช่นความเร็วของไอออน ,ความหนาแน่นของไอออน ,มุมที่ใช้ และชนิดของวัสดุ เป็นต้น[11]



รูปที่ 2.24 แสดงส่วนประกอบของเครื่อง Ion beam etching รุ่น 350s

เครื่องมือสกัดที่ใช้ในงานทดลองได้แก่เครื่อง Ion beam etching ของบริษัท Veeco รุ่น 350s ซึ่งมีส่วนประกอบ ดังนี้

1. Quartz chamber เป็นส่วนที่ใช้เป็นแหล่งกำเนิดพลาสมา ภายในมีช่องนำก๊าซผ่านเข้ามา
2. RF Coil จะพันอยู่รอบ Quartz chamber ทำหน้าที่เหนี่ยวนำและกระตุ้นให้อะตอมของก๊าซแตกตัวเป็นไอออน เส้นสนามไฟฟ้าจะมีทิศตั้งฉากรอบๆสนามแม่เหล็กและขนานกับผนังของ Quartz chamber โดยที่ประสิทธิภาพในการแตกตัวเป็นไอออนจะมีประสิทธิภาพมากเนื่องจากอิเล็กตรอนจะเกิดขึ้นจากการเดินทางเป็นวงกลมและมีโอกาสสูงที่จะไปชนกับอะตอมของก๊าซและทำให้อะตอมของก๊าซแตกตัว

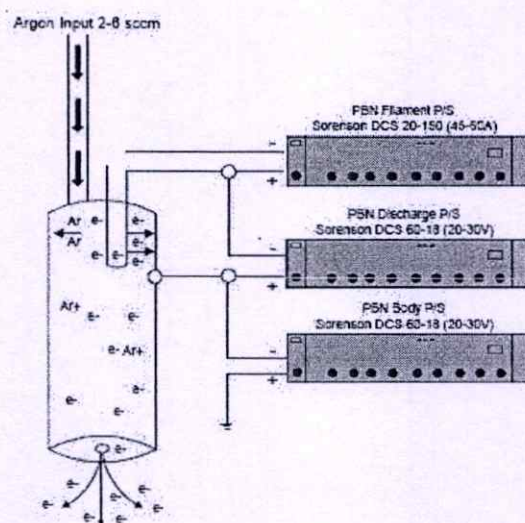
3. Grid จะเป็นอุปกรณ์ช่วยในการปรับทิศทางของไอออนบีม โดยในเครื่อง 350s นี้จะประกอบไปด้วย grid 3 ชั้นด้วยกันดังนี้

- Beam grid จะถูกป้อนศักย์ไฟฟ้าบวกช่วงระหว่าง 500 -1000 โวลต์

- Suppressor grid จะอยู่ถัดจาก Beam grid 1 มิลลิเมตร ให้ศักย์ไฟฟ้าเป็นลบทำงานร่วมกับ Beam grid ในการสร้างสนามไฟฟ้าเพื่อดึงไอออนบวกออกจากพลาสมาแล้วเร่งไอออนผ่านช่องของ grid พุ่งเข้าไปชนเป้า

- Ground grid เพื่อป้องกัน Suppressor grid โดยไม่ให้ไอออนบวกที่เกิดจากการสกัดเข้ามาเกาะ

4. Plasma Bridge Neutralizer (PBN) จะติดตั้งอยู่นอก quartz chamber มีหน้าที่สองประการคือเพื่อป้องกันประจุบวกที่จะมาเกาะบนผิวของวัสดุและลดประจุบวกที่เกิดจากไอออนบีมภายในแชมเบอร์แต่ไม่ได้สร้างอะตอมที่เป็นกลางให้เกิดขึ้นในไอออนบีม

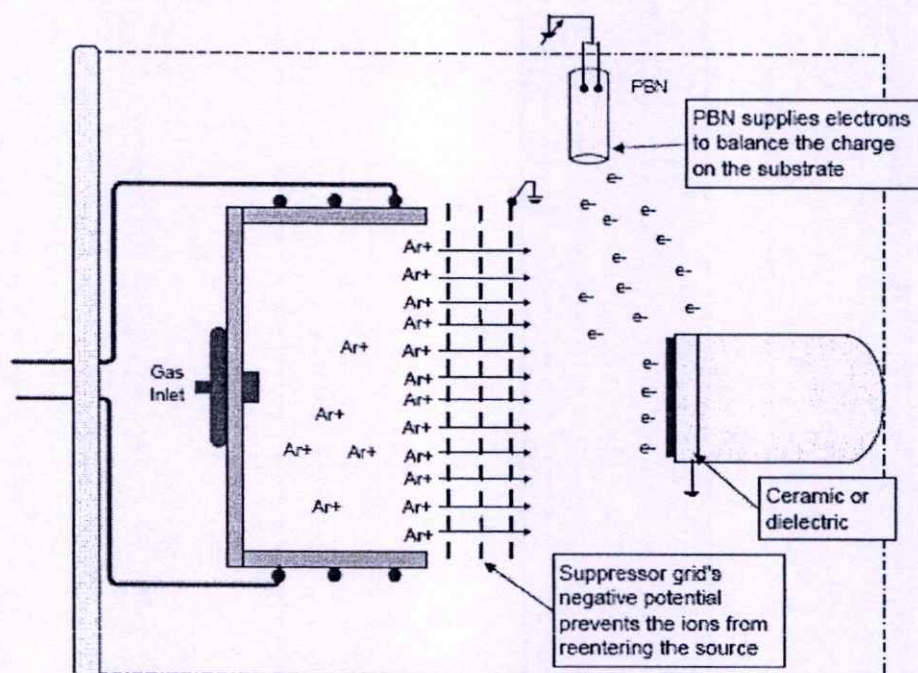


รูปที่ 2.25 แสดงโครงสร้าง PBN ในเครื่อง Ion beam etching

5. Substrate holder เป็นส่วนที่ใช้ยึดวัสดุสามารถปรับมุมในการสกัดได้ และฐานรองมีก๊าซฮีเลียมเหลวไหลเวียนเพื่อหล่อเย็น

กระบวนการสกัดโดยเมื่อ Slider ถูกไหลลัดเข้าไปในแชมเบอร์แล้วนั้นต้องมีการดูดอากาศที่อยู่ใน Chamber ออกเสียก่อนโดยให้มีความดันใน Chamber อยู่ที่ประมาณ 7×10^{-6} torr หลังจากนั้นแหล่งจ่ายก๊าซจะทำการจ่ายก๊าซอาร์กอนผ่านเข้าไปในแชมเบอร์ จนในแชมเบอร์มีความดันสูงขึ้นจนความดันอยู่ที่ 3×10^{-4} torr เมื่อก๊าซถูกจ่ายเข้าไปในระบบ Source แล้วนั้นแหล่งจ่ายภายใน Source ก็จะมีมีความดันมากกว่าในแชมเบอร์ โดยมี Grid กั้นอยู่และเมื่อก๊าซถูกจ่ายเข้าไปใน Source แล้วจะมี PBN ที่ทำหน้าที่จ่ายอิเล็กตรอนเหล่านี้จะวิ่งเข้าไปใน Source chamber โดยถูกดึงดูดด้วยศักย์ไฟฟ้าที่ Beam Grid และอิเล็กตรอนเหล่านี้จะวิ่งเข้ามาใน Source เพื่อที่จะช่วยให้ก๊าซเกิดการ

แตกตัวที่เร็วขึ้นและ Coil จะช่วยเร่งให้อะตอมของก๊าซแตกตัวอีกด้วยโดย Coil ที่พันอยู่รอบๆ Quartz Chamber ก็จะทำให้เกิด Plasma ภายใน Quartz Chamber เพราะว่าอะตอมของก๊าซ



รูปที่ 2.26 แสดงระบบการสกัดของเครื่อง 350s

เกิดการสั่นด้วยความถี่ RF ที่ป้อนเข้าไปเมื่ออะตอมเกิดการสั่นมากๆ ทำให้ก๊าซเกิดการแตกตัวเมื่อก๊าซแตกตัวเป็น Plasma ก็จะมีทั้งไอออนอาร์กอนบวกและอิเล็กตรอนจากนั้นเมื่อความดันภายใน Quartz Chamber มากพอและพร้อมกับ Beam Grid และ Suppressor Grid ถูกป้อนศักย์ไฟฟ้าด้วย Beam Grid ก็จะจับอิเล็กตรอนที่เกิดจาก Plasma ไว้และความต่างศักย์ระหว่าง Beam Grid และ Suppressor Grid ที่เกิดขึ้นโดยสนามไฟฟ้านั้นจะดึงไอออนบวกจาก Plasma แล้วเร่งออกไปโดยผ่านช่อง Grid ทั้ง 3 และส่วนของ Plasma Bridge Neutralizer (PBN) ก็จะจ่ายอิเล็กตรอนออกมาเพื่อบีบให้ไอออนบวกที่ถูกเร่งออกไปนั้นเป็นลำและก็จะช่วยในการลดค่าประจุที่ตกค้างอยู่ที่ Substrate ด้วยส่วน Grid ที่ 3 นั้นหรือ Ground Grid จะเป็นตัวป้องกันการ Sputtering อะตอมจากฐานรองเข้ามายัง Beam Grid และ Suppressor Grid

ก่อนการสกัดต้องมีการกำหนดค่าตัวแปรต่างๆซึ่งมีผลต่อกระบวนการสกัด ดังนั้นการเลือกใช้เงื่อนไขให้เหมาะสมในการสกัดจึงเป็นสิ่งที่จะต้องคำนึงถึง ต่อคุณภาพของงานหลังจากการสกัด โดยปัจจัยที่มีผลต่อการสกัดมีดังนี้

- พลังงานของไอออนบีมและความเร็วของไอออนจะขึ้นกับความเข้มของสนามไฟฟ้าที่เกิดขึ้นระหว่าง Beam Grid และ Suppressor Grid ซึ่งทั้งนี้จะมีผลต่ออัตราการสกัดคือเมื่อเพิ่มพลังงานไอออนมากขึ้นอัตราการสกัดจะเพิ่มขึ้น

- ความหนาแน่นของไอออนที่ชนกับเป้าจะขึ้นกับความหนาแน่นของกระแสที่จ่ายให้ไอออนบีม นั่นคือความหนาแน่นของกระแสจะขึ้นกับความหนาแน่นของไอออนในพลาสมาแชมเบอร์ ความหนาแน่นของกระแสไอออนบีมจะมีหน่วยเป็น mA/cm^2 ในกรณีของการจำกัดพลังงานไอออนให้คงที่ อัตราการสกัดจะเป็นสัดส่วนโดยตรงกับความหนาแน่นของกระแสไอออนบีม

- มุมของการสกัดจะเป็นมุมที่ไอออนชนกับผิวชิ้นงาน แต่ละวัสดุต่างก็มีอัตราการสกัดที่มุมต่างๆ แตกต่างกันไป การปรับเปลี่ยนมุมสามารถปรับ โดยการหมุนฐานรองวัสดุ และนอกจากนั้นมุมของการสกัดยังจะมีผลต่อคุณสมบัติพื้นผิวที่ทำการสกัดด้วย

- การควบคุมอุณหภูมิฐานรอง ความร้อนที่เกิดขึ้นบนผิวฐานรองจะเป็นสัดส่วนโดยตรงกับพลังงานไอออนและความหนาแน่นของกระแสไอออนบีม แต่อย่างไรก็ตามสามารถควบคุมได้โดยการไหลเวียนของก๊าซฮีเลียมเหลวที่บริเวณฐานรอง ซึ่งจะมีระบบการไหลเวียนที่สัมพันธ์กับคุณสมบัติทางความร้อนของฐานรองและขึ้นกับวิธีการใช้เครื่องไอออนบีม

- ความเสียหายที่เกิดกับบริเวณผิวหน้าของวัสดุจะเกิดขึ้นเมื่อให้พลังงานกับไอออนมากเกินไป การป้องกันความเสียหายนี้ต้องเลือกพลังงานที่เหมาะสมให้กับวัสดุแต่ละชนิด ซึ่งสามารถปรับตั้งโดยการควบคุม Beam voltage

บทที่ 3

การวิเคราะห์และเทคนิคที่ใช้ในการวัด

การศึกษาหรือวิเคราะห์สมบัติทางพื้นผิวของหัวอ่าน-เขียนข้อมูล จำเป็นต้องใช้เทคนิคการวิเคราะห์และเทคนิคการวัดหลาย ๆ ชนิด ที่มีหลักการทำงานที่แตกต่างกันออกไป แล้วนำข้อมูลที่ได้มาวิเคราะห์ร่วมกัน เพื่อนำไปสู่การหาปัจจัยที่มีผลต่อคุณสมบัติทางพื้นผิวที่ได้ของหัวอ่าน-เขียนข้อมูลในแง่ต่าง ๆ รวมทั้งเข้าใจสาเหตุและที่มาของผลกระทบที่เกิดขึ้น ซึ่งในปัจจุบันในวงการอุตสาหกรรมการผลิตหัวอ่านเขียนนั้น เทคนิคที่ใช้ในการวัดมีประสิทธิภาพมากขึ้นเพื่อรองรับกับอุปกรณ์ใหม่ๆที่จะผลิตขึ้นมาในอนาคต นอกจากนั้นการวิเคราะห์ในเชิงอุตสาหกรรมนั้นยังมีส่วนของวิธีทางสถิติเข้ามาเกี่ยวข้องเพื่อวิเคราะห์ข้อมูลในเชิงคุณภาพอีกด้วย ซึ่งข้อมูลต่างๆที่วิเคราะห์มานั้นจะเป็นส่วนหนึ่งในการหาข้อสรุปสำหรับนำไปพัฒนาสายงานผลิตให้มีประสิทธิภาพดียิ่งขึ้นต่อไป

3.1 การกำหนดจุดและตำแหน่งในการวัด

ในงานทดลองของโรงงานอุตสาหกรรมส่วนใหญ่ที่มีจำนวนของชิ้นงานตัวอย่างผลิตออกมามีจำนวนหนึ่งเป็นจำนวนมาก เช่นกรณีของอุตสาหกรรมการผลิตหัวอ่านเขียน เมื่อผ่านกระบวนการครั้งหนึ่งค่อนหนึ่งเงื่อนไซ ต้องใช้ทั้ง Tip ซึ่ง Tip หนึ่งนั้นมีจำนวนของชิ้นงานมากกว่า 1500 ตัว ถ้าต้องการผลในเชิงคุณภาพของการผลิตที่ดีที่สุด จะต้องวัดและวิเคราะห์ทั้งหมดทุกตัว ในทางสถิติเรียกว่า Full factorial แต่จริงๆแล้วในทางปฏิบัตินั้นไม่สามารถทำได้เนื่องจากเสียเวลาและทรัพยากรเป็นอันมาก ฉะนั้นจำเป็นต้องมีการสุ่มชิ้นงานตัวอย่างสำหรับแทนประชากรของชิ้นงานตัวอย่างทั้งหมด วิธีทางสถิติจึงมีส่วนช่วยในการพิจารณาว่าจะนำชิ้นงานชิ้นใด ณ บริเวณใดมาตรวจสอบ เรียกว่า Acceptance sampling plan ซึ่งกระบวนการนี้อยู่ในวิธีที่เรียกว่า SPC

3.1.1 ความหมายและขั้นตอนโดยสังเขปของ SPC (Statistical Process Control)

SPC (Statistical Process Control) เป็นวิธีทางสถิติที่ใช้วิเคราะห์ข้อมูลเพื่อใช้ในการควบคุมและเพิ่มประสิทธิภาพให้กับกระบวนการผลิต ทั้งยังเป็นกระบวนการที่ใช้ในการลดความแปรปรวนที่เกิดขึ้นกับชิ้นงาน ในที่นี้จะกล่าวถึงขั้นตอนของกระบวนการ SPC โดยสังเขปดังนี้

1. วิเคราะห์กระบวนการผลิต
2. ทำการลดปัจจัยหรือตัวแปรที่มีผลต่อความแปรปรวนของกระบวนการผลิต

3. ศึกษาขอบเขตที่เป็นไปได้
4. วางแผนเพื่อสุ่มตัวอย่างมาวิเคราะห์
5. นำผลที่ได้จากการทดลองมาเข้ากระบวนการทางสถิติโดยการสร้าง Control Chart
6. ศึกษาความเป็นไปได้ของกระบวนการผลิต ถ้าต้องมีการเปลี่ยนแปลงเงื่อนไขของการผลิตอันนำไปสู่การลดความแปรปรวนของระบบ
7. ทำการแก้ไขปัญหาและพัฒนาประสิทธิภาพของกระบวนการผลิต
8. ทำการลดจำนวนของชิ้นงานที่นำมาทดลอง
9. ถ้าต้องการสังเกตผลกระทบจากปัจจัยตัวอื่นๆอีกให้ย้อนกลับไปทำตั้งแต่ ข้อ 1 อีกครั้ง จะเป็นการทำให้กระบวนการมีความเสถียร (Stability) มากขึ้น

3.1.2 การสุ่มตัวอย่างมาวิเคราะห์ที่สามารถยอมรับได้ (Acceptance sampling)

ขนาดของตัวอย่างที่จริงแล้วไม่ได้กำหนดแน่นอนตายตัว โดยทั่วไปจำนวนตัวอย่างต้องมีจำนวนมากพอ เพื่อให้มีโอกาสพบของเสียในตัวอย่าง และยังคงสัมพันธ์กับแผนภูมิควบคุมซึ่งนำมาใช้สำหรับศึกษาและควบคุมกระบวนการผลิตที่ซ้ำๆกัน หลักการสุ่มตัวอย่างที่ดีควรให้ขีดจำกัดล่างมีค่าอยู่เหนือศูนย์สำหรับแผนภูมิควบคุมที่เป็นลักษณะแบบ Attribute ดังนั้นจึงต้องการขนาดการสุ่มตัวอย่างที่มีจำนวนมาก ส่วนแผนภูมิควบคุมที่เป็นแบบ Variable ขนาดของตัวอย่างที่ใช้จะเป็นจำนวนที่ทำให้มีโอกาสน้อยที่สุดที่อยู่ภายใต้การกระจายของตัวอย่าง ดังนั้นขนาดของตัวอย่างจึงต้องมีจำนวนน้อย จะเป็น 4 ,5 ,6 หรือ 10 แต่ที่นิยมใช้คือขนาดของตัวอย่างเท่ากับ 5 ในที่นี้จะใช้การสุ่มตัวอย่างที่ใช้กับแผนภูมิควบคุมที่เป็นแบบ Variable เป็นหลัก

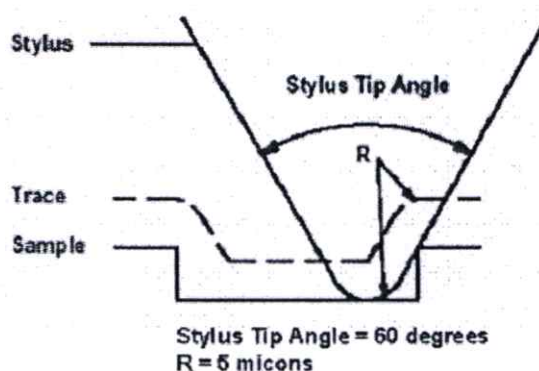
3.1.3 การสุ่มตัวอย่างบน Tip มาวิเคราะห์

ในกรณีของอุตสาหกรรมการผลิตหัวอ่านเขียน จะใช้บริเวณที่เรียกว่า SPC Bar ซึ่งเป็นตำแหน่งบาร์ที่ 2,13,23 และ 31 บน Tip ดังนั้นจึงมีจำนวนตัวหัวอ่านเขียนที่ใช้รวมทั้งหมด 160 ตัว ซึ่งในการผลิตจริงก็ถูกนำมาใช้เป็นกลุ่มตัวแทนของหัวอ่านเขียนทั้ง Tip

3.2 เครื่องมือที่ใช้ในการวิเคราะห์และตรวจสอบคุณลักษณะของพื้นผิว

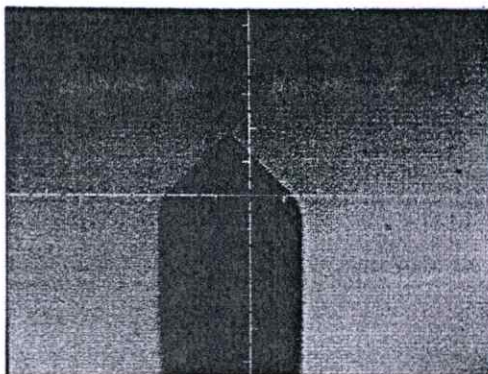
3.2.1 การวิเคราะห์ด้วยเครื่อง TENCOR Profiler

การวิเคราะห์ด้วยเครื่อง TENCOR Profiler เป็นเทคนิคการวิเคราะห์ลักษณะของพื้นผิวที่นิยมใช้ในงานอุตสาหกรรมทางเซมิคอนดักเตอร์และไมโครอิเล็กทรอนิกส์ กลไกการทำงานของ Profiler ประเภทนี้จะเป็นลักษณะของการใช้หัว Stylus ซึ่งมีปลายแหลมที่เราเรียกว่า Tip ทำการลากไปบนพื้นผิวของวัสดุที่ต้องการวัดแล้วอ่านข้อมูลออกมาในลักษณะของ profile ซึ่งอาจเป็นระดับความสูงต่ำของพื้นผิวในระยะของหัว Stylus ที่ทำการลาก เนื่องจากการวัดแบบนี้หัว Stylus จะมีการสัมผัสกับพื้นผิว ดังนั้นวิธีนี้จึงเป็นการวัดแบบ Destructive measurement โดยที่วัสดุที่ทำการวัดอาจจะเกิดความเสียหายจากการวัดได้ ในทางอุตสาหกรรมการผลิตหัวอ่านเขียนข้อมูลนั้นการใช้เครื่องมือ Profiler จะเป็นการทดสอบคุณสมบัติของพื้นผิวในบริเวณ SPC location เท่านั้น เมื่อพิจารณาถึงส่วนของปลาย Tip จะมีขนาดเล็กมากโดยที่ใช้ทำการทดลองจะมีขนาดรัศมี 5 ไมครอน และมุมของปลาย Tip จะอยู่ที่ 60 องศา รูปที่ 3.1 แสดงมิติของ Tip บน Stylus



รูปที่ 3.1 แสดงมิติของ Tip ในเครื่อง Profiler

ระบบกลไกของเครื่อง Profiler จะมีขั้นตอนการทำงานดังนี้คือ เมื่อหัว Tip ลากผ่านพื้นผิวที่มีระดับไม่เท่ากัน เช่นเซอร์ตรวจจับการเคลื่อนไหวของ Stylus จากนั้นจะสร้างสัญญาณนาฬิกาขึ้นมาและจะถูกขยายสัญญาณให้ชัดเจน แล้วนำไปเปรียบเทียบกับแรงดันอ้างอิง และได้สัญญาณที่ต้องแปรตามการเปลี่ยนแปลงแอมพลิจูดหรือการเลื่อนเฟสจากการออสซิลเลทของโพรบ หลังจากนั้นจึงถูกแปลงออกมาเป็นสัญญาณดิจิทัลเพื่อนำมาใช้วิเคราะห์และแสดงผลออกมาในรูป profile ของพื้นผิวซึ่งหนึ่งครั้งของหัว Tip ที่สัมผัสไปบนพื้นผิวของวัสดุจะแปลงออกมาในรูปของหนึ่งจุดข้อมูล (Data point)



รูปที่ 3.2 แสดงหัว Tip ขณะลากผ่านพื้นผิวของวัสดุ

ส่วนโหมดของการสแกนพื้นผิวของเครื่อง Profiler นี้จะแบ่งออกได้เป็น 2 ประเภทคือ

1. Single scan ซึ่งจะทำให้การสแกนพื้นผิวโดยใช้หัว Stylus ลากเพียงครั้งเดียวแล้วนำข้อมูลที่ได้ออกวิเคราะห์ผล วิธีนี้เหมาะสำหรับวัสดุที่มีพื้นผิวที่แปรปรวนเสียหายได้ง่าย

2. Multi scan จะเป็นลักษณะของการสแกนพื้นผิวหลายๆครั้งโดยใช้หัว Stylus ลากที่บริเวณเดิมหลายๆครั้ง หลังจากนั้นจึงนำข้อมูลทั้งหมดมาหาค่าเฉลี่ย ค่าเบี่ยงเบนมาตรฐาน ค่าสูงสุด ค่าต่ำสุด วิธีนี้จะให้ความแม่นยำของข้อมูลสูงเหมาะสำหรับวัสดุที่พื้นผิวมีความแข็งแรงพอสมควร

ปัจจัยที่เกี่ยวข้องสำหรับการตรวจสอบลักษณะของพื้นผิวด้วยเครื่อง Profiler มีดังนี้คือ

1. Scan length เป็นระยะที่หัว Stylus จะเคลื่อนที่ไปบนพื้นผิวของวัสดุ ซึ่งในเครื่อง Profiler นี้จะอยู่ในระดับไมครอน ซึ่งในที่นี้จะเคลื่อนที่ไปที่ทิศทางขวามือได้สูงสุด 10 มิลลิเมตร และทิศทางซ้ายมือได้สูงสุด 2 มิลลิเมตร

2. Number of scans ในโหมดของ multi scan สามารถวัดซ้ำ ณ ตำแหน่งเดิมได้สูงสุด 10 ครั้ง ซึ่งข้อมูลที่วัดได้จะถูกนำมาวิเคราะห์ทางสถิติอีกครั้งออกมาเป็นรูปแบบของค่าเฉลี่ย ค่าเบี่ยงเบนมาตรฐาน ค่าสูงสุด และค่าต่ำสุด ทั้งนี้จะเป็นการกำจัด noise ออกจากการทดลองอีกด้วย

3. Scan speed ความเร็วของการสแกนอยู่ในช่วงของ 2 ถึง 200 ไมครอนต่อวินาที ซึ่งสามารถเลือกได้ ถ้าเลือกความเร็วของการสแกนสูง ลักษณะของ profile จะมีความหยابเนื่องจากหัว Stylus จะลากไปบนพื้นผิวด้วยความรวดเร็วจะเหมาะสำหรับการเก็บข้อมูลที่ไม่ต้องการรายละเอียดของพื้นผิวมากนัก ยกตัวอย่างการวัด step หลังจากการสกัด ซึ่งในทางตรงข้ามถ้าอัตราการสแกนช้าก็จะสามารถเก็บข้อมูลรายละเอียดของพื้นผิวได้ดีกว่าซึ่งจะเหมาะสำหรับการวิเคราะห์ความขรุขระของพื้นผิว เช่นการวัดความเรียบของพื้นผิวเวเฟอร์

4. Sampling rate ขณะที่ทำการวัดหัว Stylus จะมีการสั่นในแนวดิ่ง ซึ่งจะอยู่ในช่วงของ 50 ถึง 1000 เฮิรตซ์ ซึ่งข้อมูลที่วัดได้มาจะมีความละเอียดเพียงใดจะขึ้นอยู่กับ sampling rate ที่ใช้ด้วย

5. Scan time จะถูกกำหนดโดยคำนวณจาก Scan length Scan Speed และจำนวนของการสแกน ซึ่งจะแสดงได้ดังสมการด้านล่าง

$$\text{Scan time} = (\text{Number of scans} \times \text{Scan length}) / \text{Scan speed} \quad (3.1)$$

6. Scan direction ทิศทางของการสแกนเนื่องจากเครื่อง profiler นี้สามารถตั้งสแกนได้ในแนวแกน x เท่านั้นคือสแกนไปทางซ้ายหรือขวา

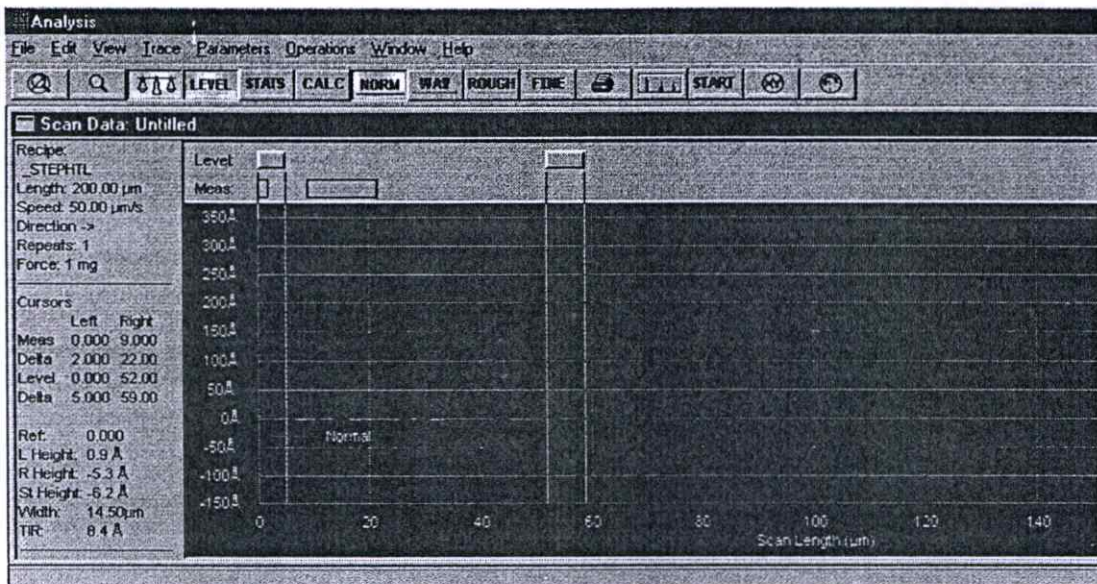
7. Resolution จะถูกกำหนดโดยคำนวณจาก Scan speed และ Sampling rate

$$\text{Resolution} = \text{Scan speed} / \text{Sampling rate} \quad (3.2)$$

นอกจากนี้จำนวน Data Point ที่ใช้ในการสแกนยังบ่งบอกถึงจำนวนครั้งของ Stylus ที่สัมผัสกับพื้นผิวของวัสดุในระยะทางที่ Stylus ได้ลากไป แสดงได้โดยสมการที่

$$\text{Total data point} = (\text{Sampling rate} \times \text{Scan size}) / \text{Scan speed} \quad (3.3)$$

8. Applied force เป็นแรงที่ Tip ซึ่งเป็นส่วนปลายของ Stylus กระทำไปบนพื้นผิวของวัสดุ ในที่นี้จำเป็นต้องปรับให้เหมาะสมกับพื้นผิวของวัสดุ ซึ่งอาจทำให้เกิดรอยขีดขูดได้ถ้าให้แรงมากเกินไป กระบวนการโฟโตลิโทกราฟีในโรงงานอุตสาหกรรมที่มีการวัดความหนาของน้ำยาไวแสงนั้นมักใช้อยู่ที่ 0.2 ถึง 0.5 มิลลิกรัม



รูปที่ 3.3 แสดงการวิเคราะห์ข้อมูลโดยใช้เครื่อง Profiler

ในการทดลองนี้ได้ใช้เครื่อง profiler ในการตรวจสอบในขั้นตอนของการวัดความหนาของน้ำยาไวแสง และการวัด depth ของพื้นผิวของหัวอ่านซึ่งทำจากวัสดุชนิดเซรามิก นอกจากนี้เครื่อง Tencor profiler ยังใช้ในการวัด stress ของพื้นผิววัสดุได้ด้วยแต่ในการทดลองนี้ไม่ได้นำมาใช้ตรวจสอบ

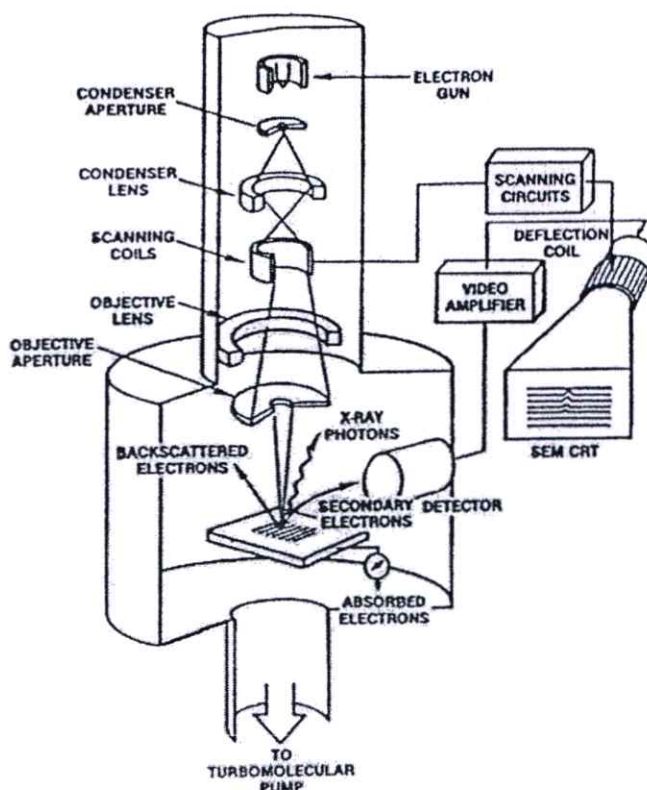
3.2.3 การวิเคราะห์ด้วยเทคนิค Scanning Electron Microscope (SEM)

การวิเคราะห์ด้วยจุลทรรศน์อิเล็กตรอนแบบส่องกวาด (Scanning Electron Microscope) หรือ SEM เป็นเทคนิคที่ใช้ในการวิเคราะห์พื้นผิวและศึกษาโครงสร้างของวัสดุ มีการใช้งานอย่างกว้างขวางในหลายสาขาวิชา โดยเทคนิค SEM นี้มีจุดเด่นที่สำคัญอยู่ 2 ประการคือ

1. สามารถให้รูปที่มีความชัดลึกสูง (High depth of field)
2. สามารถให้กำลังเชิงระยะสูง (High spatial resolution)

ซึ่งส่วนประกอบและลักษณะการทำงานของเครื่อง SEM แสดงไว้ในรูปที่ 3.4

จากรูปข้างต้นจะแสดงให้เห็นได้ว่า ในส่วนบนสุดของรูปจะเป็นแหล่งกำเนิดอิเล็กตรอน (Electron source) หรือที่เรียกว่า “ปืนอิเล็กตรอน” (Electron gun) ซึ่งนับได้ว่าเป็นหัวใจของ SEM โดยทำหน้าที่เป็นแหล่งกำเนิดอิเล็กตรอนที่สามารถผลิตกระแสจำนวนมากโดยตัววัสดุเองจะต้องมีความเสถียรภาพและภาคตัดขวางของลำอิเล็กตรอนที่ส่งออกไปจะต้องเป็นจุดเล็กๆ ซึ่งปืนอิเล็กตรอนที่นิยมใช้ในปัจจุบันมี 4 ประเภทคือ



รูปที่ 3.4 แผนภาพหลักการทำงานของเครื่อง SEM

1. แบบหลอดทั้งสเดน เป็นปืนอิเล็กตรอนที่นิยมใช้มากที่สุดเนื่องจากมีราคาถูกแล้วไม่ต้องการสภาพสุญญากาศมากนัก
2. แบบผลึก LaB_6 (Lanthanum Hex boride Crystal) เป็นปืนอิเล็กตรอนที่ให้แสงสว่างสูงกว่าแบบหลอดทั้งสเดนประมาณ 10 เท่า มีอายุการใช้งานที่ยาวนานกว่าและต้องการสภาพสุญญากาศที่พิเศษกว่าด้วย
3. แบบโวลด์ฟิลด์อิมิชชัน (Cold Field Emission Source) เป็นปืนอิเล็กตรอนที่ให้แสงสว่างสูงกว่าแบบหลอดทั้งสเดนและแบบผลึก LaB_6 นอกจากนี้ยังสามารถทำงานได้ในอุณหภูมิห้อง
4. แบบช็อตกฟิลด์อิมิชชัน (Schotky Field Emission Source) เป็นปืนอิเล็กตรอนที่คล้ายกับแบบโวลด์ฟิลด์อิมิชชันแต่ต่างกันตรงที่จะต้องทำงานที่อุณหภูมิสูงประมาณ 1800 เคลวิน และทำจากเคลือบ ZnO บนระนาบผลึก (100) ของทั้งสเดน

ตารางที่ 3.1 แสดงลักษณะเฉพาะของแหล่งกำเนิดอิเล็กตรอนแบบต่างๆ ที่ความต่างศักย์เร่ง 20 kV

Source	Normalized brightness (A/cm ² -sr)	Lifetime (hr)	Source Size (nm)	Energy Spread (eV)	Beam Current Stability
W	10 ⁴	200	15000	1.5-2.5	1%
LaB ₆	10 ⁵	1000	5000	1.3-2.5	1%
Cold FE W(310)	2 x 10 ⁷	2000	2.5	0.3-0.7	5%
Shottky FE, ZrO/W(100)	10 ⁷	2000	2.5	0.5-0.7	1%

อิเล็กตรอนจากแหล่งกำเนิดจะถูกเร่งให้เคลื่อนที่ลงมาตามคอลัมน์ด้วยความต่างศักย์ในช่วง 1-30 KV โดยทิศทางการเคลื่อนที่ของอิเล็กตรอนจะถูกควบคุมโดยเลนส์แม่เหล็กไฟฟ้า (Electromagnetic lens) จำนวน 2 ชุดหรือมากกว่า ส่วนปริมาณของอิเล็กตรอนจะถูกควบคุมโดยแอฟเพอร์เจอร์ (aperture) ซึ่งเป็นช่องเปิดที่มีขนาดต่างๆกันตามลักษณะการใช้งานเลนส์คอนเดนเซอร์อันแรก (First condenser lens) ซึ่งเป็นส่วนที่ทำหน้าที่บีบลำอิเล็กตรอน ที่ส่งมาจากแหล่งกำเนิดให้มีพื้นที่หน้าตัดเล็กลง ส่วนเลนส์วัตถุ (Objective lens) ซึ่งเป็นเลนส์อันสุดท้ายนั้นจะทำหน้าที่โฟกัสลำอิเล็กตรอนไปตกกระทบกับผิวของวัตถุเป้าหมาย โดยมีคอยล์กวาดรูป (Scanning coil) ทำหน้าที่กวาดลำอิเล็กตรอนบนผิววัตถุในกรอบสี่เหลี่ยม คล้ายกับการกวาดรูปบนจอโทรทัศน์ เมื่อลำอิเล็กตรอนไปตกกระทบกับผิวของวัตถุจะเกิดอันตรกิริยาขึ้นภายในวัตถุ และจะให้สัญญาณต่างๆออกมา ซึ่งสัญญาณต่างเหล่านี้จะถูกตรวจจับและถูกนำไปแสดงผลในที่สุด

ลักษณะการใช้งาน SEM(SEM Operational Mode)

ในทางปฏิบัติลักษณะการใช้งาน SEM อาจแบ่งได้เป็น 4 กลุ่มหลักดังนี้

1. High Resolution Mode จะใช้สำหรับงานที่ต้องการกำลังขยายสูงๆ จึงต้องการจุดตกกระทบขนาดเล็กๆ
2. High Depth of Field Mode สำหรับงานที่ต้องการความชัดลึกสูง จึงต้องการใช้มุมคอนเวอร์เจนซ์ของลำอิเล็กตรอนเล็กๆ
3. High Current Mode สำหรับการวิเคราะห์ห้องค์ประกอบทางเคมีโดยใช้เอกซ์เรย์ต้องการปริมาณกระแสมากๆ เพื่อเพิ่มความไว (sensitivity) ต่อการตรวจวัดปริมาณของธาตุ
4. Low Voltage Mode นอกเหนือไปจากลักษณะการใช้งาน SEM ในแบบต่างๆข้างต้น ในปัจจุบัน SEM บางแบบโดยเฉพาะแบบฟิลด์ อิมิชชัน(FE-SEM) ยังสามารถทำงานได้ดีที่ค่า Kv ต่ำ (ต่ำกว่า 5 kV) เนื่องจากการใช้ SEM ในลักษณะนี้จะได้ข้อมูลพื้นผิวดีขึ้นอีกทั้งลดปริมาณประจุสะสมบนผิว(charging) จึงทำให้สามารถศึกษาตัวอย่างที่ไม่นำไฟฟ้าได้โดยไม่ต้องเคลือบด้วยคาร์บอนหรือโลหะ

ตารางที่ 3.2 สรุปพารามิเตอร์ของ SEM ที่ต้องควบคุมสำหรับการทำงานใน 3 ประเภทแรก

Operational Mode	First Condenser Lens	Spot Size	Working Distance	Final Aperture Size
High Resolution	แรง	เล็ก	สั้น	พอเหมาะ
High Depth of field	อ่อน	ใหญ่	ยาว	เล็ก
High Current	อ่อน	ใหญ่	พอเหมาะ	ใหญ่

3.4 การวิเคราะห์ด้วย Atomic Force Microscope (AFM)

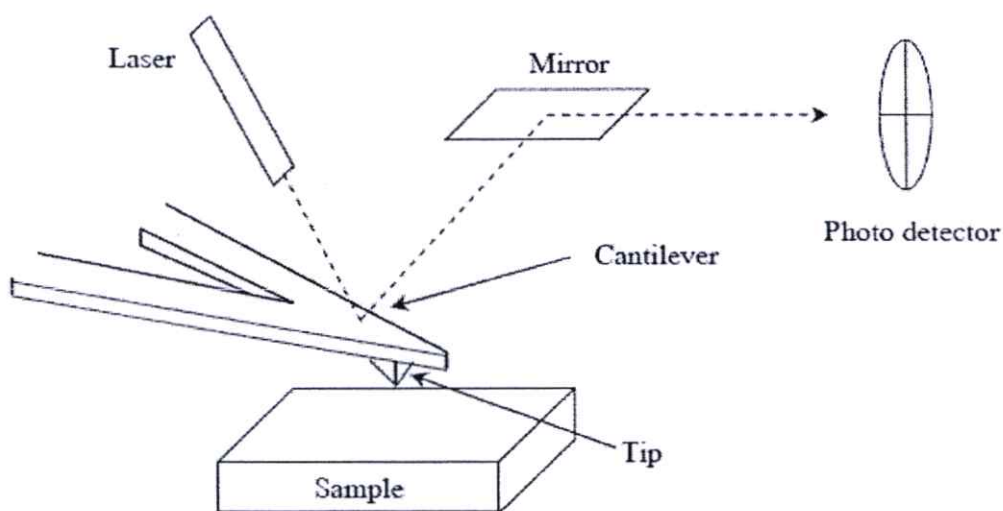
มีเทคนิคหลายวิธีที่ใช้แสดงลักษณะรายละเอียดของพื้นผิว เริ่มตั้งแต่การใช้เลนส์ขยายและการใช้กล้องจุลทรรศน์ในปลายศตวรรษที่ 18 จนกระทั่งศตวรรษที่ 20 มีการพัฒนาใช้เทคนิคของอิเล็กตรอนและลำไอออน (Ion Beam) จากตารางที่ 3.2 เป็นการเปรียบเทียบเทคนิคการขยายโดยการพิจารณาจากการขยาย สิ่งแวดล้อมขณะใช้งาน ชนิดของภาพและผลเสียต่อชิ้นงาน เทคนิคแรกในตารางขึ้นอยู่กับอนุภาคที่ใช้ในการโฟกัสเช่น โฟตอน อิเล็กตรอน และไอออนที่จะแสดงภาพออกมา และเป็นเทคนิคที่มีข้อจำกัดของความยาวคลื่นช่วงที่สามารถมองเห็นได้ และกล้องจุลทรรศน์อิเล็กตรอน (SEM) จะทำงานเมื่ออยู่ในสุญญากาศเท่านั้น ส่วนเทคนิคสุดท้ายคือ Scanning Probe Microscope เป็นเทคนิคที่สามารถทำงานได้ในหลายสภาวะตัวกลางด้วยกำลังขยายที่สูงกว่าสามารถแสดงข้อมูลด้านความลึกได้และทำลายผิวหน้าชิ้นงานน้อยมาก

ตารางที่ 3.3 การเปรียบเทียบการใช้เทคนิคในการวิเคราะห์พื้นผิวชนิดต่างๆ

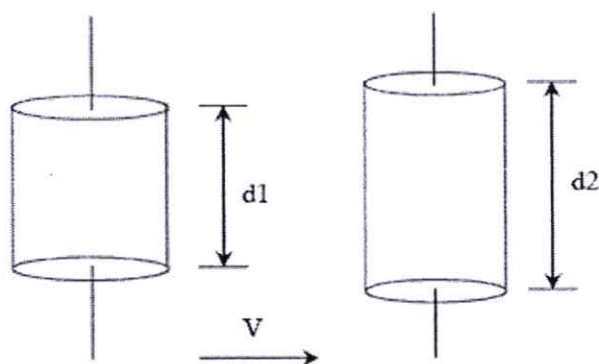
	กำลังขยาย	ตัวกลาง	ภาพ	ผลเสียหาย
ทางแสง	10^3	อากาศ, ของเหลว	2 มิติ	ไม่เสีย
เลเซอร์	10^4	อากาศ	2 มิติ	น้อยมาก
ลำไอออน	10^5	สุญญากาศ	2 มิติ	มาก
SEM	10^6	สุญญากาศ	2 มิติ	มีบ้าง
SPM	10^9	อากาศ, ของเหลว, สุญญากาศ	2 มิติ	น้อยมาก

AFM เป็นชนิดหนึ่งของ Scanning Probe Microscope ซึ่งสามารถสร้างภาพได้ในสามมิติ และทำงานในสุญญากาศที่เป็นอากาศมี Scanning probe, เปียโซอิเล็กทริกเซรามิก (Piezoelectric Ceramics) วงจรไฟฟ้าป้อนกลับและคอมพิวเตอร์สำหรับสร้างและแสดงภาพเป็นส่วนประกอบ

Force Sensor มีลักษณะดังรูปที่ 3.5 วัสดุการหักเหของคานกระเดื่อง (Cantilever) ซึ่งมีเข็ม (Tip) ติดอยู่ที่ปลาย เมื่อคานกระเดื่องเคลื่อนที่ลำแสงจากเลเซอร์จะเคลื่อนที่ตกคร่อมบริเวณทั้งสี่ ส่วนของโฟโตดีเทคเตอร์ การเคลื่อนที่ของคานกระเดื่องนี้สามารถคำนวณได้จากความแตกต่างของความเข้มแสงบนแต่ละส่วนของโฟโตดีเทคเตอร์ตามกฎของ Hooke ($F = -kx$) ซึ่งความสัมพันธ์ระหว่างการเคลื่อนที่ของคานกระเดื่อง (x) และแรงที่ใช้ทำให้เกิดการเคลื่อนที่ (F)

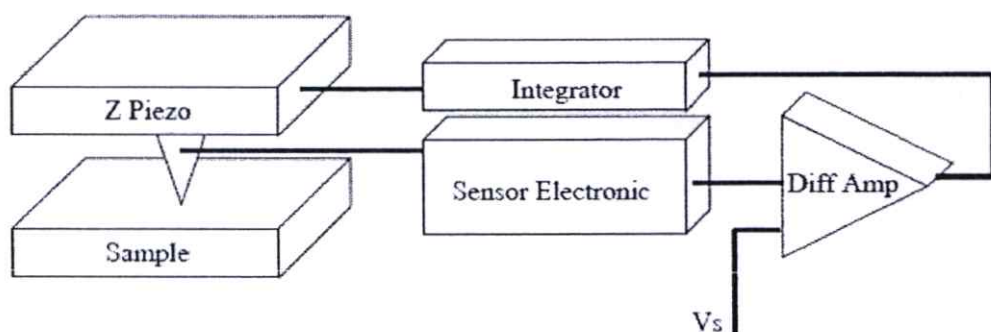


รูปที่ 3.5 แผนภาพการจำลองการวิเคราะห์ด้วย AFM

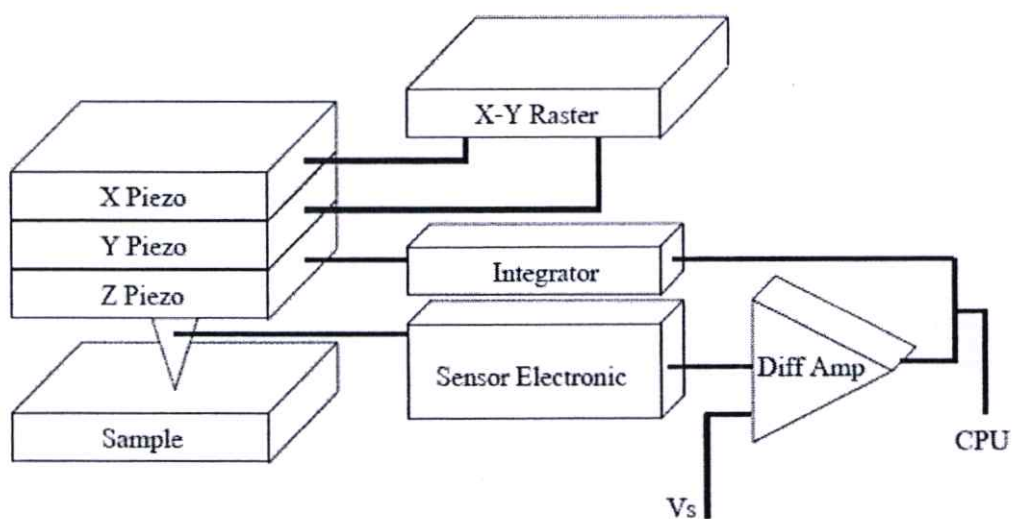


รูปที่ 3.6 การเปลี่ยนแปลงเปียโซอิเล็กทริกเซรามิก (Piezoelectric Ceramics)

เพียโซอิเล็กทริกเซรามิก (Piezoelectric Ceramics) ถูกสร้างขึ้นให้มีการเปลี่ยนแปลงขนาดได้เมื่อให้ศักย์ไฟฟ้า ยกตัวอย่างทรงกระบอกเพียโซอิเล็กทริกเซรามิกในรูปที่ 3.6 จะมีขนาดที่ยาวขึ้นแต่จะมีเส้นผ่าศูนย์กลางลดลงเมื่อมีการให้ศักย์ไฟฟ้า เซรามิกที่ใช้จะมีรูปร่างต่างๆ โดยแต่ละชนิดจะมีสัมประสิทธิ์การขยาย (Expansion Coefficient) เฉพาะตัวซึ่งจะยอมให้เกิดการผิดรูปร่างไปตามศักย์ที่ให้ สัมประสิทธิ์นี้จะอยู่ในช่วงจาก 1 ถึง 3,000 Å / V ด้วยเหตุผลนี้จึงทำให้เซรามิกมีตำแหน่งเข็มที่แม่นยำ ยกตัวอย่างเซรามิกที่มีสัมประสิทธิ์การขยาย 1 Å / V จะมีการเคลื่อนที่ 0.1Å เมื่อถูกกระตุ้นด้วยแหล่งกำเนิดศักย์ 100 mV วงจรอิเล็กทรอนิกส์ป้อนกลับ ประกอบด้วยโพรบ เซนเซอร์ และเพียโซอิเล็กทริกเซรามิกเป็นวงจรถ่ายกลับตำแหน่งของเซนเซอร์ดังรูปที่ 3.7



รูปที่ 3.7 วงจรป้อนกลับ (Feedback Circuit) ของ AFM



รูปที่ 3.8 แผนภาพของ Scanning Probe Microscope (SPM)

เมื่อเซนเซอร์เคลื่อนที่เข้าหาพื้นผิวชิ้นงาน สัญลักษ์ของเซนเซอร์จะเพิ่มขึ้น (Differential Amplifier) จะเปรียบเทียบค่าที่เพิ่มจากเซนเซอร์กับค่าอ้างอิง (V_s) และได้สัญญาณที่ถูกต้องแปรตามการเปลี่ยนแปลงแอมพลิจูดหรือการเลื่อนเฟสจากการออสซิลเลทของโพรบใกล้ชิ้นงานซึ่งจะไปกระตุ้นเปียโซอิเล็กทริกเซรามิก จนกระทั่งเซนเซอร์ถูกดึงออกจากพื้นผิว ระบบของ AFM แสดงดังรูปที่ 3.8 มีการเพิ่มเซรามิกเข้าไปสองชิ้นเพื่อให้เซนเซอร์เสถียรได้ในระนาบ x-y ภาพของพื้นผิวเกิดจากการจับสัญญาณผิดพลาดจากเซนเซอร์เหนือพื้นผิวและสัญญาณจาก Piezodriver ที่รวบรวมจากคอมพิวเตอร์

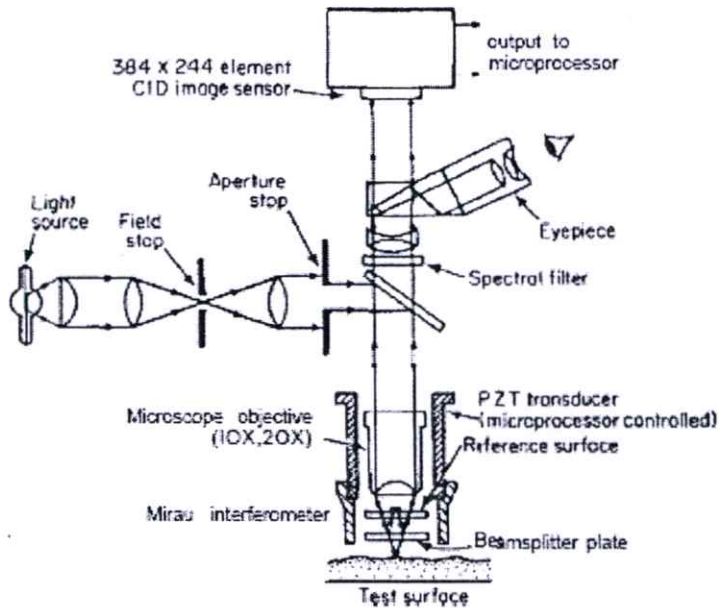
3.2.4 การวิเคราะห์ด้วยเครื่อง Interferometer

ในที่นี้เป็นการตรวจสอบคุณสมบัติของพื้นผิวด้วยเทคนิคการวัดโดยการแทรกสอดของแสง (Interferometric) โดยใช้การเลื่อนเฟส (Phase Shifting) จุดประสงค์ของการวัดโดยใช้เทคนิคนี้คือการหาข้อมูลเกี่ยวกับความสูงต่ำของพื้นผิวและแสดงผลออกมาเป็นภาพจำลองแบบสามมิติ รวมทั้งวิเคราะห์ข้อมูลพื้นผิวออกมาทางสถิติได้ ข้อดีของเทคนิคนี้คือเป็นวิธีการวัดโดยไม่ทำลายผิวหน้าของชิ้นงาน (non-destructive measurement) เหมาะสำหรับการตรวจสอบพื้นผิวที่มีความเปราะบาง ในกระบวนการผลิตทางอุตสาหกรรมหัวอ่านเขียนจะใช้เครื่องมือนี้ในการตรวจสอบคุณภาพเชิงพื้นผิวของวัสดุหลังจากการสกัดพื้นผิวและการตรวจสอบหลังจากการ coating พื้นผิว ซึ่งในการทดลองนี้ได้นำวิธีนี้ไปใช้ในการวิเคราะห์ค่าความขรุขระของพื้นผิวหลังจากการสกัด

ต่อมาจะกล่าวถึงโครงสร้างที่เป็นพื้นฐานของเครื่อง Interferometer โดยทั่วไป จากรูปที่ 3.9 แสดงโครงสร้างของเครื่อง Interferometer ตัวเซนเซอร์ CID ทำหน้าที่รับภาพในระดับ 1/60 วินาทีต่อรูป ที่ความละเอียด 384 pixel x 244 line การเคลื่อนไหวของตัว PZT จะสอดคล้องกับอัตราการเปลี่ยนแปลงของ horizon line ของตัวเซนเซอร์รับภาพ สัญญาณที่ออกมาจากตัวเซนเซอร์รับภาพจะเป็นสัญญาณอะนาล็อกแล้วจะถูกแปลงออกให้เป็นสัญญาณภาพที่เป็นดิจิทัลโดยเก็บเป็นเฟรม ส่วนเฟรมเหล่านี้จะถูกแปลงเป็นสัญญาณดิจิทัลขนาด 8 บิตต่อตัวตรวจจับ ณ เวลา 1/15 วินาที ภาพที่ได้จะเก็บได้ในลักษณะของภาพ interference pattern จำนวน 4 ภาพ โดยที่แต่ละภาพจะมีเฟสที่แตกต่างกัน 90 องศา ซึ่งทั้งหมดนี้จะควบคุมโดยใช้คอมพิวเตอร์รวมทั้งการเคลื่อนที่ของเปียโซอิเล็กทริกด้วย

หนึ่งในสี่ของภาพของการแทรกสอดจะถูกแปลงและเก็บไว้ในหน่วยความจำ หน่วยประมวลผลขนาดเล็กจะทำการคำนวณผลในแต่ละเฟสที่ตีเทคเตอร์แต่ละตัวตรวจจับได้ ซึ่งเฟสนี้จะเป็นสัดส่วนกับความสูงต่ำของพื้นผิวในขณะที่ทำการวัด ณ ตำแหน่งนั้นๆ หลังจากการคำนวณจะแสดงผลออกมาในรูปแบบของอาเรย์ 2 มิติที่ในแต่ละอาเรย์จะเก็บความสูงแต่ละค่าไว้ ต่อมาข้อมูลในอาเรย์จะนำออกมาแสดงผลในเครื่องคอมพิวเตอร์โดยผ่านตัว HPIB ซึ่งเป็นตัวเชื่อมต่อ

ในคอมพิวเตอร์จะแสดงความสูงต่ำของพื้นผิวได้ทั้งในรูปแบบสองและสามมิติและสามารถแบ่งแยกระดับให้เห็นได้ชัดโดยการใช้สีต่างกัน ณ ที่ระดับต่างกัน



รูปที่ 3.9 แสดงโครงสร้างของ Interferometer

เทคนิคการวัดเฟสที่ใช้ในเครื่อง interferometer จะสามารถวัดความสูงต่ำได้อย่างถูกต้อง ซึ่งเป็นไปได้โดยการใช้หลักง่าย ๆ โดยดูที่ผลของการแทรกสอดของแสงและทำการคำนวณหาระยะห่างระหว่างผลคล้าย ต่อมาจะใช้กระบวนการที่เรียกว่า bucket technique โดยที่ความแตกต่างของเฟส α ระหว่างแสงที่แทรกสอดจะเปลี่ยนที่อัตราคงที่ t เป็นเวลาที่ตัวตรวจจับอ่านค่าออกมา ระหว่างในแต่ละครั้งที่ตัวตรวจจับอ่านค่าออกมา เฟส $\phi(x,y)$ จะเปลี่ยนไปทุกๆ 90 องศา ในแต่ละพิกเซลสามารถอย่างง่ายสำหรับความเข้มของลำแสงที่แทรกสอดกันคือ

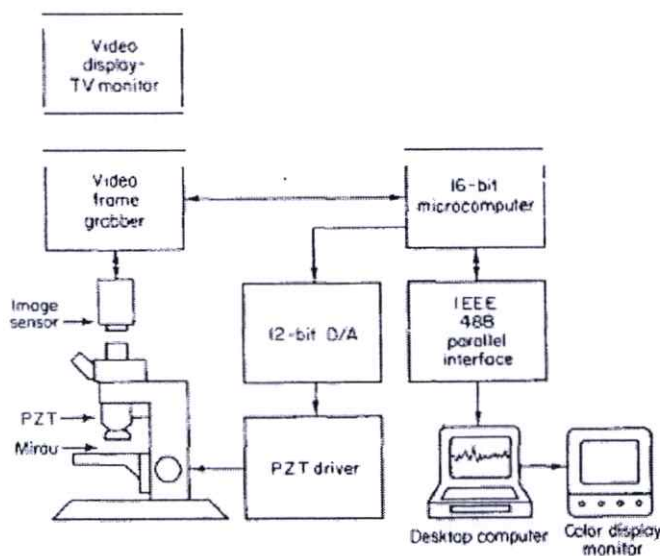
$$I = I_1 + I_2 \cos[\phi(x,y) + \alpha(t)] \quad (3.4)$$

ในขณะที่พจน์แรกเป็นความเข้มเฉลี่ยและพจน์ที่สองเป็นเทอมของการแทรกสอด ถ้าความเข้มถูกอินทิเกรตในขณะที่ $\alpha(t)$ เปลี่ยนจาก 0 ไปยัง $\pi/2$ $\pi/2$ ไปยัง π และ π ไปยัง $3\pi/2$ เมื่อนำมาคำนวณทางคณิตศาสตร์สามารถหาค่าเฟสได้ดังนี้คือ

$$\phi(x,y) = \tan^{-1} [(C(x,y) - B(x,y))/(A(x,y) - B(x,y))] \quad (3.5)$$

การวัดเฟสนี้จะกระทำในตัวตรวจจับแต่ละตัว ซึ่งการลบและการหารจะทำให้ผลของสิ่งรบกวนหักล้างไปจนหมด จากข้อมูลที่ได้มาจากเครื่องวัดที่ได้ค่าความเข้มครึ่งละมา 4 เฟรม ค่าของเฟสจะสามารถคำนวณได้จากสมการด้านบน โดยการหาเฟสครั้งแรกใช้ข้อมูลของสามเฟรมแรก และครั้งที่สองจะคำนวณโดยคิกที่สามเฟรมหลัง หลังจากนั้นจึงนำมาหาค่าเฉลี่ยเพื่อเพิ่มความถูกต้องในการวัดให้มากยิ่งขึ้น ค่าของความสูงในแต่ละจุดสามารถคำนวณได้จากสมการด้านล่าง

$$h(x,y) = (\lambda/4\pi)\phi(x,y) \quad (3.6)$$

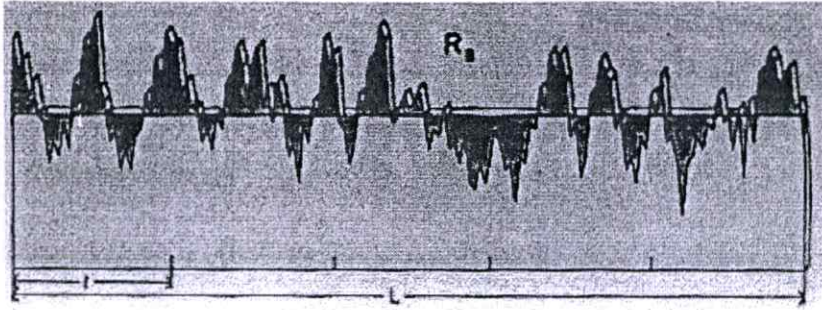


รูปที่ 3.10 แสดงระบบประมวลผลของเครื่อง Interferometer

เครื่อง Interferometer ในที่นี้ใช้ในการวัดความขรุขระบนพื้นผิว อย่างไรก็ตามจะได้อีกว่าถึงการศึกษาความขรุขระมีหลายประเภทซึ่งสามารถยกตัวอย่างได้ดังนี้คือ

1. Arithmetic average roughness (Ra) เป็นค่าความขรุขระเฉลี่ยเลขคณิต จากรูปที่ 3.11 จะเป็นการหาพื้นที่ที่อยู่ระหว่าง roughness profile กับเส้นเฉลี่ย หรือถ้ากล่าวในแบบนิยามทางคณิตศาสตร์ก็คือค่าอินทิกรัลของค่าสัมบูรณ์ของ roughness profile ในระยะที่ต้องการแสดงได้ดังสมการด้านล่าง ส่วนใหญ่จะใช้ค่าประเภทนี้ในการอธิบายความขรุขระของพื้นผิว

$$R_a = \frac{1}{N} \sum_{N=1}^N |r_n| \quad (3.7)$$

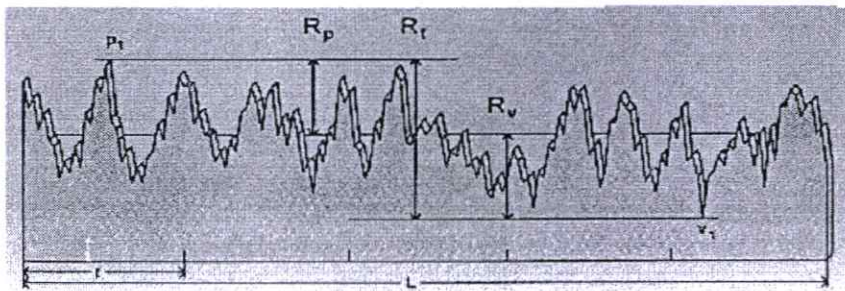


รูปที่ 3.11 แสดงการคำนวณหาค่า Arithmetic average roughness

2. The root mean square roughness(R_q) เป็นค่าความขรุขระเฉลี่ยแบบ RMS ซึ่งจะมีค่าแนวโน้มเป็นไปในทางเดียวกับ R_a ซึ่งในที่นี้จะมีค่ามากกว่า R_a 1.11 เท่า

$$R_q = \sqrt{\frac{1}{N} \sum_{n=1}^N r_n^2} \quad (3.8)$$

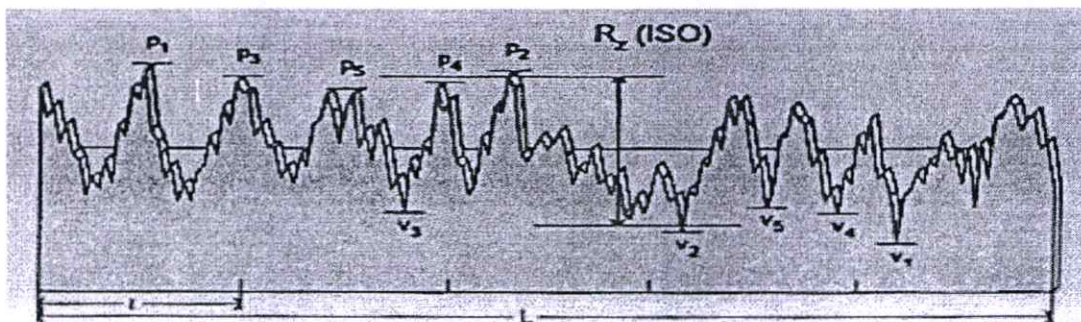
3. Maximum height of profile(R_t) เป็นผลรวมของค่าต่ำสุด(R_v)ของพื้นผิวกับค่าสูงสุดของพื้นผิว(R_p)เมื่อเทียบกับเส้นค่าเฉลี่ย วิธีนี้มักใช้ในการวิเคราะห์หาค่าความขรุขระที่สูงที่สุดเมื่อพิจารณาถึงพื้นที่ทั้งหมด



รูปที่ 3.12 แสดงการคำนวณหาค่า Maximum height of profile

$$R_t = R_p + R_v \quad (3.9)$$

4. Average maximum height of profile เป็นการหาค่าระยะห่างของจุดสูงสุดและจุดต่ำสุด (Rt) หลายๆค่าที่อยู่ในขอบเขตที่กำหนด นำมาหาค่าเฉลี่ย ซึ่งค่า Rz มักใช้กับพื้นที่ที่การเข้าถึงเป็นไปได้อย่างจำกัดและเพื่อตรวจสอบในกรณีที่พบจุดสูงสุดหรือจุดต่ำสุดอย่างมีนัยสำคัญ



รูปที่ 3.13 แสดงการคำนวณหาค่า Average maximum height of profile

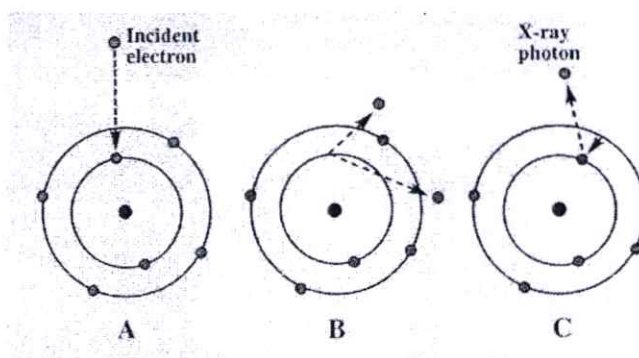
3.2.5 การตรวจสอบด้วยเครื่อง EDS

Energy-dispersive X-ray spectroscopy (EDS) เป็นเครื่องมือที่ใช้ในการตรวจสอบองค์ประกอบทางเคมีของวัตถุ โดยใช้การวัดพลังงานและปริมาณของรังสี X-Ray ที่แผ่ออกมาจากอะตอมของวัตถุหลังการยิงอิเล็กตรอนหรือโฟตอนเข้าไปในโครงสร้างของอะตอม ซึ่งพลังงานและปริมาณของรังสีที่ออกมาจะสามารถบ่งบอกถึงชนิดของสารได้

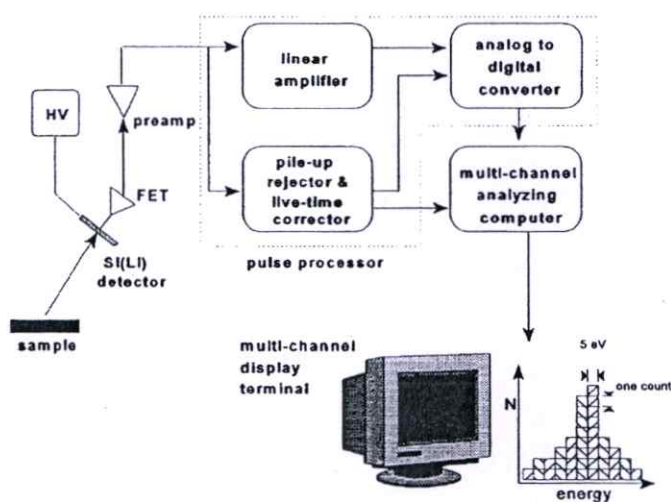
ปกติแล้ววัสดุที่นำมาทำการตรวจสอบจะประกอบไปด้วยอะตอมที่อยู่ในสถานะพื้น (Ground state) อิเล็กตรอนจะโคจรรอบนิวเคลียสโดยมีระดับพลังงานต่างๆ กันในแต่ละวงโคจร แสดงได้ดังรูปที่ 3.13A ต่อมารูปที่ 3.13B เมื่อทำการยิงลำไอออนไปตกกระทบจะไปกระตุ้นอิเล็กตรอนใน K-shell ทำให้เกิดอิเล็กตรอนและโฮลขึ้นในโครงสร้างทางอิเล็กตรอนิกส์ของอะตอม อิเล็กตรอนจากวงอื่นๆที่มีพลังงานสูงกว่า(L-shell) จะจับคู่กับโฮลในระดับ K-shell และทำให้เกิดการปลดปล่อยพลังงานออกมาในรูปแบบของรังสีเอกซ์เรย์ที่มีพลังงานเท่ากับความแตกต่างของระดับพลังงานระหว่างชั้น K-shell และ L-shell ซึ่งแสดงได้ดังรูป 3.13C การตรวจสอบว่าวัสดุนั้นมีธาตุชนิดใดประกอบอยู่จะใช้การตรวจสอบสเปกตรัมของรังสีเอกซ์เรย์ซึ่งจะเป็นตัวบ่งชี้ธาตุที่เป็นองค์ประกอบได้เนื่องจากแต่ละธาตุจะมีเส้นสเปกตรัมที่มีลักษณะเฉพาะแตกต่างกัน

ส่วนประกอบของเครื่อง EDS จะมี 4 ส่วนประกอบหลักๆคือ แหล่งกำเนิดลำไอออน ตัวตรวจจับรังสีเอกซ์เรย์ ตัวประมวลผลสัญญาณพัลส์ และหน่วยวิเคราะห์ อย่างไรก็ตามด้วยการใช้เครื่องมือเหล่านี้ทำให้ประหยัดค่าใช้จ่ายและเคลื่อนย้ายได้สะดวกมากกว่าระบบ WDS ซึ่งระบบ EDS สามารถนำไปติดตั้งในระบบของเครื่อง SEM และ TEM ได้ ตัวเครื่อง EDS มีกล่อง

จุลทรรศน์อิเล็กตรอนซึ่งจะประกอบไปด้วยขั้วคาโทดและเลนส์แม่เหล็ก (magnetic lense) ทำหน้าที่เป็นแหล่งกำเนิดและโฟกัสลำไอออน ตัวตรวจจับรังสีเอกซ์เรย์จะทำหน้าที่แปลงพลังงานของรังสีให้เป็นสัญญาณ ในรูปแบบของแรงดันทางไฟฟ้า และจะถูกส่งต่อไปยังหน่วยประมวลผลสัญญาณพัลส์ซึ่งทำการวิเคราะห์ข้อมูลและส่งต่อให้ส่วนที่ใช้ในการวิเคราะห์ผลซึ่งใช้เครื่องคอมพิวเตอร์ใช้ในการประมวลผลและแสดงผลออกมา ส่วนใหญ่ที่แสดงผลออกมาจะอยู่ในรูปของกราฟระหว่าง count กับ พลังงาน ถ้าพบธาตุใดๆกราฟจะมีลักษณะเป็นพีคสูงขึ้นไป ณ ระดับพลังงานหนึ่งๆ แล้วนำมาเปรียบเทียบกับฐานข้อมูลของแต่ละธาตุว่าจะสอดคล้องกับธาตุใดแล้วแสดงผลออกมาเป็นชนิดของธาตุนั้นๆ



รูปที่ 3.14 แสดงหลักการทั่วไปของระบบ EDS



รูปที่ 3.15 แสดงขั้นตอนการทำงานของระบบ EDS

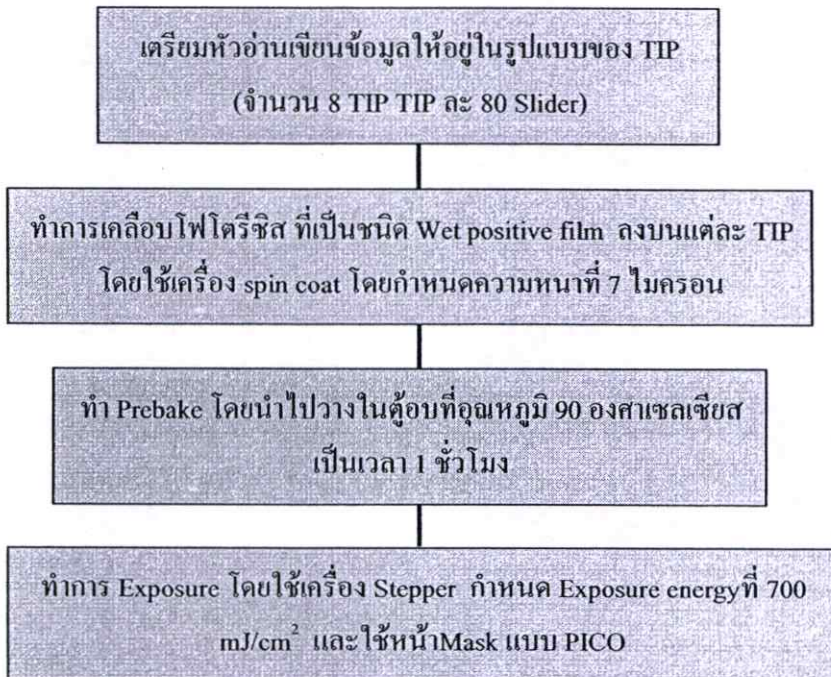
บทที่ 4

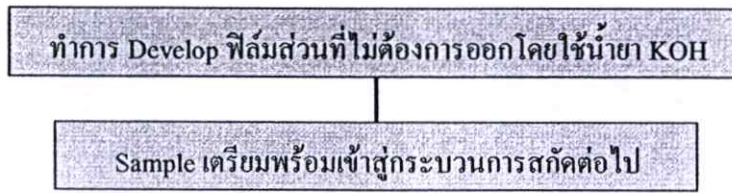
การทดลอง

ในวิทยานิพนธ์นี้เป็นการศึกษาถึงคุณลักษณะของพื้นผิวที่เกิดขึ้นหลังจากการสกัดด้วยไอออนบีมของหัวอ่านเขียน ซึ่งการสกัดนั้นเป็นกระบวนการหนึ่งในกระบวนการโฟโตลิโทกราฟีที่ใช้ในการสร้างลวดลายที่มีขนาดเล็กลงบนวัสดุที่ต้องการ ในบทนี้จะกล่าวถึงการเปลี่ยนแปลงพารามิเตอร์ของการสกัดและลำดับขั้นตอนการตรวจสอบถึงคุณลักษณะของพื้นผิวโดยใช้เครื่องมือต่างๆ หนึ่งคุณลักษณะที่ได้ออกมานั้นล้วนมีผลต่อคุณสมบัติต่อการทำงานของหัวอ่านเขียนข้อมูลทั้งสิ้น โดยที่ส่วนหนึ่งการทดลองในบทนี้นั้นเป็นส่วนหนึ่งในสายการผลิตของหัวอ่านเขียนจริงในปัจจุบัน

4.1 การเตรียมวัสดุที่จะนำมาใช้ในการสกัด

ในที่นี้การเตรียมวัสดุที่จะนำมาใช้ทำการสกัดนั้นอยู่ในขอบเขตของกระบวนการโฟโตลิโทกราฟีในการผลิตหัวอ่านเขียนจริง ซึ่งมีขั้นตอนที่คล้ายคลึงกับการสร้างลวดลายบนวัสดุสารกึ่งตัวนำที่ใช้สำหรับการสร้างอุปกรณ์ทางอิเล็กทรอนิกส์โดยทั่วไป จากแผนผังลำดับด้านล่างแสดงถึงกระบวนการที่ใช้ในการเตรียมวัสดุก่อนนำมาเข้าเครื่องสกัด โดยที่กำหนดจำนวนของหัวอ่านเขียนที่ใช้ในแต่ละเงื่อนไขของการสกัดเป็นกลุ่มกลุ่มละ 80 ตัว





รูปที่ 4.1 ขั้นตอนการเตรียมวัสดุก่อนนำมาทำการสัปดาห์

4.2 การศึกษาอัตราการสัปดาห์ของวัสดุ

ในที่นี้การศึกษาอัตราการสัปดาห์ของวัสดุในกระบวนการสร้างลวดลายลงบนหัวอ่านเขียนนั้น ผู้ทดลองได้สนใจวัสดุ 2 ชนิดคือ วัสดุที่เป็น photoresist และวัสดุที่ใช้หัวอ่านเขียนข้อมูลที่เป็นชนิด AITiC ซึ่งโดยหลักการของการสัปดาห์ของไอออนบีมนั้นเป็นการใช้ไอออนของก๊าซมาชนอะตอมของวัสดุให้หลุดออกไปโดยที่การชนที่เกิดขึ้นนั้นใช้หลักของฟิสิกส์เรื่องโมเมนตัม เมื่อก้าวถึงโมเมนตัมสิ่งที่น่าสนใจก็คือมุมของการชนที่ทำให้ปริมาณของวัสดุที่หลุดออกไปนั้นไม่เท่ากัน ดังนั้นการทดลองนี้จึงเป็นการหาอัตราการสัปดาห์ของวัสดุที่มุมของการสัปดาห์ต่างๆ รวมทั้งการเปลี่ยนเวลาของการสัปดาห์ว่ามีผลมากน้อยกับอัตราการสัปดาห์หรือไม่ จากตารางด้านล่างแสดงพารามิเตอร์ของการสัปดาห์ที่ใช้ในการศึกษา

ตารางที่ 4.1 แสดงเงื่อนไขของมุมและเวลาที่ใช้ในการสัปดาห์บนหัวอ่านเขียนข้อมูล

TIP No.	มุมของการสัปดาห์ (องศา)	เวลาที่ใช้ในการสัปดาห์ (นาที)
1	-30	10
2	-30	30
3	-45	10
4	-45	30
5	-55	10
6	-55	30
7	-65	10
8	-65	30

เงื่อนไขอื่น ๆ ที่ต้องใช้ในการสกัดอันได้แก่ Beam voltage Beam current RF power Supply voltage PBN flow K-Factor และ AR flow ถูกกำหนดให้เป็นตัวแปรคงที่ตลอดการทดลอง ค่าที่กำหนดไว้แสดงได้ดังตารางที่ 4.2

ตารางที่ 4.2 เงื่อนไขอื่น ๆ ของการสกัดที่กำหนดให้เป็นตัวแปรคงที่

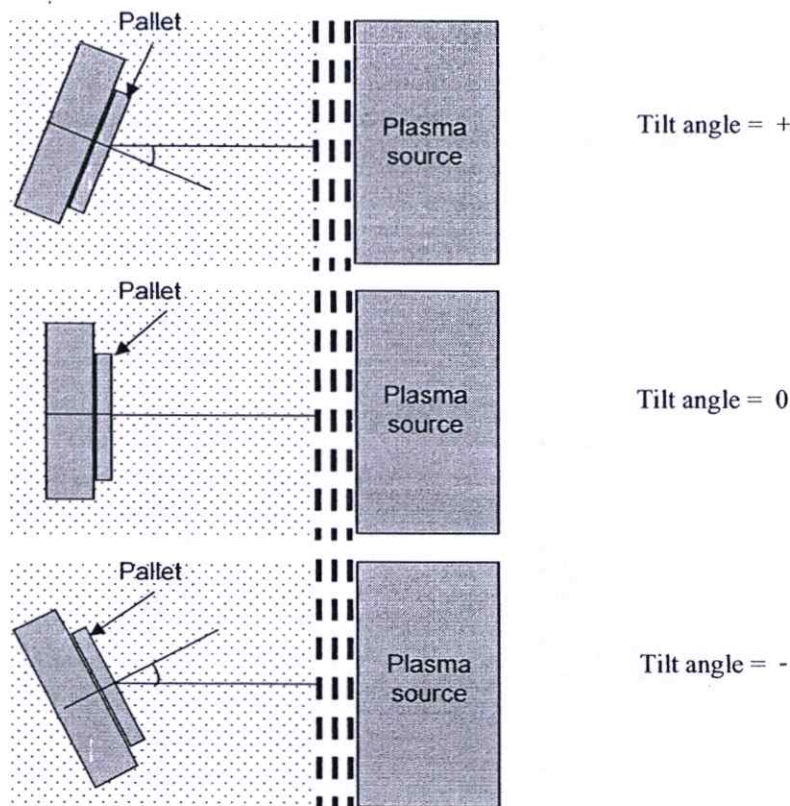
เงื่อนไขที่ใช้ในการสกัด	เงื่อนไขที่ใช้ทำการทดลอง
Beam voltage	700 V
Beam current	1000 mA
RF power	500 W
Supply voltage	500 V
PBN flow	4 sccm
K-factor	0.7
AR flow	22 sccm

4.2.1 ขั้นตอนการสกัด

เครื่องสกัดที่ใช้ในการทดลองนั้นเป็นรุ่น 350s ของบริษัท Veeco

- นำ Tip ที่ประกอบไปด้วย Slider จำนวน 80 ตัววางบน plate และทำการล็อก Tip บน plate ให้แน่น เพื่อป้องกันการไหลของชิ้นงานตัวอย่างขณะหมุน
- นำ plate ที่มีชิ้นงานตัวอย่างนำไปใส่ใน stack ก่อนนำเข้าไปใน Load lock
- ทำการกำหนดพารามิเตอร์ของการสกัดตามตารางที่ 4.2 ในโปรแกรมที่ควบคุมการ etching รวมทั้งกำหนดมุมและเวลาไปในขั้นตอนนี้ด้วย
- เมื่อเริ่มกระบวนการสกัดเครื่องจะโหลดชิ้นงานจาก Load lock เข้าสู่แชมเบอร์ที่ใช้ทำการสกัด
- ฐานรองที่วางชิ้นงานตัวอย่างถูกหมุนซึ่งเท่ากับมุมสกัดที่ต้องการ
- เครื่องปั๊มสุญญากาศเริ่มทำงานเพื่อทำการลดความดันในแชมเบอร์โดยที่ Rough pump เพื่อดูดเอาอากาศออกให้เหลือความดันในระดับ 10^{-2} Torr ก่อนที่ Turbo และ Cryo pump จะเริ่มทำงานเพื่อดูดอากาศออกให้เหลือในระดับ 7×10^{-6} Torr
- เครื่อง Chiller เริ่มทำงานโดยปั๊มก๊าซฮีเลียม และน้ำอุณหภูมิ 10 องศาเซลเซียสได้ฐานรองเพื่อควบคุมอุณหภูมิในขณะทำการสกัด
- วาล์วเปิดก๊าซอาร์กอนเข้าสู่แชมเบอร์จนกระทั่งความดันในแชมเบอร์สูงขึ้น ในระดับ 3×10^{-4} Torr

9. ขดลวด RF เริ่มทำงานที่ความถี่ 1.8- 2.0 เมกกะเฮิร์ตส์ในการเร่งให้เกิดอนุภาคอาร์กอนไอออน
10. PBN(The Plasma Bridge Neutrizer) เริ่มทำงานผลิตไอออนจากการแตกตัวของก๊าซอาร์กอน
11. กระแสไฟฟ้าถูกจ่ายเข้าไปยัง Beam grid ทำหน้าที่ดึงคู่อิเล็กตรอนเข้าไปในแชนเนลเพื่อกระตุ้นให้เกิดพลาสมา
12. กระแสไฟฟ้าถูกจ่ายเข้าไปยัง Suppressor grid และ Beam grid เพื่อสร้างสนามไฟฟ้าในการเร่งอนุภาคอาร์กอนไอออนรวมทั้งโฟกัสลำไอออน
13. หน้าต่างชัตเตอร์ของเครื่องเปิดออกทำให้ลำไอออนพุ่งไปชนเป้าหมายและปิดเมื่อถึงเวลาที่กำหนดไว้
14. เมื่อทำการสกัดเรียบร้อยแล้วเครื่องจะทำการโหลด stack ออกมาเข้าสู่ Load lock เป็นอันเสร็จเรียบร้อยของขั้นตอนการสกัด



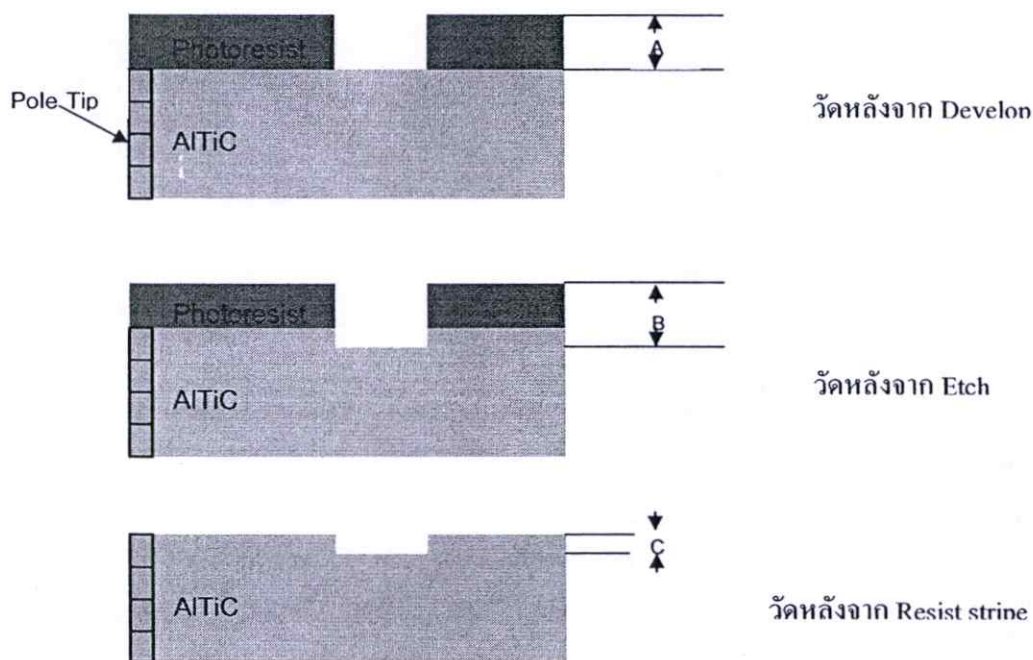
รูปที่ 4.2 แสดงลักษณะมุมที่ใช้ในการสกัดของเครื่อง 350s

4.2.2 ขั้นตอนการวัดความหนา ก่อนและหลังการสกัด

การวัดความหนาทั้งฟิล์มบางที่เป็น photoresist และ วัสดุชนิด AlTiC ใช้เครื่อง TENCOR ซึ่ง เป็นเครื่อง Profiler ชนิดหนึ่ง

ตารางที่ 4.3 แสดงพารามิเตอร์ของการวัด โดยใช้เครื่อง TENCOR Profiler

เงื่อนไขในการวัด	ค่าพารามิเตอร์ที่ใช้
Scan length	50 μm
Number of scans	1
Scan speed	10 $\mu\text{m/s}$
Sampling rate	50 Hz
Scan time	5 s
Scan direction	Right
Resolution	0.2 $\mu\text{m/data point}$
Number of data points	25
Applied force	0.5 mg



รูปที่ 4.3 แสดงการวัดความหนาโดยใช้เครื่อง TENCOR ณ ช่วงต่างๆของ Process

จากรูปที่ 4.3 แสดงการวัดความหนาในช่วงต่างๆของกระบวนการโฟโตลิโทกราฟี ด้วยเครื่องมือ TENCOR ตารางด้านล่างแสดงพารามิเตอร์ที่ใช้ในเครื่อง TENCOR Profiler โดยที่ตำแหน่งของการวัดจะยึดจากรูปที่ 4.4 เป็นหลัก หลังจากนั้นนำไปคำนวณหาความหนาที่สูญเสียไปหลังจากการสัคของวัสดุทั้งสองต่อไป

จากรูปที่ 4.3 สามารถหาความหนาที่สูญเสียไปของวัสดุทั้งสองชนิดได้คือ

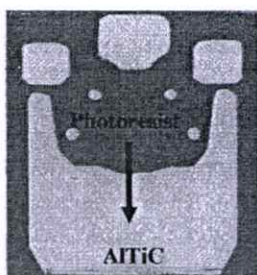
$$\text{Loss photoresist} = A - (B - C) \quad (4.1)$$

$$\text{Loss AlTiC} = C \quad (4.2)$$

หลังจากนั้นนำไปคำนวณหาอัตราการสัคของวัสดุได้จากสมการ

$$\text{Etch rate of photoresist} = \text{Loss photoresist} / \text{time} \quad (4.3)$$

$$\text{Etch rate of AlTiC} = \text{Loss AlTiC} / \text{time} \quad (4.4)$$



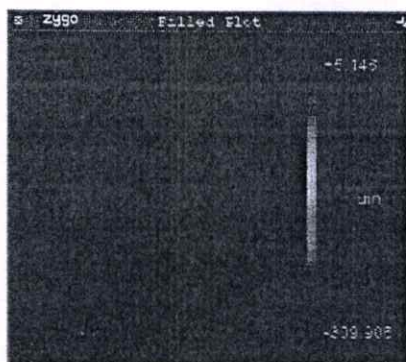
รูปที่ 4.4 แสดงตำแหน่งของการวัดความหนานบนหัวอ่านเขียน

4.3 การศึกษาถึงความขรุขระของพื้นผิว

เนื่องจากการสัคแบบไอออนบีมเป็นลักษณะการชนที่เป็นกายภาพ ดังนั้นคุณลักษณะของพื้นผิวอีกสิ่งหนึ่งที่ควรศึกษาเพื่อใช้ประกอบการตัดสินใจในคุณภาพของการสัคก็คือความขรุขระ (Roughness) ที่เกิดขึ้น เครื่องมือที่ใช้ในการตรวจสอบความขรุขระที่ใช้ได้แก่เครื่อง Zygo อาศัยหลักการแทรกสอดของแสง ผลที่ได้จากการวัดจะออกมาในรูปแบบของภาพ 3 มิติ ที่มีการแยก ระดับของความหนาโดยใช้สีสเปกตรัม แล้วสามารถหาค่าเฉลี่ยของความสูงได้ในพื้นที่อ้างอิง

ใดพื้นที่หนึ่งที่เราสามารถกำหนดไว้เองได้ การวัดความขรุขระนี้จะวัดบริเวณส่วนของ AITiC บนหน้า ABS ของหัวอ่านเขียน ซึ่งเครื่องมือนี้ใช้วัด profile หลังจากทำการ resist stripe เท่านั้น เนื่องจากข้อจำกัดของเครื่อง Zygo คือไม่สามารถวัดวัสดุที่เป็นฟิล์มโพลิเมอร์ได้ และสามารถวัดวัสดุได้เพียงชนิดเดียวเนื่องจากมีปัญหาเรื่อง การเลื่อนเฟสเมื่อวัดวัสดุต่างชนิดกัน ส่วนค่าความขรุขระที่อ่านออกมาจากเครื่องนั้นจะเป็นค่า Ra ซึ่งเป็นค่าความขรุขระเฉลี่ยเลขคณิต ซึ่งมีขั้นตอนในการตรวจสอบดังนี้

1. นำ Tip ไปวางบน stage ใต้กล้อง microscope และต้องระวังไม่ให้วัสดุสัมผัสกับเลนส์
2. เปิดโปรแกรม Vision32 ซึ่งเป็น โปรแกรมใช้ในการวิเคราะห์
3. ทำการโฟกัสตำแหน่งที่ต้องการบนวัสดุในที่นี้ใช้กำลังขยาย 20 เท่า
4. ทำการปรับมุมของเครื่อง interferometer เพื่อให้เห็นริ้วของการแทรกสอดซึ่งเป็นลักษณะ ของแถบสว่างสลับกับแถบมืดบนวัสดุ และปรับให้เห็นประมาณ 2-3 ริ้ว
5. เนื่องจากการวัดเป็นแบบ Phase-Shift Interferometry (PSI) ใช้ลำแสงความยาวคลื่นเดียว ดังนั้นจึงต้องปรับให้เห็นริ้วของการแทรกสอดให้ชัดเจนที่สุด ก่อนที่จะทำการวัด
6. ทำการวัดโดยป้อนคำสั่งไปยังคอมพิวเตอร์

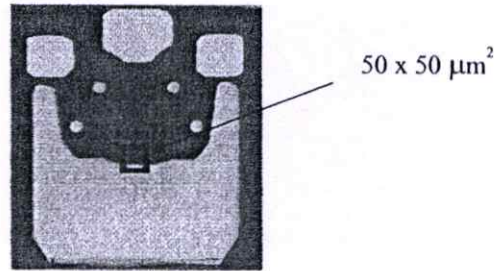


รูปที่ 4.5 แสดงตัวอย่างหน้าจอการวัดโดยใช้เครื่อง Zygo

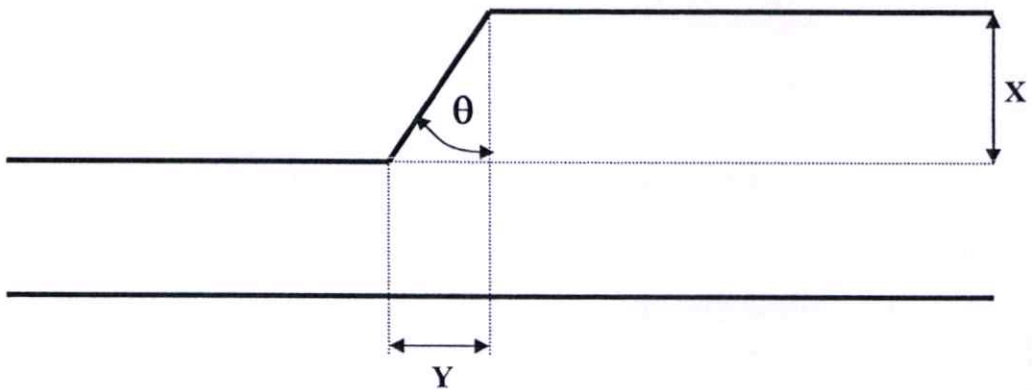
4.4 การศึกษา Wall Profiles ที่เกิดขึ้นหลังจากการสกัด

หลังจากทำการสกัดเป็นที่เรียบร้อยแล้ว หัวอ่านเขียนจะถูกนำเข้าไปวัด Wall profiles โดยใช้เครื่อง AFM ซึ่งเป็นเครื่องมือที่วัดได้ผลละเอียดกว่าเครื่องอื่นๆ ซึ่งผลของ Wall profiles จะออกมาในรูปแบบของ Wall angle จากรูป 4. แสดงตัวอย่างรูปแบบของการหา Wall angle พื้นที่ทำการตรวจสอบ (scan size) นั้นมีขนาด $50 \times 50 \mu\text{m}^2$ โดยที่ตำแหน่งที่ทำการตรวจสอบแสดงได้ดังรูปที่

4.6 ข้อมูลที่ได้จากการวัดจะได้มาในรูปแบบของขนาดความสูง (X) และความยาว (Y) เท่านั้น หลังจากนั้นจึงเอามาคำนวณหา Wall angle ตามสมการที่



รูปที่ 4.6 แสดงตำแหน่งของการวัด Wall profiles บนตัวหัวอ่านเขียนข้อมูล



รูปที่ 4.7 แสดงรูปแบบของการหา Wall angle

จากรูปที่ 4 สามารถคำนวณหาขนาดของ Wall angle ได้คือ

$$\theta = \tan^{-1}(Y/X) \quad (4.5)$$

4.5 การศึกษาคุณสมบัติของพื้นผิวหลังการสกัดด้วยเครื่องมือ SEM

เมื่อทำการสกัดตัว Slider แล้วจะนำมาตรวจสอบคุณสมบัติของพื้นผิวอีกครั้งหนึ่งด้วยภาพถ่าย SEM และ ยิงEDS เพื่อดูองค์ประกอบของธาตุในบริเวณต่างๆหลังการสกัด ขั้นตอนการวัดมีดังนี้คือ

1. เตรียมชิ้นงานที่ใช้ในการวัดซึ่งเป็น Slider หลังจากกระบวนการลอกฟิล์มออกแล้ว

2. ทำการเคลือบชิ้นงานด้วยพาราเดียม โดยการนำเข้าเครื่องเคลือบสุญญากาศ โดยเคลือบที่ความดัน 0.5×10^{-4} Bar
3. นำงานที่ทำการเคลือบไปตรวจสอบโดย SEM ซึ่งการกำหนดค่าที่ใช้ในการตรวจสอบแสดงได้ดังตารางที่ 4.4

ตารางที่ 4.4 แสดงพารามิเตอร์ที่ใช้ในการตรวจสอบของเครื่อง SEM

เงื่อนไขในการวัด	ค่าพารามิเตอร์ที่ใช้
ACC-V	3.00 kV
Aparture	3
Magnitude	20,000 X
Detection mode	SE
Working Distance(WD)	5.3

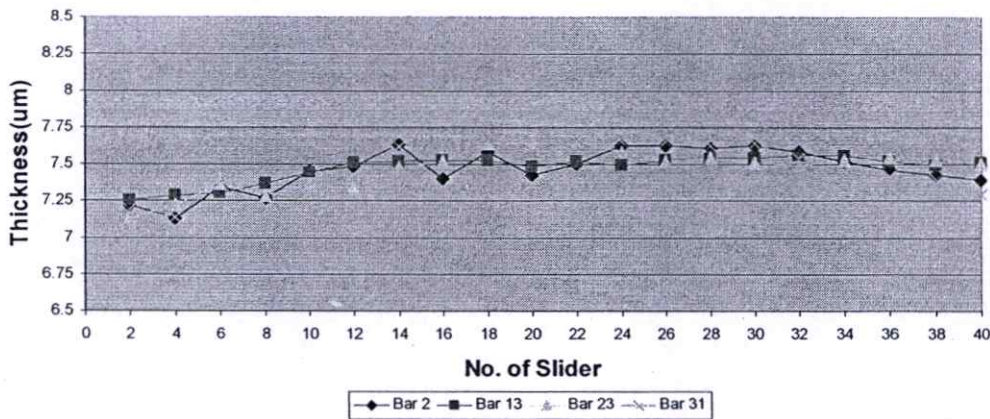
บทที่ 5

ผลการทดลองและวิเคราะห์ผล

ในบทนี้เป็นการนำเสนอผลของการศึกษาคุณลักษณะของพื้นผิวหลังจากการสกัดด้วยไอออนบีมในวัสดุที่ใช้ทำหัวอ่านเขียนข้อมูล ซึ่งคุณลักษณะในที่นี้ได้แก่ อัตราการสกัด ความขรุขระของพื้นผิว ความลาดเอียงของพื้นผิว และศึกษาคุณสมบัติของพื้นผิวอื่นๆ เพิ่มเติม ในที่นี้เงื่อนไขที่ทำการเปลี่ยนแปลงได้แก่มุมของการสกัด และเวลาในการสกัด และในงานทดลองทั้งหมดอยู่ในกระบวนการโฟโตลิโธกราฟีในสายการผลิตจริง ซึ่งแต่ละเงื่อนไขในที่นี้ได้ทำลงบน Tip แต่ละ Tip และเพื่อความสะดวกจะทำการเรียกแต่ซึ่งแสดงได้ดังตารางที่

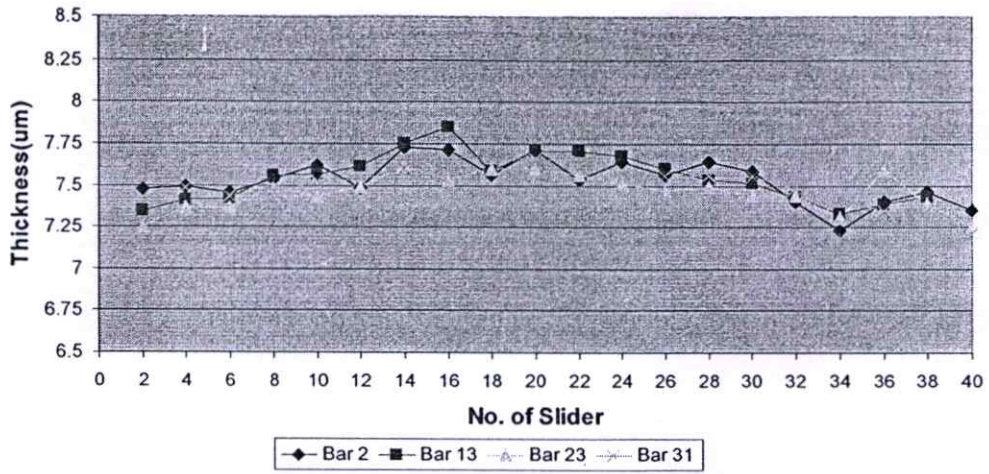
5.1 ผลการศึกษาความหนาของโฟโตรีซิสหลังทำการเคลือบ

จากลำดับขั้นตอนการทดลอง นำ Tip ที่มีงานทดลองอยู่เข้าเครื่อง spin coating แล้วนำไปเข้ากระบวนการ exposure ต่อมานำ Tip ที่ได้ไปเข้ากระบวนการ develop หลังจากนั้นจึงเข้าสู่กระบวนการวัดความหนาของฟิล์มก่อนทำการสกัดโดยใช้เครื่อง TENCOR profiler โดยวัดความหนาของฟิล์มโฟโตรีซิสทุกๆ Tip ที่ทำการทดลอง และจะวัดในตำแหน่ง Bar ที่เป็น SPC ได้แก่ Bar ที่ 2 13 23 และ 31 ตามลำดับ

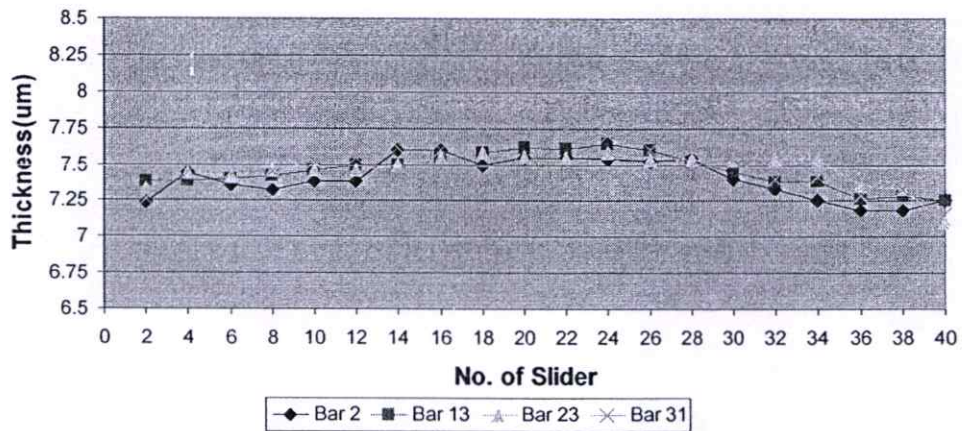


(a) Tip ที่ 1

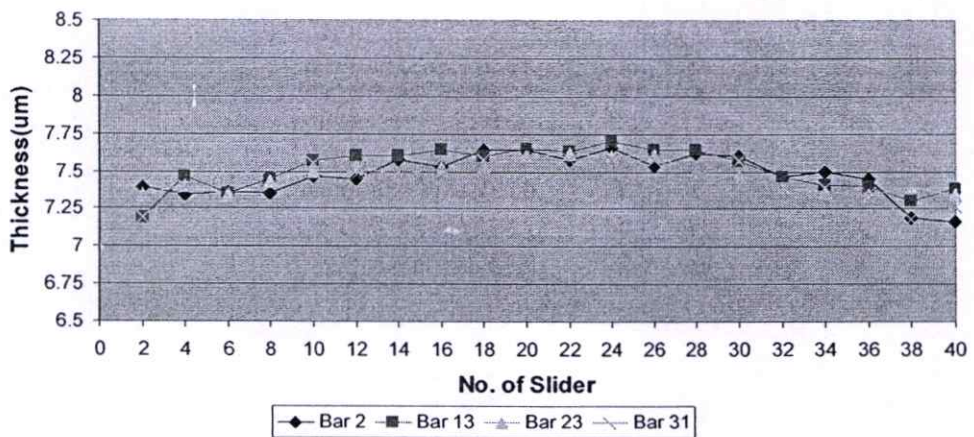
รูปที่ 5.1 ผลของการวัดความหนาของโฟโตรีซิส ณ ตำแหน่งต่างๆบน Bar



(b) Tip ที่ 2

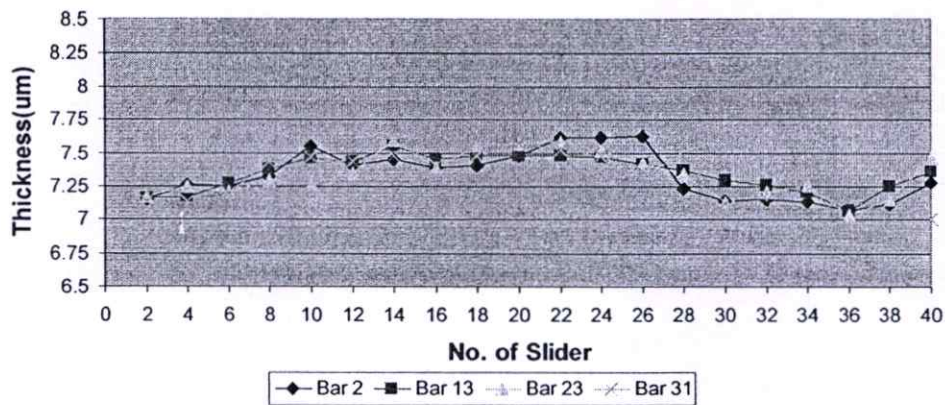


(c) Tip ที่ 3

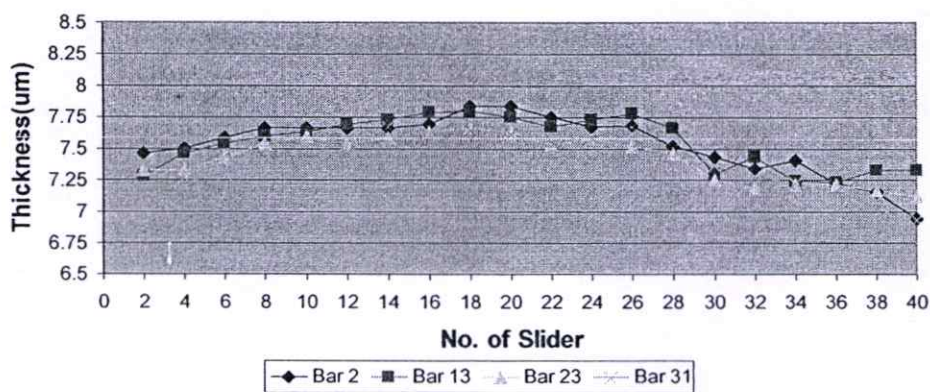


(d) Tip ที่ 4

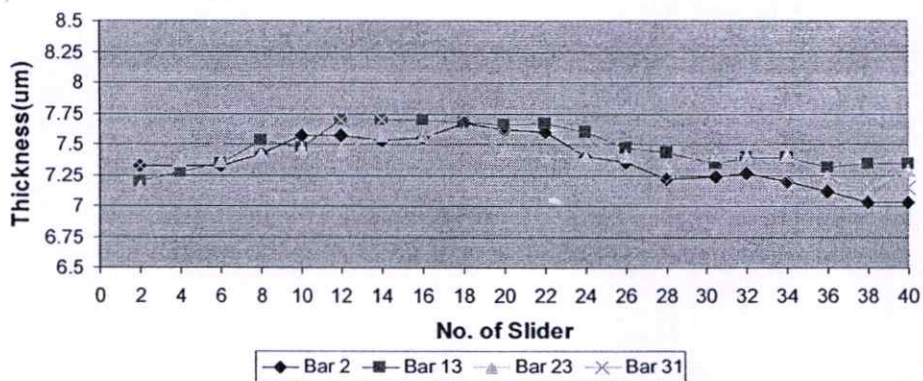
รูปที่ 5.1(ต่อ)



(e) Tip ที่ 5

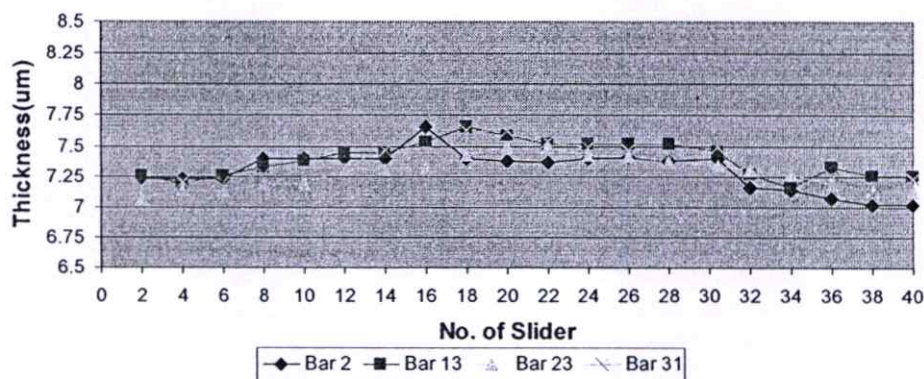


(f) Tip ที่ 6



(g) Tip ที่ 7

รูปที่ 5.1(ต่อ)



(h) Tip ที่ 8

รูปที่ 5.1(ต่อ)

จากรูปแสดงความหนาของโฟโตรีซิสของแต่ละ Tip ซึ่งใน 1 Tip จะประกอบไปด้วย Bar ที่ใช้ทำการทดลอง 4 Ba ด้วยกันและในแต่ละ Bar จะมีจำนวน Slider เรียงกัน 40 ตัว แต่ในที่นี้ใช้การวัดตัวเว้นตัว จากกราฟในทุกๆ Tip พบว่าบริเวณตรงกลางของ Bar จะมีความหนากว่าปกติกว่าด้านขอบของ Bar ด้วยกันซึ่งทั้งนี้ เป็นธรรมชาติของการ spin coating ซึ่งเกี่ยวข้องกับแรงหนีศูนย์กลางและแรงเฉือน

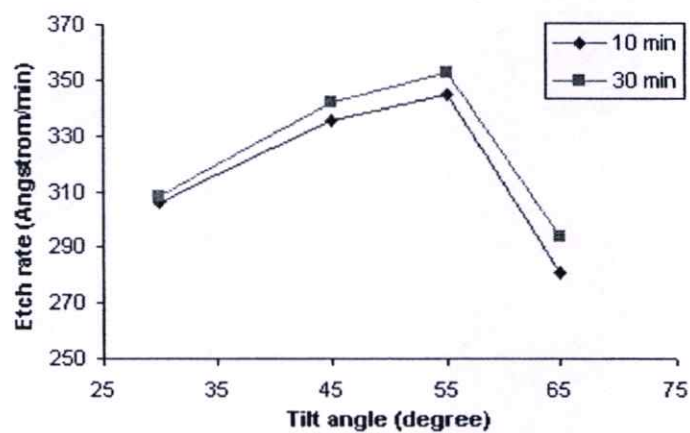
ตารางที่ 5.1 แสดงค่าเฉลี่ยและเบี่ยงเบนมาตรฐานของความหนาโฟโตรีซิสในแต่ละ Tip

# Tip	Bar 2		Bar 13		Bar 23		Bar 31		All	
	Avg	Stdev	Avg	Stdev	Avg	Stdev	Avg	Stdev	Avg	Stdev
1	7.46	0.145	7.47	0.094	7.47	0.142	7.51	0.164	7.48	0.137
2	7.54	0.126	7.53	0.153	7.46	0.110	7.49	0.144	7.50	0.136
3	7.48	0.144	7.43	0.140	7.47	0.100	7.46	0.130	7.48	0.129
4	7.41	0.140	7.46	0.121	7.47	0.118	7.50	0.162	7.46	0.138
5	7.33	0.181	7.35	0.133	7.34	0.169	7.30	0.191	7.33	0.168
6	7.53	0.234	7.55	0.203	7.42	0.183	7.39	0.221	7.47	0.218
7	7.38	0.184	7.48	0.165	7.39	0.121	7.45	0.198	7.42	0.175
8	7.34	0.150	7.39	0.140	7.28	0.131	7.36	0.152	7.34	0.150

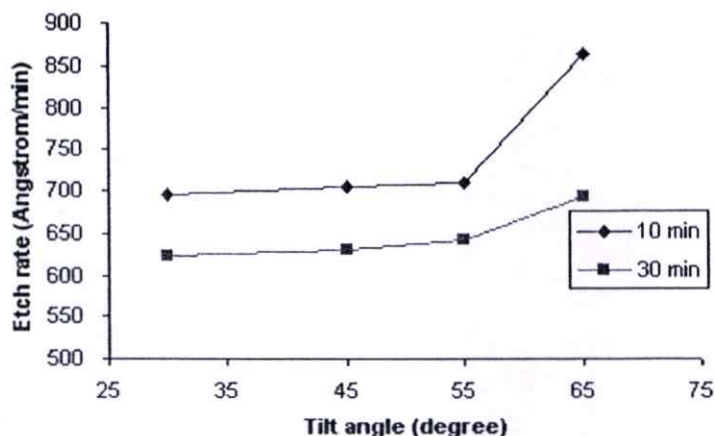
แต่อย่างไรก็ตามจากค่าเบี่ยงเบนมาตรฐานจะพบว่าฟิล์มในทุกๆ Tip ยังมีความสม่ำเสมอที่ดี (ไม่เกิน 5% ของความหนา) ถึงแม้โฟโตริซิสจะไม่ใช้วัสดุที่ต้องการสกัดโดยตรง ซึ่งอาจจะไม่จำเป็นต้องควบคุมความสม่ำเสมอมากนัก แต่ปัจจุบันแนวโน้มการเคลือบโฟโตริซิสมีความบางลงเรื่อยๆ เพื่อหลีกเลี่ยงปัญหา shadow effect ดังนั้นจำเป็นต้องควบคุมความหนาให้มีความสม่ำเสมอของฟิล์มให้มากที่สุด และยังเป็นการช่วยให้การ Exposure เป็นไปได้อย่างมีประสิทธิภาพด้วย

5.2 ศึกษาอัตราการสกัดของวัสดุ[12]

หลังจากนำชิ้นงานผ่านกระบวนการ Develop แล้ว จะเข้าสู่กระบวนการสกัดด้วยเครื่องไอออนบีม โดยมีเงื่อนไขในการสกัดดังได้กล่าวไว้ในบทที่ 4 ซึ่งในที่นี้จะทำการทดลองโดยใช้จำนวน Slider 80 ตัว ต่อ 1 เงื่อนไข หลังจากการสกัดแล้วนำเข้าไปวัดด้วยเครื่อง TENCOR profiler ต่อมา Slider จะถูกนำไปลอกฟิล์มออกแล้ววัดความหนาอีกครั้งด้วยเครื่อง TENCOR profiler จากนั้นนำข้อมูลที่ได้ไปวิเคราะห์หาความหนาของโฟโตลิซิลที่สูญเสียไปและความหนา AITiC ซึ่งเป็นวัสดุที่ใช้ทำหัวอ่านเขียนที่สูญเสียไปหลังกระบวนการสกัด ซึ่งแสดงได้ดังรูปที่ 5.2

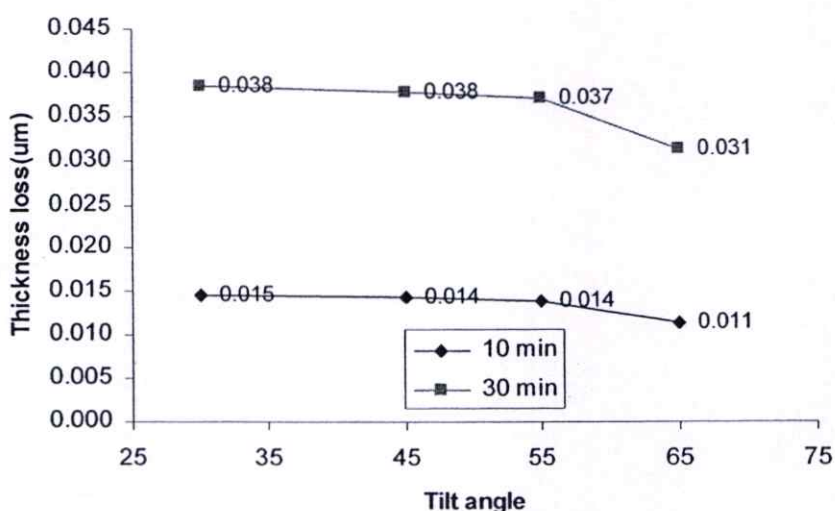


รูปที่ 5.2 แสดงอัตราการสกัดของ AITiC ณ มุมต่างๆและที่เวลา 10 และ 30 นาที



รูปที่ 5.3 แสดงอัตราการกัดของโฟโตรีซิส ณ มุมต่างๆและที่เวลา 10 และ 30 นาที

จากรูปที่ 5.2 แสดงอัตราการกัดของวัสดุ AITiC ที่เป็นพื้นผิว ABS พบว่าที่เวลา 10 และ 30 นาที ณ มุม 55 องศา AITiC จะถูกกัดไปได้มากกว่ามุมอื่นๆ โดยมีอัตราการกัดอยู่ที่ 345 Angstrom/min ที่เวลา 10 นาที หรือ ความลึกเฉลี่ยของการกัดเท่ากับ 0.345 ไมครอน และ 353 Angstrom/min ที่เวลา 30 นาทีที่ความลึกเฉลี่ยของการกัดที่ 1.059 ไมครอน ซึ่งใกล้เคียงกัน และอัตราการกัดต่ำสุดจะอยู่ที่มุม 65 องศา เมื่อมองโดยรวมแล้วพบว่าอัตราการกัดที่เวลาต่างๆกันไม่มีความแตกต่างกันมาก รูปที่ 5.4 แสดงค่าความเบี่ยงเบนเฉลี่ยที่เวลา 10 และ 30 นาทีในแต่ละมุมพบว่าในแต่ละ Tip จะมีค่าความเบี่ยงเบนเฉลี่ยไม่เปลี่ยนแปลงมากที่มุม 30 45 และ 55 องศา ยกเว้นที่ 65 องศาพบว่า



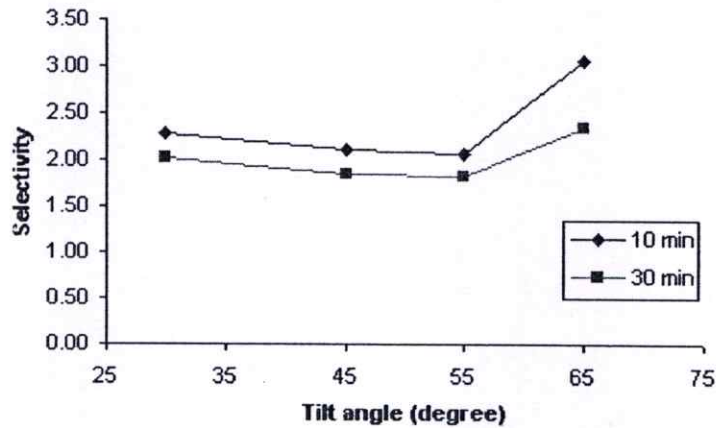
รูปที่ 5.4 แสดงค่าความเบี่ยงเบนเฉลี่ยของความหนา AITiC ที่สูญเสียไปหลังจากการกัด

ค่าความเบี่ยงเบนเฉลี่ยต่ำกว่ามูมอื่นๆ แต่อย่างไรก็ตามค่าเบี่ยงเบนเฉลี่ยในทุกๆมูมมีค่าน้อยมากไม่ถึง 5 เปอร์เซ็นต์เมื่อนำไปเทียบกับค่าเฉลี่ยของความหนาที่สูญเสียไป ซึ่งแสดงถึงความมีความสม่ำเสมอที่ดีในการสกัดของระบบไอออนบีม แต่เมื่อเทียบเวลาในการสกัดพบว่าค่าความเบี่ยงเบนเฉลี่ยจะสูงขึ้นในทุกๆมูมเมื่อเพิ่มเวลาในการสกัด ซึ่งเมื่อพิจารณาแล้วจะพบว่าการใช้เวลาในการสกัดมากขึ้นจะมีผลต่อความสม่ำเสมอในการสกัด

ส่วนอัตราการสกัดของโฟโตริซิสพบว่าจะมีแนวโน้มเพิ่มขึ้นเมื่อให้มูมในการสกัดมากขึ้น พบว่าที่เวลา 10 และ 30 นาที ณ มูม 65 องศา โฟโตริซิสจะถูกสกัดไปได้มากกว่ามูมอื่นๆ โดยมีอัตราการสกัดอยู่ที่ 863 Angstrom/min ที่เวลา 10 นาที หรือ ความลึกเฉลี่ยของการสกัดเท่ากับ 0.863 ไมครอน และ 692 Angstrom/min ที่เวลา 30 นาทีที่ความลึกเฉลี่ยของการสกัดที่ 2.076 ไมครอน และ ทุกเวลาของการสกัดมูมที่มีอัตราการสกัดต่ำสุดอยู่ที่ 30 องศา จากกราฟรูปที่ จะมีความแตกต่างของอัตราการสกัดเมื่อทำการเปลี่ยนเวลาของการสกัดโดยพบว่าเมื่อเพิ่มเวลาในการสกัดอัตราการสกัดของโฟโตริซิสจะลดลงในทุกๆมูม ซึ่งจะเป็นไปในแนวโน้มใดต่อไปนั้นจะต้องทำการศึกษาต่อไป ค่าความเบี่ยงเบนเฉลี่ยของความหนาโฟโตริซิสที่สูญเสียไป จากการสกัดในทุกๆมูมพบว่ามีค่าเบี่ยงเบนเฉลี่ยค่อนข้างสูงถึง 30 เปอร์เซ็นต์ของค่าเฉลี่ย ซึ่งอาจเกิดขึ้นเนื่องจากพารามิเตอร์ต่างๆ ที่ตั้งมาในการสกัดนั้นมีความเหมาะสมกับวัสดุที่เป็น AITiC เพียงอย่างเดียวซึ่งเป็นสิ่งที่เราสนใจมากที่สุด ซึ่งโครงสร้างของโฟโตริซิสมีโครงสร้างเป็นโพลิเมอร์แตกต่างจากโครงสร้างที่เป็นเซรามิกของ AITiC โดยสิ้นเชิง จึงทำให้เงื่อนไขที่ใช้ในการสกัดโฟโตริซิสจึงไม่ใช่เงื่อนไขที่ดีที่สุดที่จะทำให้การสกัดโฟโตริซิสได้อย่างสม่ำเสมอได้ แต่อย่างไรก็ตามการศึกษาอัตราการสกัดและความสม่ำเสมอเมื่อถูกสกัดของโฟโตริซิสยังเป็นสิ่งที่จำเป็นต้องศึกษาต่อไปเนื่องจากในอนาคตเทคโนโลยีของการเคลือบโฟโตริซิสจะทำให้มีความบางมากขึ้นกว่าเดิม เมื่อต้องนำมาสกัดด้วยวิธีนี้จึงต้องศึกษาถึงอัตราการสกัดของโฟโตริซิสด้วย เพราะเมื่อเปรียบเทียบกับกระบวนการสกัดวิธีอื่นๆแล้ว วิธีนี้จะสกัดโฟโตริซิสออกไปเป็นจำนวนมากกว่าวิธีอื่นๆ

จากการสกัด AITiC ที่มูมต่างๆกันจะมีอัตราการสกัดที่ต่างกันสืบเนื่องจากการสกัดแบบไอออนบีมเป็นการสกัดแบบกายภาพเพียงอย่างเดียวไม่มีปฏิกิริยาทางเคมีมาเกี่ยวข้อง ฉะนั้นเมื่อไอออนของอาร์กอนพุ่งมาชนก็จะเกิดการถ่ายเทโมเมนตัมระหว่างอะตอมทำให้อะตอมที่ถูกชนหลุดออกไป ในเมื่อเป็นการถ่ายเทโมเมนตัม มูมที่ชนจึงมีความสำคัญมากเนื่องจากโครงสร้างของวัสดุ อะตอมหรือโมเลกุลจะเกาะเกี่ยวกันด้วยแขนพันธะ ดังนั้นจุดที่โครงสร้างพันธะความอ่อนแอมากที่สุดหรือที่เรียกว่าจุด Weak point นั้นจะถูกสกัดออกไปได้ง่ายกว่าถ้ามีไอออนพุ่งเข้าชนบริเวณนั้นพอดี ดังนั้นวัสดุต่างชนิดกันจุด weak point ของแต่ละวัสดุจึงไม่เหมือนกัน กราฟคุณสมบัติของอัตราการสกัดเมื่อเทียบกับ

มุมต่างๆของวัสดุแต่ละชนิดจึงไม่เหมือนกัน และอัตราการสกัดที่มุมต่างๆจึงไม่เหมือนกัน ในที่นี้แสดงได้ด้วยกราฟอัตราการสกัดทั้ง AITiC และ โฟโตริซิส ซึ่งกราฟคุณสมบัติของการสกัดที่มุมต่างๆนี้จะ เป็นประโยชน์ในการตัดสินใจในการเลือกมุมที่เหมาะสมในการสกัดต่อไป



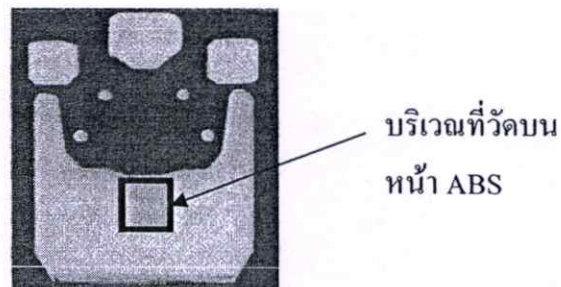
รูปที่ 5.5 แสดงค่า Selectivity ของการสกัดในแต่ละมุม

ต่อมาจะกล่าวถึงค่า Selectivity ของการสกัดซึ่งเป็นอัตราส่วนของการสกัดระหว่างโฟโตริซิสกับ AITiC จากรูปที่ 5.5 แสดงค่า Selectivity ของการสกัดที่มุมต่างๆ พบว่าที่มุม 55 องศาทั้งสองเวลาในการสกัดจะมีค่า Selectivity ในการสกัดน้อยที่สุดโดยที่ 10 นาทีเท่ากับ 2.06 และที่ 30 นาทีเท่ากับ 1.82 และค่า Selectivity มากที่สุดที่มุม 65 องศาโดยที่ 10 นาทีเท่ากับ 3.07 และ 30 นาทีเท่ากับ 2.35 ค่า Selectivity นี้จะหมายถึงเมื่อทำการสกัดวัสดุที่เป็น AITiC ไป 1 ส่วน โฟโตริซิสจะถูกสกัดไปเป็นจำนวนเท่ากับ X ส่วน ซึ่ง X ในที่นี้หมายถึงค่า Selectivity จากผลการทดลองพบว่าด้วยการสกัดแบบไอออนบีมนี้ค่า Selectivity จะมีค่าน้อยกว่าวิธีอื่นๆ (RIE มีค่า Selectivity ประมาณ 20) ซึ่งเป็นเพราะลักษณะการสกัดแบบนี้ใช้การชนของไอออนเพียงอย่างเดียว ลักษณะการชนของไอออนที่เป็นแบบกายภาพนั้นจะไม่มี การเลือกวัสดุที่จะทำการสกัดแต่อย่างใด ดังนั้นความแตกต่างระหว่างอัตราการสกัดจึงไม่แตกต่างกันมากเมื่อเทียบกับวิธีอื่นๆ

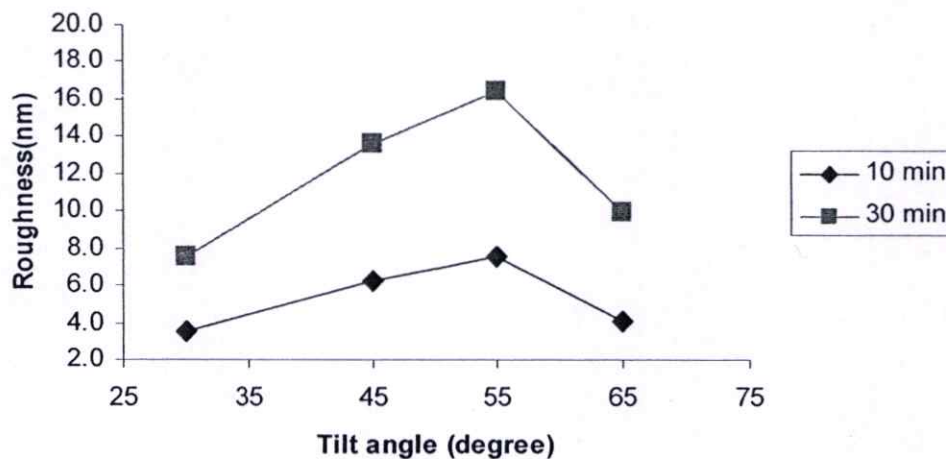
ค่า Selectivity ที่มีค่าน้อยนั้นจะเป็นผลดีกับการสกัดด้วยไอออนบีมเพราะว่าในขณะการสกัดถ้าโฟโตริซิสถูกสกัดออกออกไปในอัตราที่ใกล้เคียงกับวัสดุ AITiC มากเท่าไร การกำหนดความหนาเริ่มต้นของโฟโตริซิสจะสามารถทำให้บางขึ้นเท่านั้น ซึ่งที่ความหนาของโฟโตริซิสที่บางจะช่วยลดปัญหา shadow effect ที่จะเกิดขึ้นในขณะสกัด จากผลการทดลองพบว่ามุม 55 องศาเป็นมุมที่มี Selectivity ที่น้อยที่สุดเมื่อเทียบกับมุมอื่นๆ ซึ่งนี่เป็นอีกเงื่อนไขหนึ่งที่เหมาะสมกับการสกัด

5.3 การศึกษาถึงความขรุขระที่เกิดขึ้นหลังจากการสกัด

ในที่นี้จะกล่าวถึงผลการทดลองหลังจากการวัดด้วยเครื่องมือ Interferometer ซึ่งเป็นเครื่องมือที่ใช้หลักการแทรกสอดของแสง ความขรุขระที่เกิดขึ้นหลังจากการสกัดเป็นสิ่งที่เกิดขึ้นอย่างแน่นอน การตรวจสอบครั้งนี้จะเป็นการศึกษาแนวโน้มของมุมและเวลาของการสกัดที่มีผลต่อความขรุขระที่เกิดขึ้น บริเวณที่ทำการวัดความขรุขระจะอยู่ที่บริเวณหน้า ABS ของ Slider โดยแสดงบริเวณที่ทำการวัดได้ดังรูปที่ 5.6

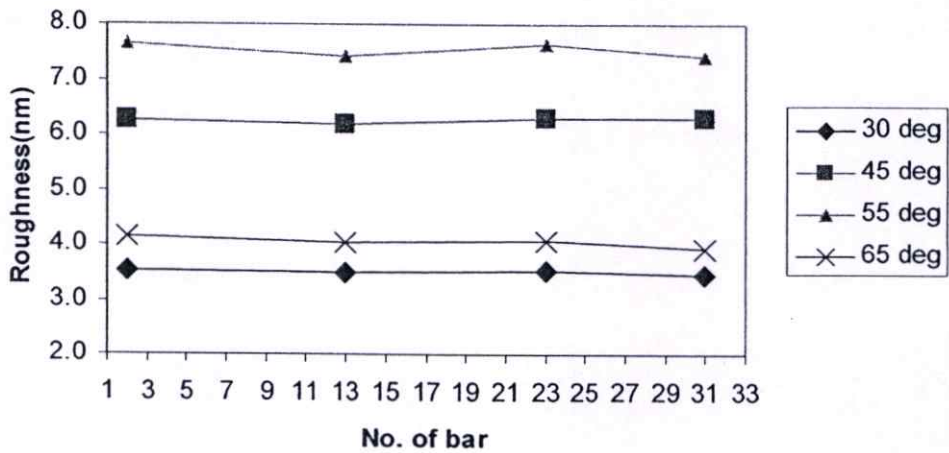


รูปที่ 5.6 แสดงบริเวณที่ทำการวัดความขรุขระบน Slider

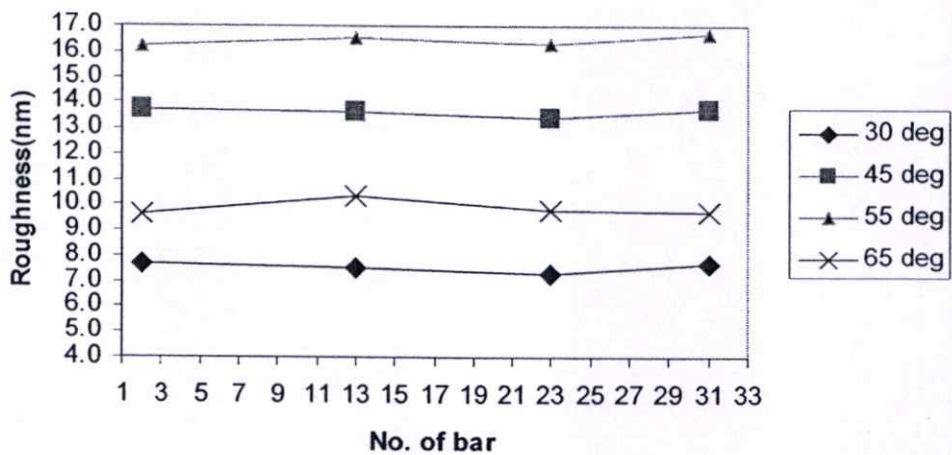


รูปที่ 5.7 แสดงค่าความขรุขระเฉลี่ยที่เกิดขึ้นในมุมการสกัดต่าง ๆ

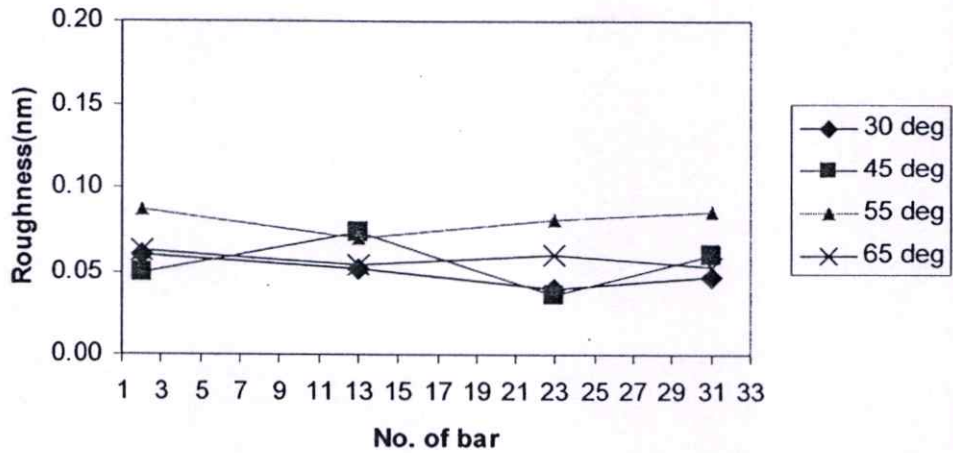
รูปที่ 5.7 แสดงค่าความขรุขระเฉลี่ยในแต่ละมุมการสกัดต่างๆ พบว่าที่มุม 55 องศาจะมีค่าความขรุขระสูงสุดในทุกเวลาการสกัด ในที่นี้ค่าความขรุขระที่วัดออกมาจะเป็นค่าความขรุขระเฉลี่ย (R_a) โดยที่เวลาในการสกัด 10 นาทีค่าความขรุขระอยู่ที่ 7.5 nm และ เวลาการสกัดที่ 30 นาทีค่าความขรุขระอยู่ที่ 16.4 nm ส่วนรูปที่ 5.8 แสดงค่าความขรุขระเฉลี่ยเมื่อเทียบในแต่ละ Bar ที่เวลาการสกัดต่างๆและที่มุมต่างๆพบว่าจะมีค่าที่คงที่ไม่มีการเปลี่ยนแปลงมากในแต่ละ Bar ซึ่งเป็นเครื่องยืนยันถึงความสม่ำเสมอในการสกัดได้เป็นอย่างดี



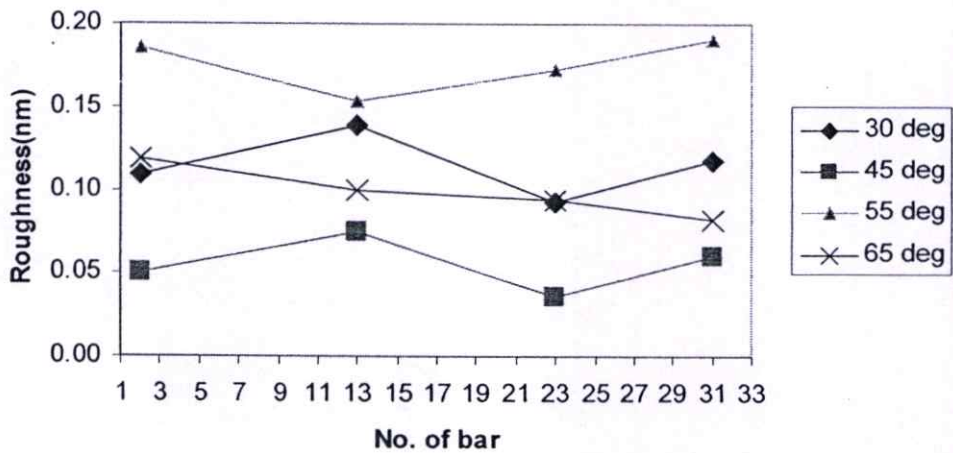
รูปที่ 5.8 แสดงค่าความขรุขระเฉลี่ยเมื่อเทียบในแต่ละ Bar ที่เวลาการสกัด 10 นาที



รูปที่ 5.9 แสดงค่าความขรุขระเฉลี่ยเมื่อเทียบในแต่ละ Bar ที่เวลาการสกัด 30 นาที



รูปที่ 5.10 แสดงค่าเบี่ยงเบนเฉลี่ยของค่าความขรุขระเมื่อเทียบในแต่ละ Bar ที่เวลาการสกัด 10 นาที



รูปที่ 5.11 แสดงค่าเบี่ยงเบนเฉลี่ยของค่าความขรุขระเมื่อเทียบในแต่ละ Bar ที่เวลาการสกัด 30 นาที

รูปที่ 5.10 และ 5.11 แสดงค่าเบี่ยงเบนเฉลี่ยภายในแต่ละ Bar ที่มุมต่างๆกัน พบว่าที่เวลาการสกัด 10 นาทีค่าเบี่ยงเบนเฉลี่ยของความขรุขระเมื่อเปรียบเทียบ Bar ที่ 3 13 23 และ 31 เข้าด้วยกัน ณ มุมของการสกัดเดียวกัน มีการเปลี่ยนแปลงไม่มากนัก (ไม่เกิน 5% ของค่าความขรุขระเฉลี่ย) ซึ่งแสดงถึงความสม่ำเสมอของกระบวนการสกัดนี้ และเมื่อเพิ่มเวลาการสกัดมากขึ้นจะสังเกตได้จากรูป 5.10 และ 5.11 พบว่าค่าเบี่ยงเบนเฉลี่ยของความขรุขระจะมีค่ามากขึ้นแต่ยังคงเปลี่ยนแปลงน้อยมากเมื่อเทียบกับค่าเฉลี่ยของความขรุขระ (ไม่เกิน 5% ของค่าความขรุขระเฉลี่ย) ซึ่งสามารถเปรียบเทียบได้ อย่างไรก็ตามค่าความขรุขระเป็นสิ่งที่สำคัญควรพิจารณาด้วยเนื่องจากมีความสำคัญต่อการบินบนงานแม่เหล็กของหัวอ่าน

ความขรุขระที่เกิดขึ้นนั้นเป็นธรรมชาติของการสกัด เพราะเมื่อไอออนพุ่งเข้าชนจะเป็นการทำลายผิวหน้าของชิ้นงานซึ่งก่อให้เกิดความขรุขระขึ้นนั่นเอง ในกรณีนี้วัสดุที่ใช้ทำการสกัดเป็น AlTiC เป็นสารเซรามิกที่ประกอบขึ้นจากสารสองชนิดได้แก่อะลูมิเนียมออกไซด์ (Al_2O_3) และ ไททาเนียมคาร์ไบด์ (TiC) จากรูปที่ลักษณะของพื้นผิว AlTiC จากการถ่าย SEM จากรูปที่ 5.12 บริเวณสีเทาเข้มจะเป็นเฟสของอะลูมิเนียมออกไซด์ และสีเทาอ่อนจะเป็นเฟสของไททาเนียมคาร์ไบด์ จะแทรกอยู่ระหว่างกัน ดังนั้นเมื่อนำวัสดุ AlTiC มาสกัด ลักษณะของการสกัดจะแยกออกเป็นสองส่วนด้วยกันคือการสกัดส่วนที่เป็นสารอะลูมิเนียมออกไซด์และสารไททาเนียมคาร์ไบด์ เมื่อสารทั้งสองชนิดนี้สกัดพร้อมกันดังนั้นจึงเกิดความแตกต่างระหว่างอัตราการสกัดสาร



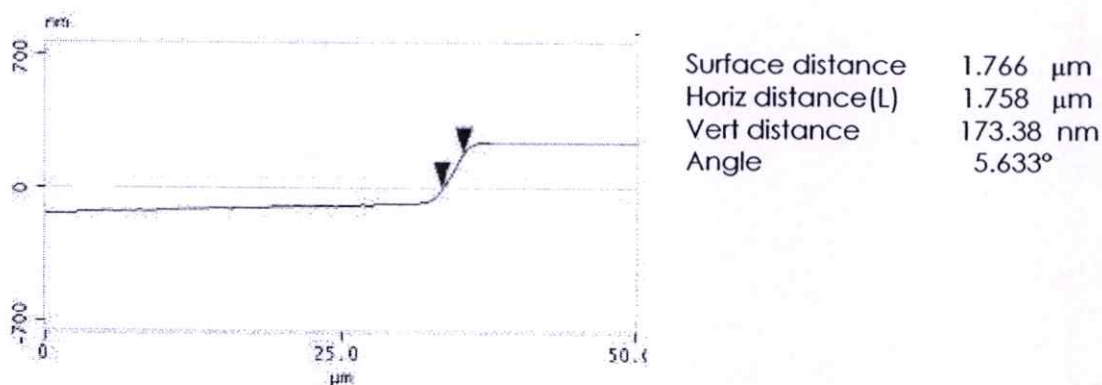
รูปที่ 5.12 แสดงบริเวณพื้นผิว ABS หลังจากการสกัดโดยใช้ SEM

ทั้งสองจึงทำให้เกิดความไม่สม่ำเสมอของพื้นผิวขึ้นหลังจากการสกัด เพราะที่มุมๆหนึ่งสารใดที่ถูกสกัดได้มากกว่าจะหลุดออกไปเยอะกว่า ในขณะที่เดียวกันสารใดที่ถูกสกัดน้อยจะหลุดออกไปจากผิวได้น้อย ซึ่งลักษณะนี้เองจะทำให้เกิดความขรุขระบนพื้นผิวขึ้น และจากกราฟรูป เมื่อนำไปเปรียบเทียบกับกราฟอัตราการสกัดของวัสดุ AlTiC ที่ได้กล่าวไว้ในรูปที่ จะสังเกตได้ถึงความสัมพันธ์ระหว่างอัตราการสกัดกับค่าความขรุขระที่เกิดขึ้นยกตัวอย่างที่มุม 55 องศาพบว่าจะมีอัตราการสกัดสูงสุด และมีค่าความขรุขระที่เกิดขึ้นสูงสุดเช่นเดียวกันที่เวลาเดียวกัน เนื่องจากอัตราการสกัดที่สูงหมายถึงวัสดุบริเวณ

ผิวหน้าจะถูกสกัดออกไปมากดังนั้นจึงมีโอกาสที่ Selectivity ของการสกัดระหว่างอะลูมิเนียมออกไซด์ และ ไททาเนียมคาร์ไบด์จะแตกต่างกันได้มาก ดังนั้นค่าความขรุขระจึงมีค่าสูงขึ้นตาม ซึ่งในที่นี้ค่าความขรุขระที่เกิดขึ้นสามารถยอมรับได้ เพราะมีค่าน้อยมากในระดับนาโนเมตร และความสม่ำเสมอของค่าความขรุขระนั้นค่อนข้างที่จะคงที่มาก ซึ่งเป็นข้อดีข้อหนึ่งของระบบการสกัดที่เป็นแบบกายภาพ อย่างไรก็ตามการตรวจสอบค่าความขรุขระหลังจากการสกัดเป็นสิ่งจำเป็นเพื่อใช้พัฒนาคุณภาพในการสกัดให้ดียิ่งขึ้นต่อไป

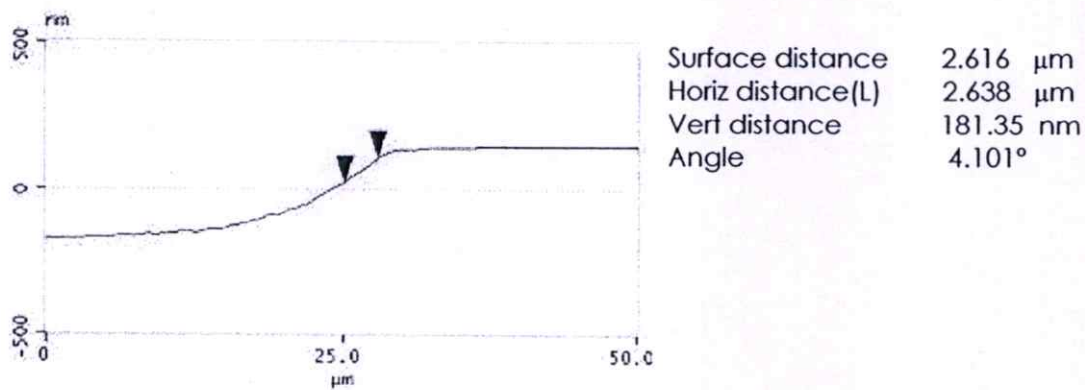
5.4 การศึกษาถึง Wall angle ที่เกิดขึ้นหลังจากการสกัด

หลังจากการสกัดอีกสิ่งหนึ่งที่จะเกิดขึ้นหลังจากการสกัดนั้นคือ Wall angle หรือความลาดเอียงของพื้นผิวที่เกิดขึ้น เนื่องจากการปรับเปลี่ยนมุมของการสกัดซึ่งเป็นที่น่าสนใจศึกษา เพราะการสกัดแบบไอออนบีมนี้ไม่มีปฏิกิริยาเข้ามาเกี่ยวข้องดังนั้นการสกัดจึงเป็นรูปแบบของ anisotropic มากกว่าการสกัดวิธีอื่นหลายๆ การวัด Wall angle ในที่นี้ใช้เครื่อง AFM ในการตรวจสอบลักษณะที่เกิดขึ้น เพื่อความรวดเร็วในการวัด จะทำการวัด Bar และ 4 Slider ซึ่งจะเป็น Slider ที่อยู่ตำแหน่งที่ 5 10 20 และ 35 แล้วทำการคำนวณออกมาเป็นมุมซึ่งวิธีการคำนวณได้กล่าวไว้แล้วในบทที่ 4 การทดลอง

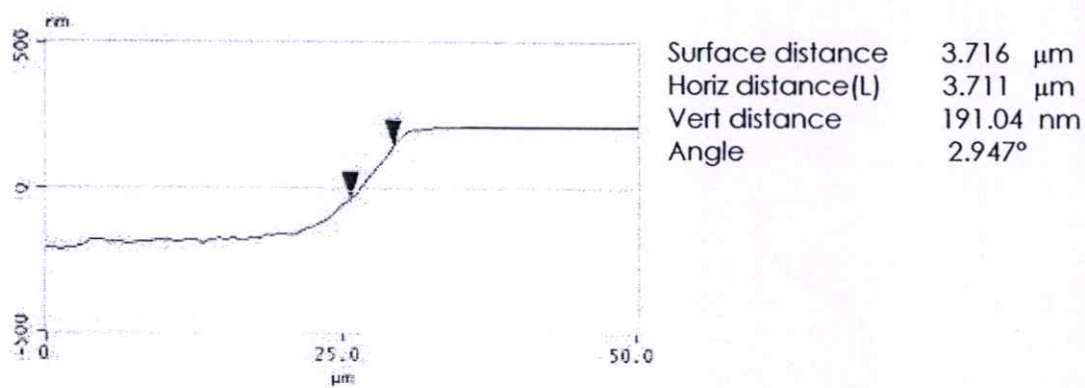


(a) มุมสกัด 30 องศา เวลา 10 นาที

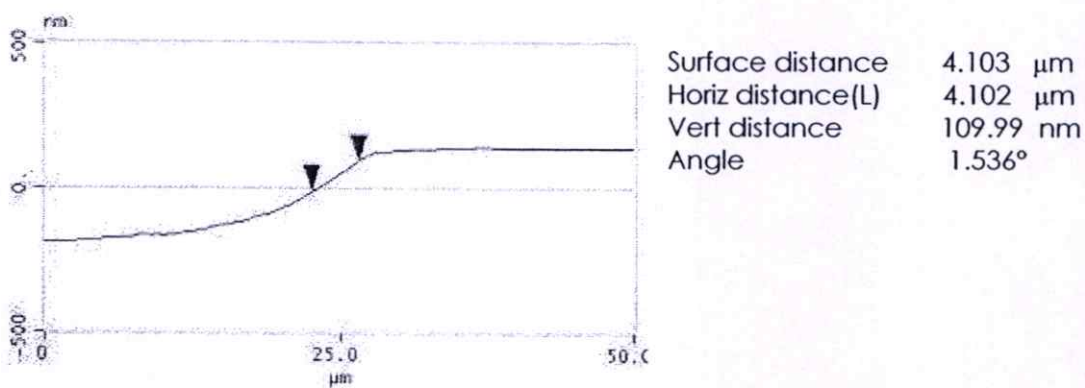
รูป 5.13 รูป AFM แสดงค่า Wall angle ที่มุมการสกัดและเวลาการสกัดต่างๆ



(b) มุมสกัด 45 องศา เวลา 10 นาที

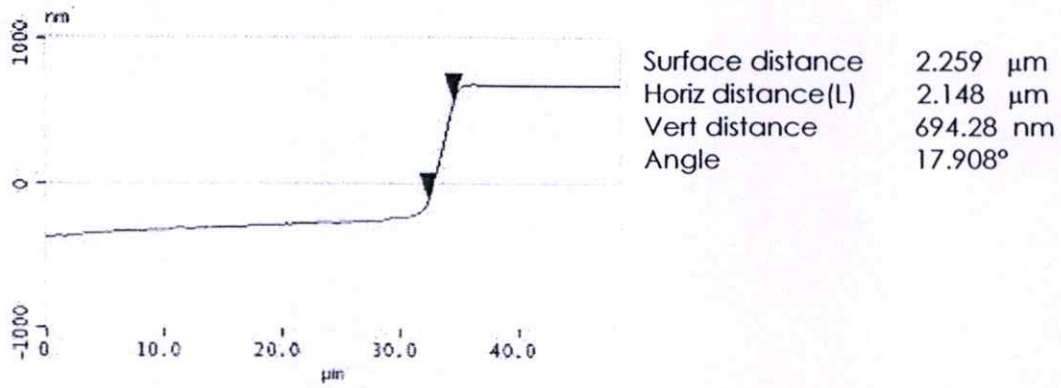


(c) มุมสกัด 55 องศา เวลา 10 นาที

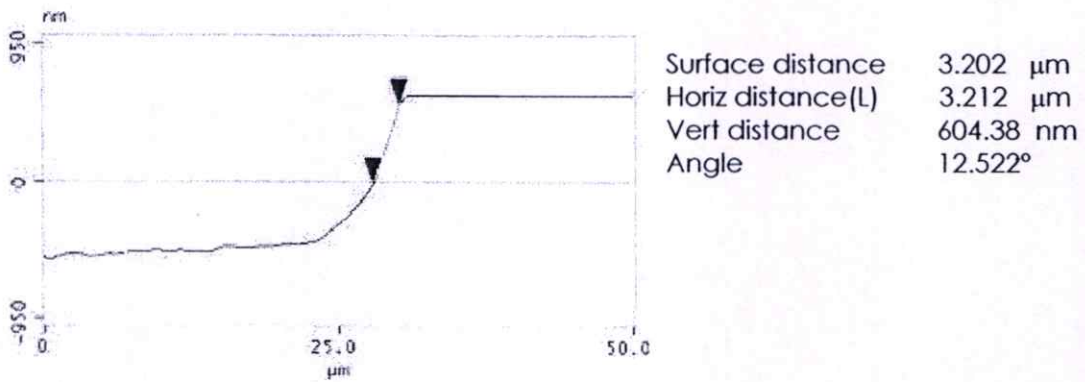


(d) มุมสกัด 65 องศา เวลา 10 นาที

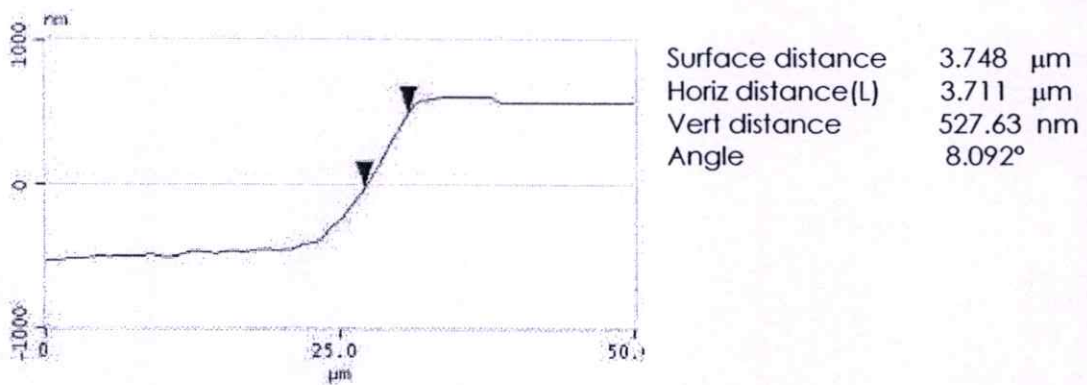
รูป 5.13 (ต่อ)



(e) มุมสกัด 30 องศา เวลา 30 นาที

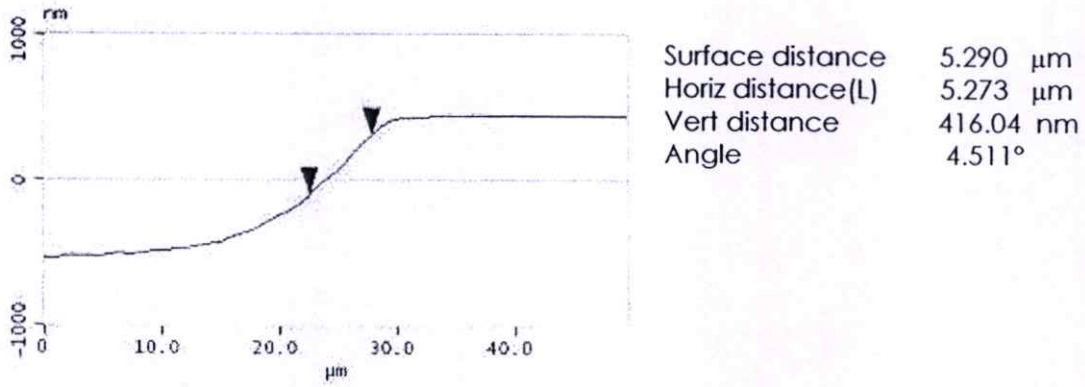


(f) มุมสกัด 45 องศา เวลา 30 นาที



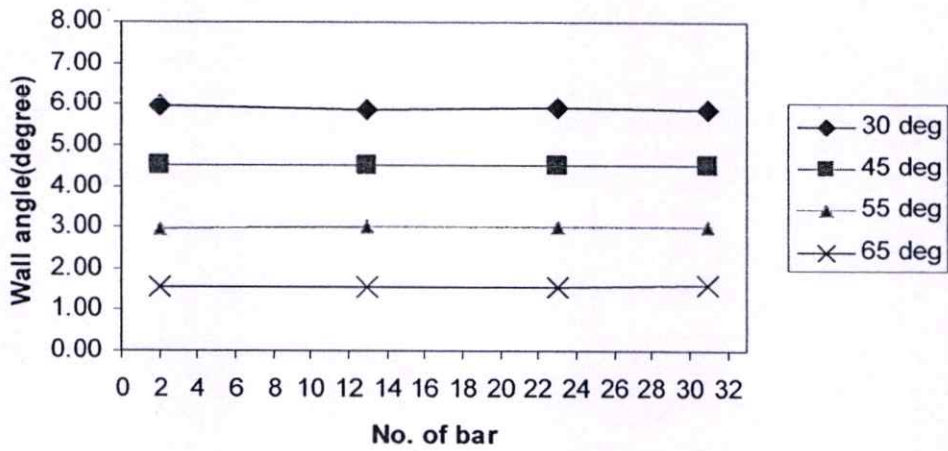
(g) มุมสกัด 55 องศา เวลา 30 นาที

รูป 5.13 (ต่อ)

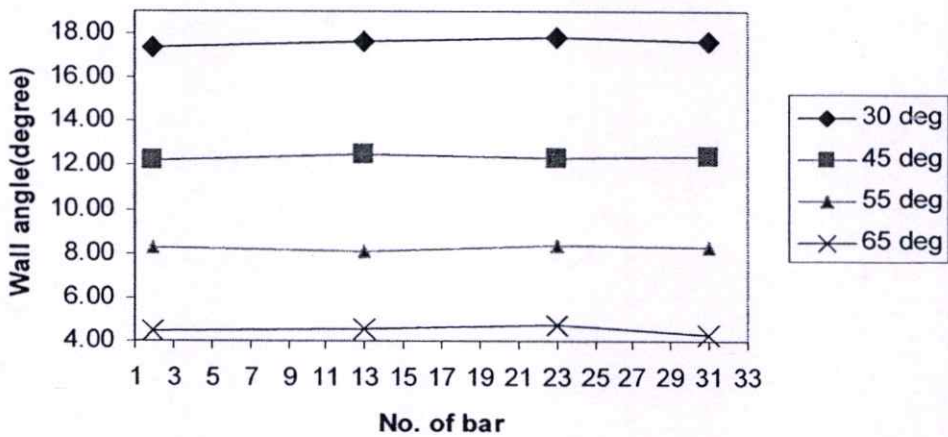


(h) มุมสกัด 65 องศา เวลา 30 นาที

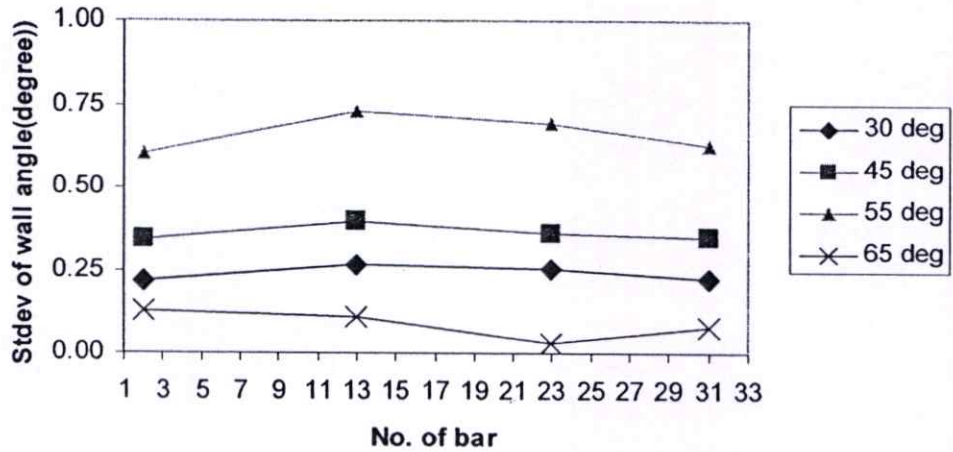
รูป 5.13 (ต่อ)



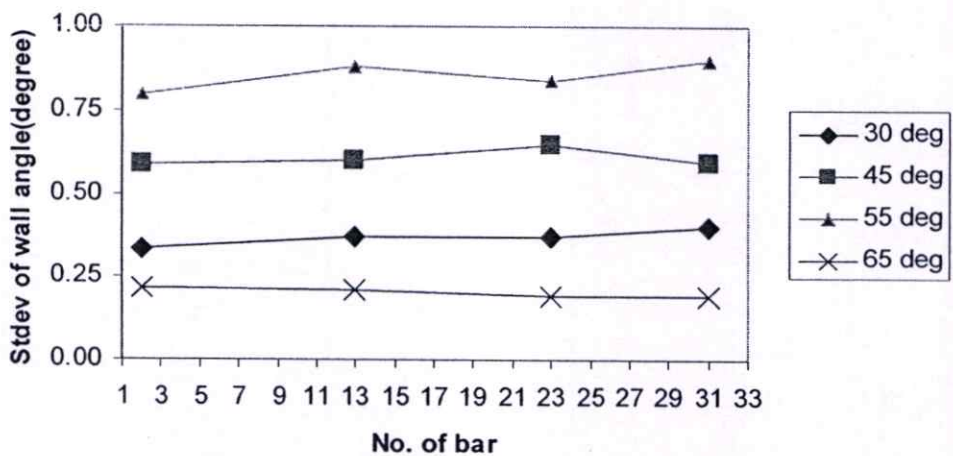
รูปที่ 5.14 แสดงค่าเฉลี่ยของ Wall angle เมื่อเทียบในแต่ละ Bar ที่เวลาการสกัด 10 นาที



รูปที่ 5.15 แสดงค่าเฉลี่ยของ Wall angle เมื่อเทียบในแต่ละ Bar ที่เวลาการสกัด 30 นาที



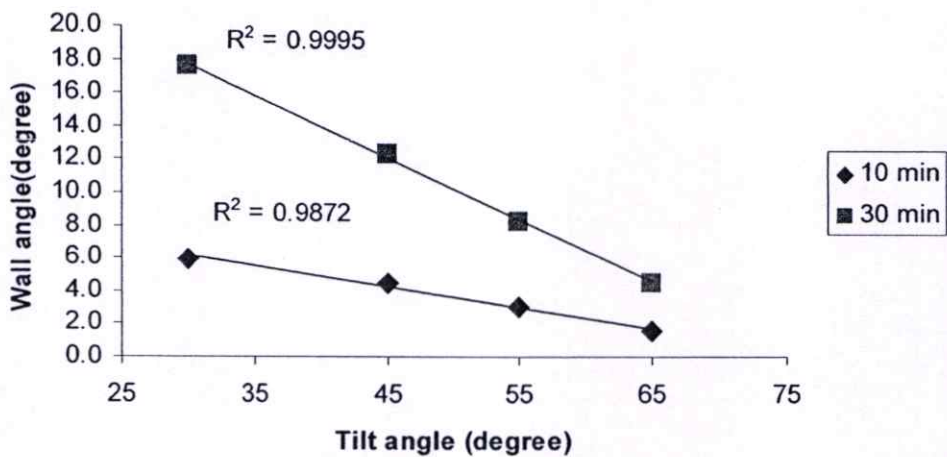
รูปที่ 5.16 แสดงค่าเบี่ยงเบนเฉลี่ยของ Wall angle เมื่อเทียบในแต่ละ Bar ที่เวลาการสกัด 10 นาที



รูปที่ 5.17 แสดงค่าเบี่ยงเบนเฉลี่ยของ Wall angle เมื่อเทียบในแต่ละ Bar ที่เวลาการสกัด 30 นาที

จากรูปที่ 5.13 แสดงผลของการวัดที่ได้จากเครื่อง AFM พบว่า Wall angle ที่มุม 30 องศา มีค่ามากกว่าเมื่อเทียบกับมุมอื่นๆ โดยที่ 10 นาทีค่าเฉลี่ยของ Wall angle อยู่ที่ 5.9 องศาและที่ 30 นาทีค่าเฉลี่ยอยู่ที่ 17.6 องศา และตรงกันข้าม Wall angle มีค่าน้อยที่สุดที่มุม 65 องศา โดยที่เวลา 10 นาทีอยู่ที่ 1.6 องศาและที่ 30 นาทีอยู่ที่ 4.5 องศา จากรูปที่ 5.14 และ 5.15 แสดงค่าเฉลี่ยของ Wall angle ในแต่ละ Bar เปรียบเทียบกันพบว่า มีค่าค่อนข้างคงที่ทั้งที่เวลาการสกัดที่ 10 นาทีและ 30 นาที ยกตัวอย่างที่มุม 45 องศาที่เวลา 10 นาที ค่าเฉลี่ยของ Bar ที่ 2 13 23 และ 32 อยู่ที่ 4.50 4.49 4.51 และ 4.50 องศา

ตามลำดับ จากผลได้ที่ได้นั้นแสดงถึงความสม่ำเสมอในการสกัดได้เป็นอย่างดี เมื่อนำมาพิจารณาค่าเบี่ยงเบนเฉลี่ยของแต่ละBarนำมาเปรียบเทียบใน Tip เดียวกันพบว่ามีความไม่แตกต่างกันมากนัก แต่เมื่อเทียบกันที่มุมต่างๆ ในตำแหน่งBarเดียวกันพบว่าค่าเบี่ยงเบนเฉลี่ยมีแนวโน้มตามอัตราการสกัด เช่น ที่มุมสกัด 55 องศาที่เวลา 10 นาที จะมีค่าเบี่ยงเบนเฉลี่ยที่ตำแหน่งBarที่ 2 เท่ากับ 0.60 มากกว่าที่มุม 45 องศา และ 65 องศา ซึ่งเท่ากับ 0.22 0.34 และ 0.13 ตามลำดับ และที่เวลา 30 นาทีจะมีค่าเบี่ยงเบนเฉลี่ยที่ตำแหน่งBarที่ 2 เท่ากับ 0.80 มากกว่าที่มุม 45 องศา และ 65 องศา ซึ่งเท่ากับ 0.34 0.59 และ 0.22 ตามลำดับ เช่นเดียวกัน ดังนั้นจึงเห็นแนวโน้มของความสม่ำเสมอของค่ามุม Wall angle ที่จะมีการเปลี่ยนแปลงไปตามอัตราการสกัด ซึ่งอย่างไรก็ตามผลการศึกษานี้เป็นประโยชน์ต่อการพิจารณาคุณภาพของการสกัดเพื่อให้ได้ Wall angle ที่ต้องการต่อไป



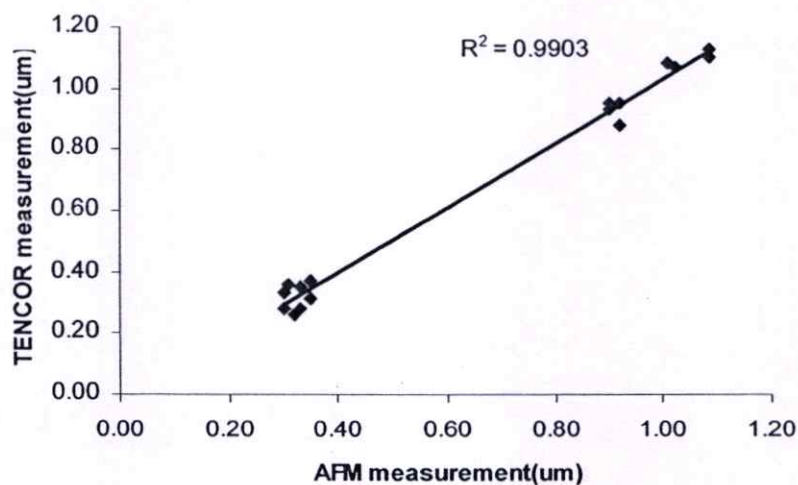
รูปที่ 5.18 แสดงกราฟความสัมพันธ์ระหว่างมุมการสกัดกับค่า Wall angle

เมื่อนำค่าเฉลี่ยของ Wall angle และ มุมของการสกัดมาสร้างกราฟหาความสัมพันธ์ ดังรูปที่ 5.18 จะเห็นว่ามีความสัมพันธ์กันเป็นแบบเชิงเส้น โดยใช้ค่า R^2 ในการตรวจสอบโดยที่เวลา 10 นาที ค่า R^2 จะเท่ากับ 0.9872 และที่เวลา 30 นาที R^2 เท่ากับ 0.9995 โดยที่เมื่อมุมของการสกัดมากขึ้นมุมของ Wall angle จะมีค่าลดลง ผลเนื่องจากทิศทางของไอออนที่พุ่งเข้าชนพื้นผิวของวัสดุที่มุมต่างๆ เช่น ที่มุมของการสกัดที่ 30 องศา มุมของไอออนที่ชนเทียบกับแนวระนาบของพื้นผิววัสดุมีค่าเท่ากับ $90 - 30 = 60$ องศา ซึ่งเมื่อมุมของการสกัดน้อยเท่าไรทิศทางของการชนจะเข้าสู่มุมฉากมากขึ้น ทำให้งานที่ออกมาจากหลังการสกัดมีมุม Wall angle มาก แต่สังเกตว่างานหลังจากการสกัดที่ใช้เวลาในการสกัดน้อยจะมี Wall angle มีแนวโน้มที่ไม่ใกล้เคียงกับมุมที่ไอออนวิ่งเข้าชนนัก แต่เมื่อเพิ่มเวลาในการสกัดมากขึ้นทำ

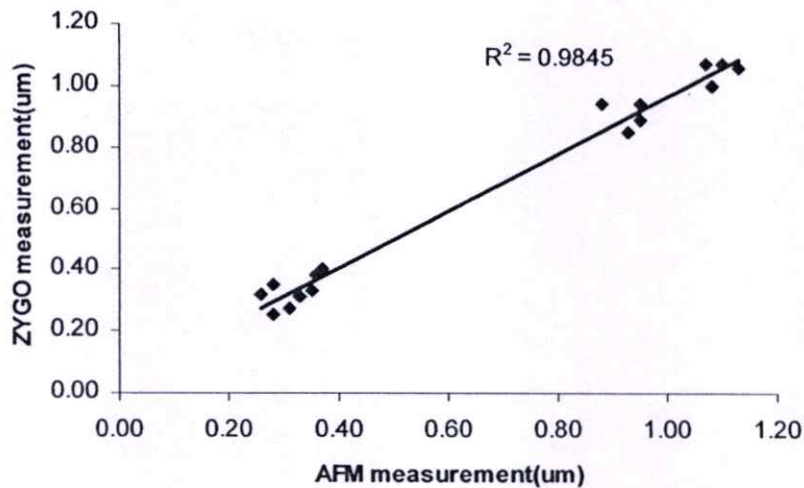
ให้ Wall angle มีค่าสูงขึ้น ซึ่งในนี้ได้ทำการทดลองเพียง 2 เวลาการสกัดซึ่งเป็นเวลาที่ใช้ในกระบวนการผลิตที่ต้องมีการจำกัดเวลาไว้ ทำให้อาจรู้แนวโน้มได้ไม่ชัดเจนนัก แต่อย่างไรก็ตามความสัมพันธ์นี้ทำให้สามารถกำหนด Wall angle ที่ต้องการ โดยการปรับมุมของการสกัด และเวลาของการสกัดได้จากกราฟ ซึ่งส่วนหนึ่งเป็นผลมาจากความมี anisotropic ของทิศทางในการสกัดเข้ามาเกี่ยวข้องทำให้การควบคุมมุมที่เกิดขึ้นสามารถทำได้อย่างคงที่ การที่สามารถพยากรณ์มุมที่จะเกิดขึ้นในการสกัดได้จะเป็นผลดีในการออกแบบลวดลายให้มีความซับซ้อนมากขึ้น และจากผลการทดลองยังสามารถเลือกใช้เงื่อนไขของการสกัดได้อย่างถูกต้อง ทำให้งานที่ออกมาหลังจากการสกัดมีรูปแบบที่ออกมามีความใกล้เคียงกับแบบมากที่สุด อย่างไรก็ตามเงื่อนไขของระบบในงานสกัดยังมีอีกหลายเงื่อนไขด้วยกัน ซึ่งต้องมีการปรับเปลี่ยนให้มีความเหมาะสมกับวัสดุที่จะนำมาสกัดด้วย

5.5 การศึกษาถึง Correlation ของเครื่องมือที่ใช้ในงานวัด

ในงานทดลองนี้ได้ใช้เครื่องมือในงานวัดที่เป็น เครื่อง TENCOR profiler และ AFM และเครื่อง Interferometer รุ่น Zygo ซึ่งเป็นเครื่องมือที่สามารถวัดความหนาของวัสดุได้เหมือนกัน ดังนั้นเพื่อการทดสอบความถูกต้องของข้อมูลที่ได้จากการวัดจึงเอาข้อมูลความหนาหลังจากการสกัดของวัสดุชนิด AITiC ที่ได้จากการวัดทั้ง 3 เครื่องที่ ณ ตำแหน่งของ Slider เดียวกัน โดยการเลือก Slider 2 ตัวจากแต่ละ Tip เป็นจำนวนรวม 16 Slider หลังจากนั้นนำมาสร้าง correlation ระหว่างเครื่อง TENCOR กับ AFM และ Zygo กับ AFM ซึ่งที่ต้องเปรียบเทียบกับ AFM เพราะว่า AFM มีความแม่นยำและละเอียดกว่าเครื่องมืออื่นๆ



รูปที่ 5.19 แสดง Correlation ระหว่างการวัดด้วยเครื่อง TENCOR และ AFM



รูปที่ 5.20 แสดง Correlation ระหว่างการวัดด้วยเครื่อง Zygo และ AFM

จากรูปที่ 5.19 แสดง correlation ระหว่างการวัดด้วยเครื่อง TENCOR และ AFM บน 16 Slider พบว่าค่า R^2 เท่ากับ 0.9903 ซึ่งใกล้เคียง 1 มาก แสดงถึงการวัดด้วยเครื่องมือ 2 ชนิดนี้ให้ผลที่ใกล้เคียงกัน และจากรูปที่ 5.20 แสดง correlation ระหว่างการวัดด้วยเครื่อง Zygo และ AFM พบว่าค่า R^2 เท่ากับ 0.9845 ซึ่งใกล้เคียงน้อยกว่า Correlation ระหว่าง TENCOR และ AFM แต่ไม่ได้หมายความว่าเครื่อง Zygo จะวัดได้ไม่ดีเท่าเครื่อง TENCOR เพราะอาจจะมีปัจจัยอื่น ๆ ที่มีผลต่อการวัด แต่ค่า R^2 ที่แสดงออกมาแสดงถึงค่าที่วัดได้ก่อนข้างมีความถูกต้อง แต่โดยรวมแล้วทั้ง 3 เครื่องวัดสามารถใช้ทดแทนกันได้ในการตรวจสอบความหนา แต่อย่างไรก็ตามการพิจารณาว่าจะต้องใช้เครื่องใดนั้นขึ้นอยู่กับความเหมาะสมกับงานที่วัดเนื่องจาก TENCOR วัดได้รวดเร็ว และวัดได้ทุกสภาพพื้นผิวแต่จะวัดได้ความละเอียดในระดับหนึ่งเท่านั้น ส่วน Zygo ซึ่งเป็น Interferometer เหมาะสมกับการศึกษาความขรุขระและวัดความหนาได้แต่วัดความหนาของฟิล์มโพลีเมอร์ไม่ได้ ส่วน AFM วัดได้แม่นยำและละเอียดที่สุดแต่ใช้เวลาในการวัดค่อนข้างนานและมีปัญหาเกี่ยวกับการวัดความหนาของฟิล์มโพลีเมอร์เช่นเดียวกัน ดังนั้นการเลือกใช้เครื่องมือที่เหมาะสมจะทำให้การวัดได้ผลออกมาอย่างถูกต้องและรวดเร็ว

บทที่ 6

สรุปผลการทดลอง

วิทยานิพนธ์ฉบับนี้เป็นการศึกษาคุณลักษณะของพื้นผิวที่เกิดขึ้นหลังจากการสกัดด้วยเทคนิคไอออนบีม ซึ่งเป็นการศึกษาถึงอัตราการสกัด ความขรุขระของพื้นผิว และ wall angle ของพื้นผิว หลังจากทำการสกัดด้วยเทคนิคไอออนบีม โดยเปลี่ยนแปลงเงื่อนไขของเวลาและมุมการสกัด ในการศึกษาครั้งนี้ได้กระทำในสายการผลิตหัวอ่านเขียนฮาร์ดดิสก์ การสกัดเพื่อสร้างลวดลายนั้นจะกระทำบนส่วนของหัวอ่านเขียนที่เรียกว่า Slider บน Slider จะมีด้านด้านหนึ่งที่เรียกว่า ABS ที่ใช้สำหรับการสร้างลวดลาย การสร้างลวดลายนั้นจะอยู่บนพื้นฐานของกระบวนการโฟโตลิโทกราฟี หลังจากกระบวนการสกัด Slider ได้ถูกนำมาตรวจสอบหาอัตราการสกัดของวัสดุที่เป็น AITiC พบว่า มุมสกัดที่ 55 องศาจะมีอัตราการสกัดสูงกว่ามุมอื่นๆ ที่สกัด (45 55 และ 65 องศา) และ มุมสกัดที่ 65 องศาจะสกัดโฟโตลิซีสออกไปได้สูงกว่ามุมอื่นๆ ที่ทำการสกัด เนื่องจากการสกัดแบบไอออนบีมอาศัยการชนของไอออนของก๊าซกับผิววัสดุซึ่งเป็นการชนทางกายภาพ ดังนั้นอัตราการสกัดจะขึ้นอยู่กับมุมของการชน มุมไหนที่สกัดออกไปได้ง่ายหมายถึงไอออนของก๊าซไปชนจุดที่เป็นส่วนที่อ่อนแอของโครงสร้าง โมเลกุลหรือสารประกอบ วัสดุแต่ละชนิดมีโครงสร้างไม่เหมือนกันฉะนั้นกราฟลักษณะของการสกัดที่มุมต่างๆ จึงไม่เหมือนกัน เมื่อพิจารณาถึง selectivity ของการสกัดพบว่าที่มุม 55 องศาเป็นมุมที่มี selectivity ของการสกัดน้อยที่สุดเมื่อเทียบกับมุมสกัดอื่นดังนั้นในการเลือกใช้มุมในการสกัดที่ 55 องศาจะสามารถกำหนดความหนาของโฟโตลิซีสให้มีความบางมากกว่าการสกัดที่มุมอื่นๆ ซึ่งเป็นผลดีในการลด shadow effect ในการสกัด

เมื่อพิจารณาถึงค่าความขรุขระที่เกิดขึ้นหลังจากการสกัดพบว่าความขรุขระจะเพิ่มขึ้นตามเวลาที่ใช้ในการสกัด โดยที่เวลาการสกัด 30 นาทีค่าความขรุขระจะมากกว่าเวลาสกัด 10 นาทีในทุกๆ มุมการสกัด โดยที่มุม 55 องศา มีค่าความขรุขระมากที่สุดเมื่อเทียบกับมุมอื่นๆ แนวโน้มของค่าความขรุขระที่เกิดขึ้นบนพื้นผิวจะเป็นไปในแนวทางเดียวกับอัตราการสกัดคือเมื่ออัตราการสกัดมากขึ้นค่าความขรุขระจะเพิ่มขึ้น ที่เป็นเช่นนี้เนื่องจากโครงสร้างของ AITiC ซึ่งประกอบไปด้วยวัสดุ 2 ชนิดได้แก่ อลูมิเนียมออกไซด์และไททานเนียมคาร์ไบด์ ขณะทำการสกัดมุมในการสกัดจะมีผลต่อวัสดุทั้งสองชนิดเกิด selectivity ในการสกัดของวัสดุทั้งสองชนิดนี้ ดังนั้นเมื่ออัตราการสกัดมากขึ้นจึงมีโอกาสที่ selectivity ของการสกัดจะมีมากขึ้นตาม ซึ่งในที่นี้เมื่อพิจารณาความสม่ำเสมอที่เกิดขึ้นบนแต่ละ Bar ใน tip พบว่าค่าเฉลี่ยของความขรุขระและค่าเบี่ยงเบนเฉลี่ยมีค่าน้อย ซึ่งแสดงถึงความสม่ำเสมอในการสกัด

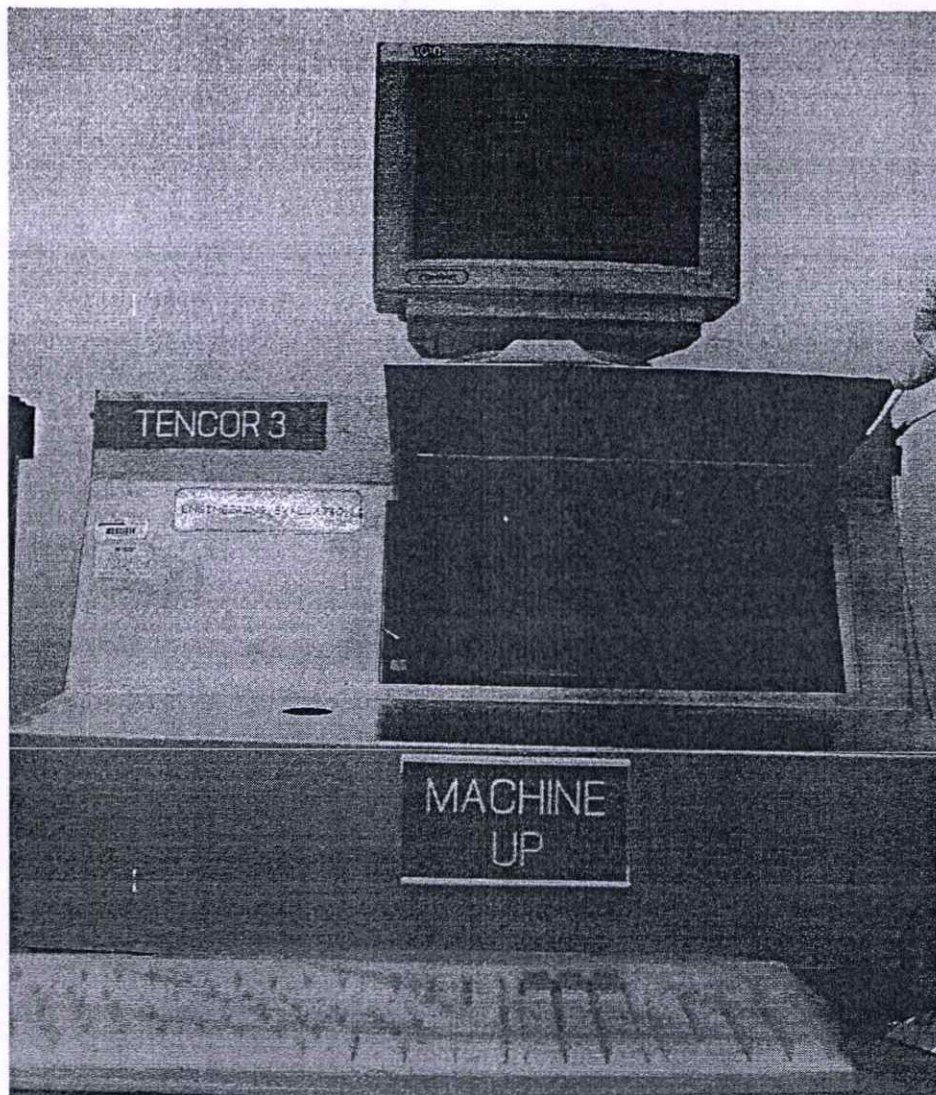
แบบไอออนบีมได้เป็นอย่างดี อย่างไรก็ตามค่าความขรุขระที่เกิดขึ้นยังอยู่ในขอบเขตที่ยอมรับได้คือไม่มากจนมีผลต่อการบินบนงานแม่เหล็ก

เมื่อพิจารณาถึง wall angle ของการสกัดในแต่ละมุมพบว่ามุมของการสกัดมากขึ้นค่า wall angle จะลดลง เนื่องจากเพิ่มมุมของกรสกัดทิศทางของไอออนก๊าซที่พุ่งชนจะไปในแนวขนานกับพื้นผิววัสดุมากขึ้นดังนั้น wall ที่เกิดขึ้นจึงมีแนวโน้มที่จะลาดเอียงเป็นมุมน้อยๆ และเมื่อพิจารณาถึงเวลาในการสกัด ค่า wall angle จะมากขึ้นในทุกๆมุมการสกัดเมื่อเพิ่มเวลาการสกัดขึ้น ที่เป็นเช่นนี้ เพราะเมื่อเพิ่มเวลาการสกัดพื้นผิวจะถูกสกัดออกไปได้มากขึ้นทำให้ความลาดเอียงของพื้นผิวมีมากขึ้น เมื่อสร้างกราฟหาความสัมพันธ์ระหว่างมุมของการสกัดและ wall angle พบว่ามีความสัมพันธ์กันเป็นเชิงเส้นตรง ดังนั้นจึงสามารถที่จะทำนาย wall angle ที่เกิดขึ้นเมื่อเปลี่ยนมุมการสกัดที่มุมใดๆ ได้ ซึ่งข้อมูลเหล่านี้จะถูกนำไปใช้ศึกษาและพัฒนากระบวนการสกัดต่อไป

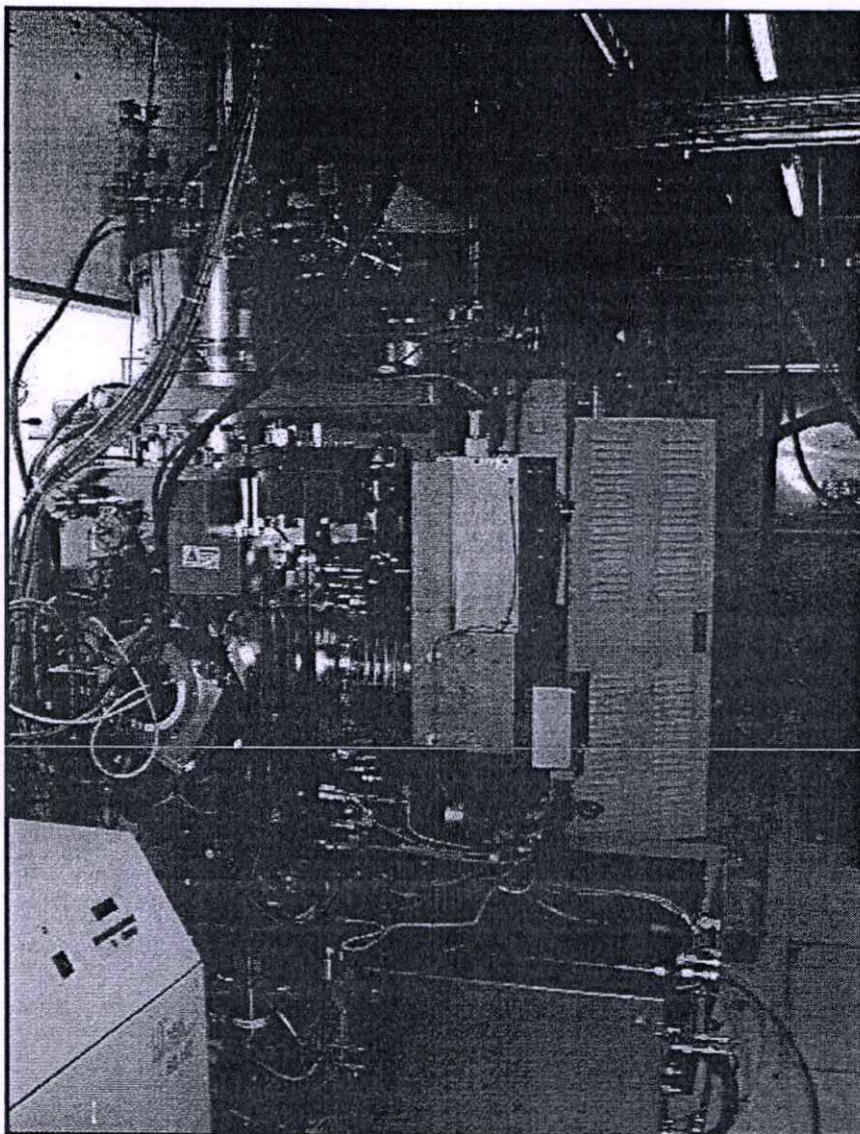
บรรณานุกรม

- [1] **Basic of hard-disk drive**, Lertsak Lekawat.Ph.D.,Asian Institute of Teachnology, Bangkok Thailand. 2005.
- [2] สมเกียรติ ปรารภ. 2549. “การควบคุมคุณสมบัติทางไฟฟ้าและแม่เหล็กของMR Head Hard-disk Drive.”วิทยานิพนธ์วิศวกรรมศาสตรมหาบัณฑิต สาขาวิชาวิศวกรรมไมโครอิเล็กทรอนิกส์ บัณฑิตวิทยาลัย, สถาบันเทคโนโลยีพระจอมเกล้าเจ้าคุณทหารลาดกระบัง.
- [3] Larry F. Thomson, C.Grant Willson, Murrae J. Bowden. **Introduction to Microlithography**. Washington DC : ACS Profesional Reference Book. 1994.
- [4] พรศักดิ์ อรรถวานิช. **วัสดุศาสตร์. พระราชบัญญัติลิขสิทธิ์ พ.ศ. 2536.**
- [5] S.M.Sze. **Semiconductor Devices Physics and Technology**. New Jersey : John Wiley & Sons,Inc. 1985.
- [6] Charles Kittel. **Introduction to Solid State Physics**. 6th ed. New York : John Wiley & Sons,Inc. 1986.
- [7] J.C. Anderson, K.D. Leaver, R.D. Rawlings and J.M. Alexander. **Materials Science**. 4th ed. London : Chapman & Hall. 1994.
- [8] L. Houlet ,A. Rhallabi and G. Turban. 1999. “Simulation of Mesa Structures for III-V Semiconductors under Ion Beam Etching.” **Eur. Phys.J.** 6 : 273-280.
- [9] K.William, A. Hayes, D. Kleinberg, and J. Londono. 1998. “New data storage solution utilizing reactive ion Beam etching with an RF inductively coupled plasma source.” **Datatech**. 7(28) :114-119.
- [10] L.D. Bollinger and R. Fink. “A new production technique: ion milling” **Solid State Technology** Nov. 1980.
- [11] A. Hayes, J.Weldon, E.Osten and R. Gambino. “Ion milling for thin film head fabrication.” **Data Storage** 2 : 1995.
- [12] อภิชาติ แก้วเจริญ, นรินทร์ กาบบัวทอง และ วิสุทธิ์ จูติรุ่งเรือง. 2548. “ การศึกษาคุณลักษณะของพื้นผิว ของหัวอ่านเขียนหลังจากการสกัดโดยใช้เทคนิคลำไอออนแบบสถิต”, **การประชุมวิชาการทางวิศวกรรมไฟฟ้า ครั้งที่ 28** ภูเก็ต : คณะวิศวกรรมศาสตร์ มหาวิทยาลัยธรรมศาสตร์.

ภาคผนวก
ภาคผนวก ก.



รูปที่ ก-1 เครื่อง TENCOR รุ่น P-12 สำหรับวัดความหนาของฟิล์มและวัดความเรียบของวัสดุติดตั้ง
ประจำอยู่ที่ Western Digital Bang pa-in



รูปที่ ก-2 ด้านหลังของเครื่อง Ion beam etching รุ่น 350s ของบริษัท Veeco ติดตั้งประจำอยู่ที่

Western Digital Bang pa-in

ภาคผนวก ข.

ผลงานวิจัยที่ได้รับการตีพิมพ์เผยแพร่

1. อภิชาติ แก้วเจริญ, นรินทร์ ทาบบัวทอง และ วิสุทธิ์ จูติรุ่งเรือง “ การศึกษาคุณลักษณะของพื้นผิวของหัวอ่านเขียนหลังจากการสกัดโดยใช้เทคนิคลาอูอออนแบบสติด”, การประชุมวิชาการทางวิศวกรรมไฟฟ้า ครั้งที่ 28 (EECON-28) ณ โรงแรม เฟิร์ล วิลเลจ จ. ภูเก็ต จัดโดย ภาควิชา วิศวกรรมไฟฟ้า คณะวิศวกรรมศาสตร์ มหาวิทยาลัยธรรมศาสตร์ , 20-21 ตุลาคม 2548, หน้า 1213 - 1216.

การประชุมวิชาการทางวิศวกรรมไฟฟ้า ครั้งที่ 28
28th Electrical Engineering Conference



Volume II

Electrical Engineering
Electrical Engineering

ไฟฟ้าสื่อสาร (CM)
คอมพิวเตอร์และเทคโนโลยีสารสนเทศ (CP)
การประมวลผลสัญญาณดิจิทัล (DS)
อิเล็กทรอนิกส์ (EL)
งานวิจัยที่เกี่ยวข้องกับวิศวกรรมไฟฟ้า (GN)



Western
Digital



ภาควิชาวิศวกรรมไฟฟ้า
คณะวิศวกรรมศาสตร์ มหาวิทยาลัยธรรมศาสตร์

20 - 21 ตุลาคม 2548

ณ โรงแรม เพิร์ล วิลล์ จ.ภูเก็ต

การศึกษาคุณลักษณะของพื้นผิวของหัวอ่านเขียนหลังจากการสกัดโดยใช้เทคนิคลำไอออนแบบสถิต

The Study of Recording Head Topography after Etching by Using Static Ion Beam Etching Technique

อภิชาติ แก้วเจริญ¹ นรินทร์ กาบบัวทอง² และ วิสุทธิ์ ฐิติรุ่งเรือง¹

¹ ศูนย์วิจัยอิเล็กทรอนิกส์ คณะวิศวกรรมศาสตร์ สถาบันเทคโนโลยีพระจอมเกล้าเจ้าคุณทหารลาดกระบัง

ถนนฉลองกรุง ลาดกระบัง กรุงเทพฯ 10520

โทร. (02) 7392385 Email: s7061209@kmitl.ac.th

² บริษัท เวสเทิร์นดิิจิตอล(บางปะอิน) จำกัด

บทคัดย่อ

ในบทความนี้ได้นำเสนอการศึกษาคุณลักษณะที่เกิดขึ้นหลังจากกระบวนการสกัดแบบแห้ง (dry etching) โดยใช้วิธีการสกัดแบบใช้ลำไอออน (ion beam etching) แบบสถิต บนหัวอ่านเขียนฮาร์ดดิสก์โคโรฟ ผลการทดลองแสดงให้เห็นว่าการสกัดวัสดุชนิด AITiC ณ ที่มุม 55 องศาจะมีอัตราการสกัดสูงกว่ามุมอื่นๆ และสำหรับน้ำยาไอแสง ที่มุม 65 องศาจะมีอัตราการสกัดสูงกว่ามุมอื่นๆ แต่เมื่อพิจารณาถึงค่า selectivity ของการสกัดพบว่าที่มุม 55 องศาจะมีค่าเหมาะสมกว่ามุมอื่นๆ ในแง่ของอัตราส่วนการสูญเสียของฟิล์มบางที่เป็นวัสดุไอแสงต่อพื้นผิว AITiC จะมีค่าน้อยที่สุด นอกจากนั้นยังพบว่าเมื่อเวลาในการสกัดต่างกัน ในขณะที่ทำการศึกษาคงที่ ค่า roughness และความลาดชันของพื้นผิวของชิ้นงานจะมีแนวโน้มเพิ่มขึ้นด้วย ซึ่งข้อมูลในการศึกษาทั้งหมดนี้จะเป็นข้อมูลที่สำคัญที่ใช้การพัฒนาระบบการสกัดในระดับต่อไป

คำสำคัญ : การสกัดแบบใช้ลำไอออน

Abstract

This paper studies the physical properties of recording heads after dry etching process using static ion beam etching. From the experiment, it was found that the highest etch rate of AITiC is achieved at 55 degree tilted angle. While the highest etch rate of photoresist was obtained at 65 degree tilted angle. As for this study, etching process at 55 degree tilted angle is considered to be the most suitable condition due to the lowest etch selectivity (ratio of PR/AITiC). Furthermore, at fixed angle, roughness and etched slope of samples are increased with increasing of time. Based on the obtained data, it could be quite useful for further process development.

Keyword : ion beam etching

1. คำนำ

ในปัจจุบันเทคนิคการสกัดแบบใช้ลำไอออนได้นำมาใช้กันอย่างแพร่หลายในวงการไมโครอิเล็กทรอนิกส์ทั้งส่วนที่เป็นงานวิจัยและในโรงงานอุตสาหกรรม ในประเทศไทยมีอุตสาหกรรมการประกอบหัวอ่านเขียนฮาร์ดดิสก์โคโรฟเพื่อส่งออกเป็นรายใหญ่เป็นอันดับ 2 ของโลก[1] ซึ่งปัจจุบันนี้ได้มีการพัฒนาหัวอ่านให้สามารถเก็บข้อมูลได้มากขึ้นแต่ขนาดของหัวอ่านมีขนาดเล็กลง

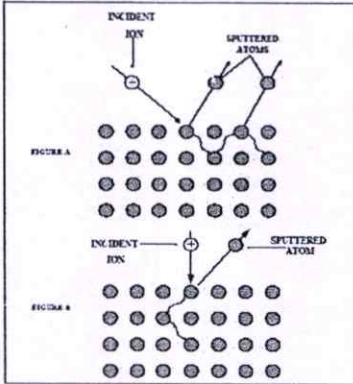
เนื่องจากแนวโน้มหัวอ่านเขียนฮาร์ดดิสก์มีขนาดเล็กลงและการใช้เทคโนโลยีของฟิล์มบางที่เป็นแบบแมกเน็ทโรซิสแตนท์ (Magnetoresistive film) ซึ่งเป็นตัวหลักกันให้ต้องใช้เทคโนโลยีในการสกัดที่มีประสิทธิภาพมากยิ่งขึ้นเพื่อให้ได้ขนาดหลังการสกัดมีค่าขนาดวิกฤติ (critical dimension) ไม่เกินที่กำหนดไว้ได้ ซึ่งขนาดที่ออกมาหลังจากการสกัดจะมีผลต่อการบินของหัวอ่านบนจานแม่เหล็ก ซึ่งข้อดีของเทคนิคของการสกัดแบบใช้ลำไอออน คือวัสดุที่จะถูกสกัดแยกส่วนจากแหล่งกำเนิดพลาสมาทำให้สามารถปรับปรุงเงื่อนไขของการสกัดและเงื่อนไขของแหล่งกำเนิดพลาสมาได้อย่างอิสระ และยังเป็นระบบที่ใช้ความดันต่ำ[2] ทำให้การถ่ายถอดพลังงานจากไอออนไปยังวัสดุฐานรองเป็นไปได้อย่างมีประสิทธิภาพ กระบวนการนี้ใช้ก๊าซอาร์กอนเป็นแหล่งกำเนิดไอออน ซึ่งเป็นกระบวนการสกัดทางกายภาพส่งผลให้ความแตกต่างของอัตราการสกัดระหว่าง Al_2O_3 และ TiC มีค่าน้อยกว่า[3] เมื่อเปรียบเทียบกับวิธีการสกัดแบบเคมี (RIE) ที่ใช้ CF_4 เป็นสารสกัด

วัตถุประสงค์ของการทดลองนี้เพื่อการศึกษาคุณลักษณะของพื้นผิวที่เกิดขึ้นหลังจากการสกัดแบบใช้ลำไอออนแบบสถิตซึ่งจะไม่มีผลกระทบของวัสดุขณะการสกัด ปัจจัยที่ทำการศึกษาคืออัตราการสกัดทั้งในส่วนที่เป็นวัสดุที่เป็นฐานรองเซรามิกชนิด AITiC ,วัสดุที่เป็นฟิล์มบางของน้ำยาไอแสง และค่า roughness รวมทั้งลักษณะพื้นผิวที่เกิดขึ้นหลังการสกัด ซึ่งในที่นี้เงื่อนไขที่ได้ทำการทดลองได้แก่มุมของการสกัดที่ค่าต่างๆและเวลาของการสกัดที่ระยะเวลาต่างกัน

2. ทฤษฎีและหลักการ

2.1 ทฤษฎีของการสกัด

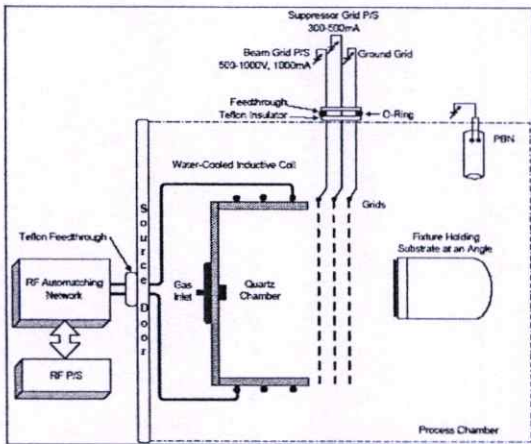
ในกระบวนการสกัดแบบแห้งจะเป็นการสกัดวัสดุใน ส่วนที่ไม่ต้องการออกโดยใช้ไอออนของก๊าซ ซึ่งไอออนที่ใช้จะผลิตมาจากส่วนที่เป็นแหล่งกำเนิดพลาสมาแล้วถูกสนามไฟฟ้าเร่งไปชนที่บริเวณผิวของวัสดุ เกิดการทำลายแรงยึดเหนี่ยวระหว่างอะตอมวัสดุ ทำให้อะตอมของวัสดุหลุดออกมาซึ่งอัตราการสกัดนั้นจะขึ้นอยู่กับเงื่อนไขหลายอย่างเช่น ความเร็วของไอออน ,ความหนาแน่นของไอออน ,มุมที่ใช้ และชนิดของวัสดุ[3] เป็นต้น



รูปที่ 1 ทฤษฎีของการสกัด[3]

2.2 หลักการทำงานของเครื่องสกัด

จากรูปที่ 2 แสดงส่วนประกอบเบื้องต้นของเครื่องสกัดแบบใช้ลำไอออนซึ่งจะเห็นได้ว่าส่วนของแหล่งกำเนิดพลาสมาจะแยกส่วนกับวัสดุที่จะถูกสกัด



รูปที่ 2 ส่วนประกอบเบื้องต้นของเครื่องสกัดแบบใช้ลำไอออน[3]

การทำงานของเครื่องสกัดเริ่มจากการดูดอากาศออกจากส่วนของแชมเบอร์ซึ่งทำจากควอตซ์จนได้ความดันที่ต้องการ หลังจากนั้นก๊าซอาร์กอนจะถูกปล่อยออกมาถึงแชมเบอร์ จนความดันในส่วนของแชมเบอร์ที่เป็นแหล่งกำเนิดพลาสมาถึงจุดๆหนึ่ง ต่อมาส่วนที่เป็นขดลวด RF ที่พันอยู่รอบๆแชมเบอร์ เริ่มทำงานซึ่งจะเป็นตัวเหนี่ยวนำให้เกิดการชนกันของก๊าซอาร์กอนเพื่อให้ได้ไอออนที่แตกตัวออกมาได้มากที่สุด ซึ่งมุมในการสกัดจะกำหนดที่ตัว Fixture ให้เอียงตามที่ต้องการ

ต่อมาส่วนที่เป็น Plasma Bridge Neutralizer (PBN) จะเริ่มทำงานซึ่งจะทำหน้าที่จ่ายอิเล็กตรอนออกมา หลังจากนั้นส่วนของ beam grid จะเริ่มทำงานเพื่อดึงดูดอิเล็กตรอนที่ผลิตจาก PBN เข้าสู่แชมเบอร์ควอตซ์สำหรับการผลิตพลาสมาจนกระทั่งได้ความหนาแน่นของพลาสมาที่ต้องการแล้ว กระบวนการยิงลำไอออนจะเริ่มขึ้น ซึ่งจะเกิดขึ้นเมื่อจ่ายพลังงานให้กับ suppressor grid และ beam grid ทำให้เกิดสนามไฟฟ้าทำให้สามารถแยกไอออนบวกและเร่งไอออนบวกออกมาจากส่วนที่เป็นพลาสมาผ่านส่วนที่เป็น grid ไปยังเป้า ซึ่งพลังงานในการชนนั้นสามารถควบคุมโดย beam voltage นอกจากนี้ส่วนของ PBN ยังมีบทบาทในการลดประจุที่เกิดขึ้นบนชิ้นงานเพื่อไม่ให้มีปริมาณของประจุบวกมากเกินไป[3]

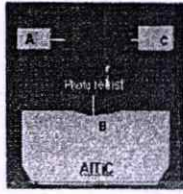
3. การทดลอง

ในการทดลองเพื่อหาคุณลักษณะหลังจากการสกัด ได้ทำการเตรียมตัวอย่างเพื่อใช้ในการศึกษาโดยเฉพาะ โดยแบ่งเป็น 6 กลุ่ม ในแต่ละกลุ่มจะมีจำนวนของชิ้นงานตัวอย่าง ดังรูปที่ 3 จำนวน 80 ตัว

ตารางที่ 1 เงื่อนไขที่ใช้ในการทดลอง

กลุ่ม	เวลา (นาที)	มุมการสกัด (องศา)
1	10	30
2	10	55
3	10	65
4	30	30
5	30	55
6	30	65

ในขั้นตอนนี้แต่ละกลุ่มจะนำไปเคลือบน้ำยาไวแสงชนิดบวก โดยใช้วิธี spin coating หลังจากผ่านกระบวนการฉายแสงและลอกฟิล์มส่วนที่ไม่ต้องการออกแล้ว นำหัวอ่านเขียนไปวัดความหนาของน้ำยาไวแสงก่อนการสกัด โดยใช้เครื่อง Profiler จากนั้นนำตัวอย่างแต่ละกลุ่มมาผ่านกระบวนการการสกัดโดยใช้เงื่อนไขตามตารางที่ 1 ซึ่งเหตุที่ใช้มุมของการสกัดเพียง 3 มุม เพื่อเป็นการขยายขอบเขตของการทดลองให้กว้างขึ้น และยังเป็นการสังเกตแนวโน้มก่อนใช้ในงานผลิตจริง



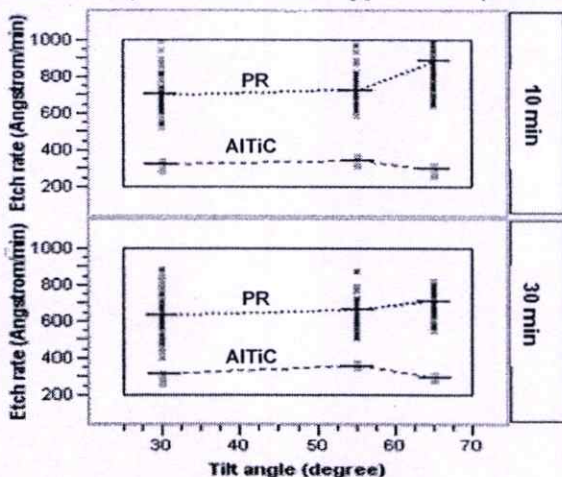
รูปที่ 3 ตำแหน่งของการวัดบนชิ้นงาน

ซึ่งต่อมาจะนำหัวอ่านเขียนในแต่ละกลุ่มมาวัดความหนาหลัง สกัดโดยใช้เครื่อง Profiler ก่อนที่จะนำหัวอ่านเขียนทุกกลุ่มเข้าสู่ กระบวนการลอกน้ำยาไวแสงออกทั้งหมด แล้วนำมาวัดความหนาด้วย เครื่อง Profiler อีกครั้งซึ่งการวัดครั้งสุดท้ายนี้เป็นวัดความหนาของ AITiC ที่ถูกสกัดไป จากนั้นนำไปวัดค่า roughness หลังการสกัดโดยใช้ เครื่องวัด Interferometer ซึ่งเป็นเครื่องวัดโดยใช้หลักการแทรกสอดของ แสง รวมทั้งตรวจสอบสภาพของพื้นผิวด้วยเครื่อง Atomic Force Microscope (AFM)

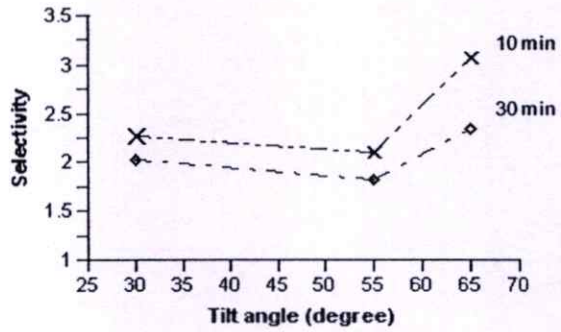
4. ผลการทดลองและวิเคราะห์ผลการทดลอง

ในขั้นต้นเมื่อทำการวัดความหนาของ น้ำยาไวแสง ก่อนการ สกัดในทุกลูกจะอยู่ในช่วง 6-10 ไมครอน และพบว่าในแต่ละกลุ่ม บริเวณตรงกลางจะมีความหนามากกว่าบริเวณขอบ อันเนื่องมาจาก ธรรมชาติของกระบวนการ spin coating ซึ่งมีแรงหนีศูนย์กลางที่เกิดจาก การหมุนของฐานและแรงเฉื่อยที่เกิดจากการไหลของของเหลว[4] โดย กำหนดความหนาของน้ำยาไวแสงหลังทำการ spin coating ที่ใช้ การศึกษาให้เป็นตัวแปรดังนี้

ต่อมาสามารถหาความหนาของน้ำยาไวแสงที่ถูกสกัดออกไป โดยคำนวณหลังจากการลอกน้ำยาไวแสงออก จากนั้นมาคำนวณอัตรา การสกัดของวัสดุ AITiC และน้ำยาไวแสง ที่สูญเสียไป ณ ที่มุมและเวลา



รูปที่ 4 อัตราการสกัดของ AITiC และน้ำยาไวแสงที่มุมและเวลาต่างๆ

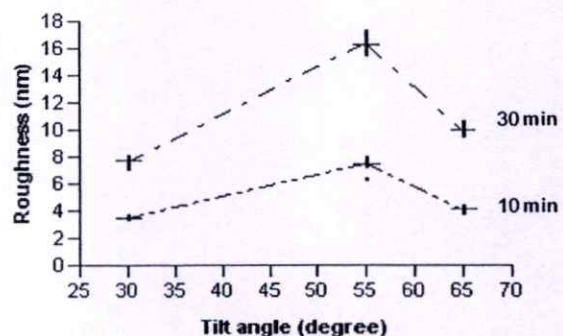


รูปที่ 5 ค่า selectivity ที่มุมและเวลาต่างๆ

ต่างๆ และหลังจากนั้นสามารถหาค่า selectivity ของการสกัดซึ่งเป็น อัตราส่วนการสูญเสียของวัสดุต่างชนิดกัน เมื่อนำมาสกัดที่ภายใต้สภาวะ เดียวกัน ซึ่งในที่นี้เป็นอัตราส่วนระหว่างน้ำยาไวแสงต่อวัสดุชนิด AITiC จากรูปที่ 4 อัตราการสกัดทั้ง AITiC และน้ำยาไวแสง พบว่า

ณ ที่มุมที่ทำให้การทดลองมุมต่างๆ อัตราการสกัดจะมีค่าต่างๆกัน สำหรับ AITiC อัตราการสกัดจะสูงที่สุดที่ 55 องศา ในขณะที่อัตราการสกัดของ น้ำยาไวแสงจะสูงที่สุดที่ 65 องศา เมื่อนำข้อมูลทั้งหมดมาหาค่า selectivity ของการสกัด จากรูปที่ 5 พบว่าที่มุม 55 องศา ค่า selectivity ของการสกัดมีค่าสูงสุด ซึ่งเป็นเงื่อนไขที่เหมาะสมที่สุดสำหรับการสกัด เมื่อเทียบกับมุมอื่นๆ เพราะอัตราการสูญเสียของน้ำยาไวแสง มีค่าต่ำเมื่อ เทียบกับ AITiC ซึ่งจะทำการกำหนดความหนาของน้ำยาไวแสง สามารถทำได้บางชิ้นซึ่งจะส่งผลให้เกิดปรากฏการณ์เงา (shadow effect) น้อยลง ทำให้ภาพที่ถูกพิมพ์ลงวัสดุฐานรองจะมีความคมชัดมากขึ้น ในส่วนเวลาของการสกัดพบว่าในส่วนของ AITiC อัตราการสกัดมี การเปลี่ยนแปลงน้อยในทุกมุม แต่เมื่อเทียบกับน้ำยาไวแสง พบว่า อัตราการสกัดมีค่าลดลงเมื่อใช้เวลาในการสกัดมากขึ้น ซึ่งความสัมพันธ์ ระหว่างการสกัดและเวลาจะต้องทำการศึกษาค้นต่อไป

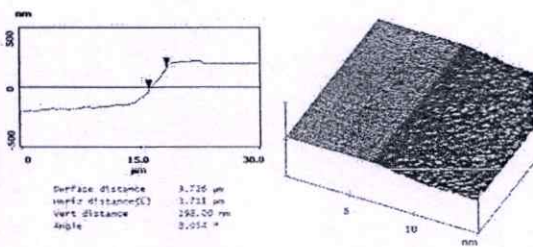
ในส่วนของค่า roughness พบว่าโดยรวมแล้วยังมีค่าน้อยซึ่งจะ ไม่ส่งผลกระทบต่อกระบวนการวัดความลึกด้วยเทคนิคการแทรกสอดแต่อย่างใด



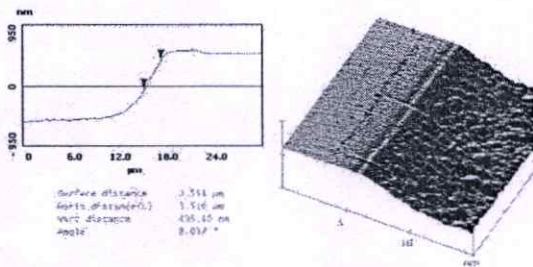
รูปที่ 6 Roughness ของ AITiC หลังจากการสกัดที่มุมและเวลาต่างๆ

ซึ่งเมื่อเวลาเท่ากันที่มุมต่างกัน มุมขนาด 55 องศาจะมีค่า roughness มากที่สุดรองลงมาได้แก่มุม 30 และ 65 ตามลำดับ ในการศึกษายังพบว่าค่า roughness จะแปรผันกับเวลาโดยเมื่อเพิ่มเวลาการสัปดาห์ค่า roughness มีแนวโน้มที่จะเพิ่มขึ้นซึ่งสามารถสังเกตได้จากภาพ AFM

รูปภาพที่ 7 และ 8 แสดงสภาพความขรุขระของพื้นผิวของชิ้นงานหลังจากการสัปดาห์ โดยใช้เครื่อง AFM ตรวจสอบตรงบริเวณรอยต่อของพื้นผิวที่ถูกปกป้องโดยน้ำยาไอแสงและส่วนที่ถูกสัปดาห์ โดยในที่นี้ยกตัวอย่างที่มุม 55 องศาที่เวลา 10 นาที และ 30 นาที จากรูปได้แสดงให้เห็นว่าเมื่อเพิ่มเวลาในการสัปดาห์มากขึ้นค่า roughness จะเพิ่มขึ้นด้วย เนื่องจากเกิด etch selectivity บนพื้นผิวของ AlTiC เอง[3] นอกจากนี้ยังพบว่าค่าความลาดชันเมื่อใช้มุมในการสัปดาห์เท่ากัน ณ เวลาต่างกัน จะให้ค่าที่แตกต่างกันโดยที่ค่าความลาดชันมีแนวโน้มเพิ่มขึ้นเมื่อเวลาในการสัปดาห์เพิ่มขึ้น



รูปที่ 7 ภาพ AFM ที่ตำแหน่ง B ณ มุม 55 องศา เวลา 10 นาที



รูปที่ 8 ภาพ AFM ที่ตำแหน่ง B ณ มุม 55 องศา เวลา 30 นาที

5. สรุป

บทความวิจัยนี้ได้นำเสนอถึงการศึกษาคุณลักษณะของพื้นผิวที่เกิดขึ้น จากการใช้เทคนิคการสัปดาห์โดยใช้ลำไอออนแบบสถิต ณ ที่มุมและเวลาต่างๆ พบว่ามุม 55 องศาเป็นมุมที่เหมาะสมกว่ามุมอื่นๆ ในกระบวนการสัปดาห์ในแง่ของคุณภาพ เพราะมีค่า selectivity ที่เหมาะสมที่สุด ซึ่งจากผลการทดลองที่ได้มานั้นไม่ว่าจะเป็นอัตราของการสัปดาห์, selectivity, roughness รวมทั้งลักษณะของพื้นผิวหลังการสัปดาห์ โดยเปลี่ยนเงื่อนไขในแง่ของมุมและเวลา จะนำไปใช้เป็นข้อมูลที่ใช้พัฒนาประสิทธิภาพในการสัปดาห์ต่อไปในอนาคต

6. กิตติกรรมประกาศ

ในงานวิจัยครั้งนี้คณะผู้เขียนใคร่ขอขอบคุณ บริษัทเวสต์เทิร์น ดิจิตอล(บางปะอิน) จำกัด ที่ได้กรุณาให้ความอนุเคราะห์ข้อมูล สถานที่เครื่องมือ วัสดุที่ใช้ในการทดลอง รวมทั้งคำปรึกษาอันเป็นประโยชน์สำหรับการทดลอง

เอกสารอ้างอิง

[1] <http://www.business-in-asia.com>
 [2] L. Houlet ,A. Rhallabi and G. Turban, "Simulation of mesa structures for III-V semiconductors under ion beam etching", *Eur. Phys.J. AP* 6, pp. 273-280, 1999
 [3] <http://www.veeco.com>
 [4] Larry F. Thompson, C. Grant Willson and Murrae J. Bowden, "Introduction to Microlithography", ACS professional reference book, Washington , 1994

ประวัติผู้เขียนบทความ



อภิชัย แก้วเจริญ สำเร็จการศึกษาระดับปริญญาตรี สาขาวิชาฟิสิกส์อิเล็กทรอนิกส์ คณะวิทยาศาสตร์ มหาวิทยาลัยธรรมศาสตร์ ในปี พ.ศ. 2546 ปัจจุบันกำลังศึกษาต่อระดับปริญญาโทในสาขาวิศวกรรมไมโครอิเล็กทรอนิกส์ สถาบันเทคโนโลยีพระจอมเกล้าเจ้าคุณทหารลาดกระบัง



นรินทร์ กามบัวทอง สำเร็จการศึกษาในระดับปริญญาตรีและโท สาขาวิทยาศาสตร์โพลีเมอร์ จุฬาลงกรณ์มหาวิทยาลัย พ.ศ. 2542 และในระดับปริญญาเอกจาก University of Rome "Tor Vergata" ประเทศอิตาลี ปี พ.ศ. 2546 ปัจจุบันเป็นวิศวกรอาวุโสฝ่ายวิจัยและพัฒนากระบวนการผลิต บริษัทเวสต์เทิร์นดิจิตอล(บางปะอิน) จำกัด



วิสุทธิ์ จูติรุ่งเรือง สำเร็จการศึกษาระดับปริญญาตรี สาขาวิชาอิเล็กทรอนิกส์ คณะวิศวกรรมศาสตร์ สถาบันเทคโนโลยีพระจอมเกล้าเจ้าคุณทหาร ลาดกระบัง และระดับปริญญาโทและเอก สาขาวิชาอิเล็กทรอนิกส์ คณะวิศวกรรมศาสตร์ จากมหาวิทยาลัย TOKAI ประเทศญี่ปุ่น ปัจจุบันดำรงตำแหน่งหัวหน้าศูนย์วิจัยอิเล็กทรอนิกส์ คณะวิศวกรรมศาสตร์ สจล. สาขาวิชาที่สนใจคือกระบวนการสร้างสิ่งประดิษฐ์สร้างกิ่งก้าน เช่น เซลล์แสงอาทิตย์ และวงจรรวม

ประวัติผู้เขียน

ชื่อผู้เขียน

นาย อภิชาติ แก้วเจริญ

วันเดือนปีเกิด

วันที่ 9 ตุลาคม พ.ศ. 2524

สถานที่เกิด

จังหวัดนครปฐม

วุฒิการศึกษาระดับปริญญาตรี

วิทยาศาสตร์บัณฑิต(ฟิสิกส์อิเล็กทรอนิกส์)

สถานที่สำเร็จการศึกษา

มหาวิทยาลัยธรรมศาสตร์

ปีที่สำเร็จการศึกษา

ปีการศึกษา 2546